

ՀԱՅԱՍՏԱՐԻ ՔԻՄԻԱԿԱՐ ՀԱՐԴԵՍ

Химический журнал армении

CHEMICAL JOURNAL OF ARMENIA

ԽՄԲԱԳՐԱԿԱՆ ԿՈԼԵԳԻԱ

Վ. Դ. Ազատյան (*խմբադրի տեղակալ*), Ա. Ա. Ալչուջյան, Հ. Գ. Բաբայան, Գ. Տ. Թադևոսյան *(պատ. խմբադիր)*, Վ. Մ. Թառայան, Ա. Մ. Հակոբյան, Հ. Ա. Հարոյան, Մ. Գ. Մանվելյան, Հ. Հ. Չալթիկյան, Ս. Հ. Վարդանյան, Տ. Վ. Քրմոյան

*ամրադրության վարի*չ՝ Ա. Ա. Դավթյան

РЕДАКЦИОННАЯ КОЛЛЕГИЯ

В. Д. Азатян (зам. редактора), А. П. Акопян, А. А. Алчуджан, А. А. Ароян, Г. Г. Бабаян, С. А. Вартанян, Т. В. Крмоян, М. Г. Манвелян, В. М. Тараян, Г. Т. Татевосян (ответ. редактор), О. А. Чалтыкян

Зав. редакцией: А. А. Давтян

Мариярис Руши Ашидый орыши, Рипыцианс Руши, 24 Адрес редакции: Ереван, Барекамутян, 24 XIX, № 10, 1966

ОБЩАЯ И ФИЗИЧЕСКАЯ ХИМИЯ

УДК 541.24+547.269.1+678.763.2

Регулирование молекулярно-весового состава наирита меркаптанами

Л. Г. Мелконян, Р. В. Багдасарян и Р. А. Карапетян

Исследовалась кинетика расхода меркаптанов C_5 — C_{12} и влияние их на молекулярно-весовой состав полихлоропрена. Установлено, что при эмульснонной полимеризации хлоропрена (в атмосфере воздуха, 40° С) нормальные меркаптаны ниже C_9 почти полностью расходуются до 60% конверсни мономера и не в состоянии регулировать молекулярно весовой состав полимера после 60% конверсии без дополнительной подачи меркаптана в глубоких стадиях процесса. n-Меркаптаны выше C_9 и третичные выше C_7 , а также их смесн по ходу полимеризации, расходуются более равномерно и могут регулировать молекулярно-весовой состав полимера почти до 98% коверсии.

Зависимость величины относительного расхода меркаптана (V) от степени конверсии хлоропрена (X) для нормальных меркаптанов до С₁₂ можно описать уравнением:

$$V = 4.12 A^{5-n} X^{-0.078} [A + 0.4 - 0.1 (5 - n)]^{5-n} X^{2} + 0.0006 (A + 1)^{5-n} X^{2},$$

где A=1.3; n — число атомов углерода в молекуле n-меркаптана.

Для получения растворимого и почти постоянного молекулярного веса полихлоропрена (при доведении процесса до 98% конверсии) могут быть применены нормальные меркаптаны C_9 — C_{12} и их смеси с начальной концентрацией в эмульсии не ниже 0,25% по весу мономера. В случае применения третичных меркаптанов эта концентрация должна быть примерно в 2—2,5 раза больше. При этом по всему ходу полимеризации средние молекулярные веса полученных полимеров примерно в 2 раза больше, чем в случае применения соответствующих первичных меркаптанов. Установлено, что до исчезновения капель мономера на одну молекулу полимера расходуется менее одной молекулы меркаптана, а после исчезновения капель это число растет до 3—4.

При эмульсионной полимеризации диенов меркаптаны обычно применяются для регулирования молекулярно-весового состава полимера по механизму передачи цепи [1—4]. Однако, в эмульсионных системах меркаптаны выполняют и другие функции: они являются активаторами [2, 3], могут обрывать цепь [3], окисляться персульфатом калия (инициатором), образуя алкилсульфиды [5], реагировать с мономером [5] и полимерными молекулами по месту двойных связей [4, 6]. Меркаптаны играют также роль химических пластификаторов [1, 2]. Меркаптаны ниже С₇ являются ингибиторами [2]. Следовательно, при эмульсионной полимеризации заданный в систему меркаптан расходуется не только на реакции передачи и обрыва цепи, но и на многие вторичные реакции. Поэтому для обеспечения необходимой стандартности и хорошего качества каучука на практике часто реакция полимеризации обрывается при конверсии

70—75% [2], что приводит к большим затруднениям технологического ха-

рактера.

Меркаптаны используются также для регулирования молекулярновесового состава полихлоропреновых каучуков, однако, в литературе имеются весьма скудные данные о кинетике и механизме регулирования молекулярного веса полихлоропрена меркаптанами. Мортон и Пиирма [7] обнаружили, что расход третичного додецилмеркаптана (ТДМ) происходит очень медленно, по сравнению с расходом хлоропрена, и не зависит от скорости полимеризации и температуры (полимеризация проводилась в атмосфере воздуха). Фарланд и Парисер [8] показали, что в ряду первичных меркаптанов Сь-С12 скорость расхода меркаптана не зависит от длины цепи его молекулы; помимо этого, все первичные меркаптаны расходуются приблизительно с такой же относительной скоростью, что и хлоропрен. Равные молярные концентрации различных первичных меркаптанов при определенной конверсии привели к образованию полихлоропренов с аналогичной характеристической вязкостью (эмульсионная полимеризация проводилась до 70% конверсии в атмосфере азота).

С целью установления основных закономерностей рационального выбора меркаптанов и их дозировки для регулирования молекулярно-весового состава полихлоропрена нами была изучена кинетика расхода ряда меркаптанов и их влияние на молекулярно-весовой состав полимера по ходу эмульсионной полимеризации хлоропрена, вплоть до 95—98% конверсии.

Экспериментальная часть

Эмульсионная полимеризация хлоропрена проводилась при 40° С в атмосфере воздуха. В качестве инициаторов были применены персульфат калия и динитрил азоизомасляной кислоты, в качестве регулятора—первичные меркаптаны C_5 — C_9 , C_{12} и третичные C_9 , C_{12} . Меркаптаны вносились в систему в начале процесса полимеризации. Эмульгатором служил СТЭК (натриевые соли сульфированной газойлевой фракции нефти). Концентрация непрореагировавшего меркаптана определялась методом амперометрического титрования [9]. Пробы из разных глубин стабилизировались 2,4,6-три-трет.-бутилфенолом (П-23) и выделялись этиловым спиртом. Полимеры высушивались при 50° и остаточном давлении 100 мм рт. ст. Определялись средние молекулярные веса проб полимера: вязкостный \overline{M}_{v} , весовой \overline{M}_{w} — светорассеянием и числовой \overline{M}_{n} — расчетным путем. Кривые молекулярно-весового распределения снимались методом турбидиметрического титрования бензольных растворов проб полимера метанолом [10].

Некоторые результаты измерений приведены на рисунках 1—6 и в таблице 1.

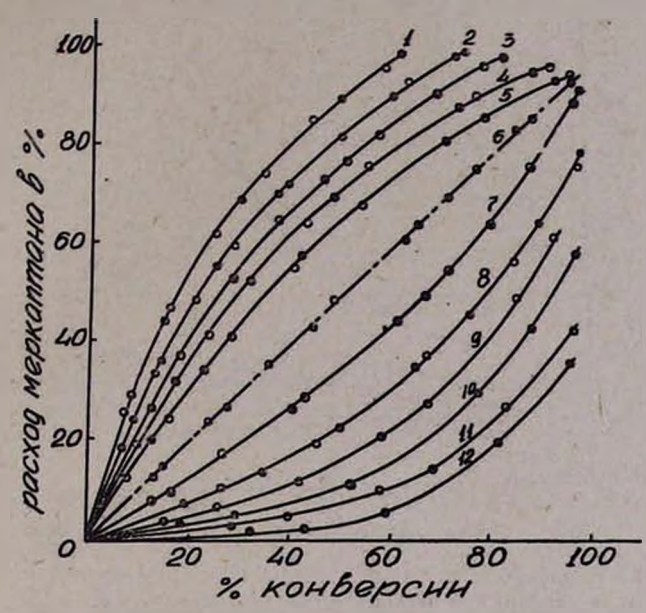


Рис. 1. Кинетические кривые расхода первичных и третичных меркаптанов в зависимости от степени конверсии хлоропрена:
— при инициаторе $K_2S_2O_6$;
— при динитриле азоизомасляной кислоты; I — расход n- $C_5H_{11}SH$; 2-n- $C_6H_{13}SH$; 3-n- $C_7H_{15}SH$; 4-n- $C_8H_{17}SH$; 5-n- $C_9H_{19}SH$; 6 — смесь меркаптанов C_7 — C_{11} со средним молекулярным весов 170 — эквивалентно $C_{10}H_{21}SH$; 7 — смесь C_9 — C_{12} со средним молекулярным весом 190 — эквивалентно $C_{11}H_{23}SH$; 8 — расход n- $C_{12}H_{25}SH$; 10 — 11 — при динитриле азоизомасляной кислоты; 12 — 11 — престора 11 — 11

Из кривых рисунка 1 видно, что по всему ходу полимеризации хлоропрена относительные скорости расхода первичных меркаптанов и смеси C_7 — C_{11} не зависят от природы применяемого инициатора. Расход третичных (C_9 , C_{12}) меркаптанов при динитриле азоизомасляной кислоты—на 15% больше. По мере увеличения молекулярного веса меркаптана скорость его расхода закономерно уменьшается. Первичные меркаптаны ниже C_9 в основном (более чем на 80%) расходуются до 60% конверсии (т. е. до исчезновения капель мономера [11]), поэтому они не могут регулировать процесс при глубоких стадиях, если заданы в систему в начале процесса. Меркаптаны выше C_{10} с большой скоростью расходуются после исчезновения мономерной фазы. Анализ кривых показывает, что равномерный расход можно получить у первичного меркаптана C_{10} . Из-за неимения его указанное предположение нами было проверено на смеси C_7 — C_{11} , со средним молекулярным весом 170 (мол. вес $C_{10}H_{21}SH$ 174); оно полностью оправдалось (рис. 1, кривая 6).

Для первичных меркаптанов до C₁₂ зависимость относительного расхода меркаптана (у) от степени конверсии хлоропрена (х) при дан-

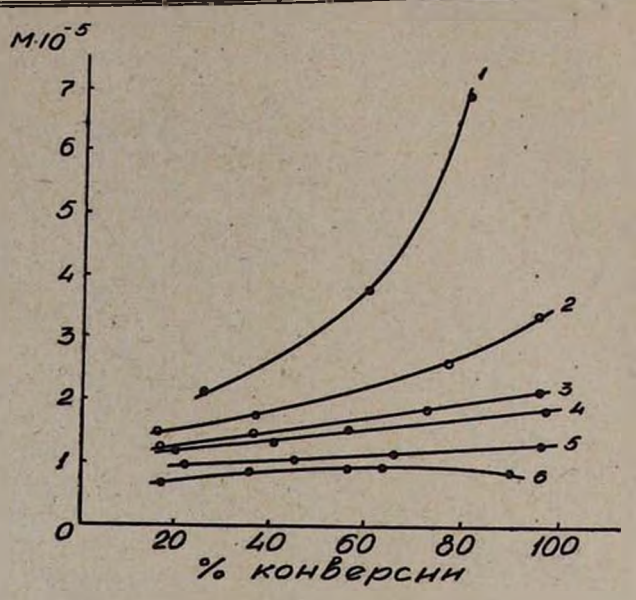


Рис. 2. Кривые зависимости среднего молекулярного веса полихлоропрена от степени конверсии и начальной концентрации меркаптана κ - $C_{12}H_{25}SH-1$, 4, 5, 6 при концентрациях 0,3; 0,4; 0,6 и 0,8 $^{\rm 0}$ / $_{\rm 0}$ и смеси нормальных меркаптанов C_7 - C_{11} со средним молекулярным весом 170 — 2, 3 при 0,3 и 0,35 $^{\rm 0}$ / $_{\rm 0}$; инициатор $K_2S_2O_8$.

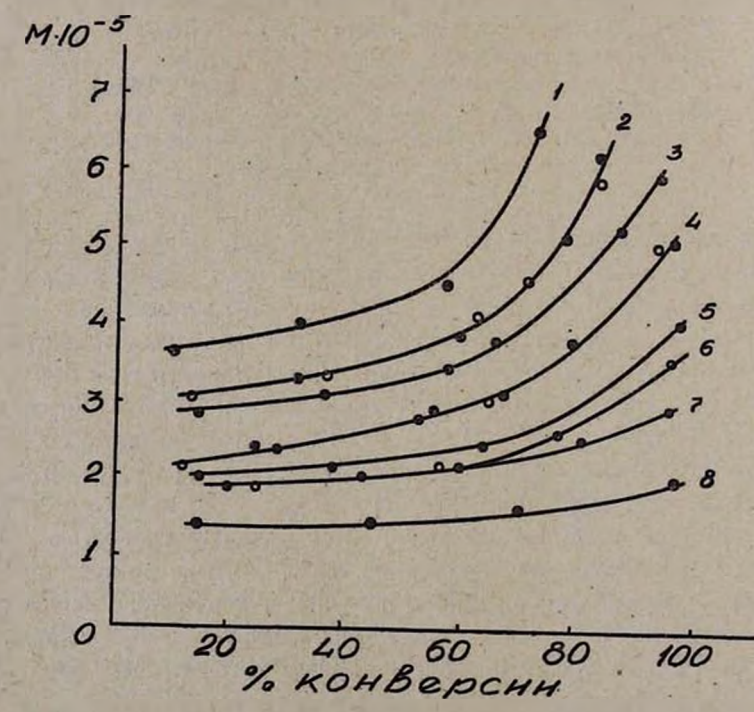


Рис. 3. Кривые зависимости среднего молекулярного веса полихлоропрена от степени конверсии и начальной концентрации *трет* H_{25} $H_{$

ных условиях проведения процесса полимеризации можно описать уравнением:

$$Y = 4,12 A^{5-n}x - 0,078 [A + 0,4 - 0,1 (5 - n)]^{5-n} x^{2} + 0,0006 (A + 1)^{5-n} x^{3}.$$
 (1)

Здесь A=1,3; n—число углеродных атомов в молекуле n-мер-каптана.

Из рисунков 2 и 3 видно, что для получения растворимого полижлоропрена (по всем этапам полимеризации до 95—98% конверсии) и-мер-

Таблица 1
Зависимость среднего молекулярного веса полихлоропрена
от степени конверсии и концентрации задаваемого в эмульсионную
систему додециямеркаптана

	1.,	D	Средний	мол. вес	× 10 ⁻³	Отнош	Отношение			
C*	Конвер- сия в ⁰ / ₀	Pacxoд RSH в г	\overline{M}_n	\overline{M}_v	Mw	$N_{\rm RSH}^{**}/\overline{N}_n^{***}$	$\overline{M}_{w}/\overline{M}_{v}$			
1 при н-C ₁₃ H ₂₅ SH										
4	20	0,24	98,1	122	138	0,60	1,4			
	35	0,52	102	130	151	0,76	1,5			
	65	1,04	116	150	196	1,13	1,68			
	95	3,08	128	181	285	2,08	1,9			
б	25	0,48	79,0	108	123	0,77	1,35			
	45	1,14	92,1	116	132	1,18	1,45			
	65	2,1	96,0	127	145	1,49	1,52			
	95	4,6	98,8	130	156	2,50	1,6			
8	15	0,36	58,5	65,5	70,2	0.72	1,3			
	35	1,04	64,5	82,5	88,1	0,98	1,3			
	65	2,8	69,4	97,5	114	1,50	1,6			
	88	5,36	71,3	87,8	104	2,18	1,3			
		II пр	он <i>трет-</i> (C ₁₂ H ₂₅ SH	(ТДМ)	3746	157.0			
7	15	0,08	152	280	331	0.4	2,17			
	35	0,10	168	314	432	0,45	2,57			
	60	0,35	185	348	465	0,5	2,51			
	92	2,17	275	592	770	3,3	2,8			
10	20	0,12	157	200	210	0,46	1,40			
	45	0,22	166	209	240	0,40	1,46			
	65	0,7	170	222	248	0,92	1,45			
	80	2,2	179	245	299	2,5	1,61			
	98	3,9	193	305	370	3,8	1,9			
13	15	0.14	132	145	152	0,63	1,15			
	45	0,28	137	152	165	0,44	1,20			
	70	1,17	148	165	182	1,35	1,23			
	98	3,9	171	205	236	3,25	1,38			

 C^{\bullet} — начальная концентрация меркаптана в г на 1000 г клоропрена, $\overline{N}_{\rm RSH}^{\bullet\bullet\bullet}$ — число молей израсходованного меркаптана, $\overline{N}_n^{\bullet\bullet\bullet}$ — среднестатистическое число молей полученного полимера.

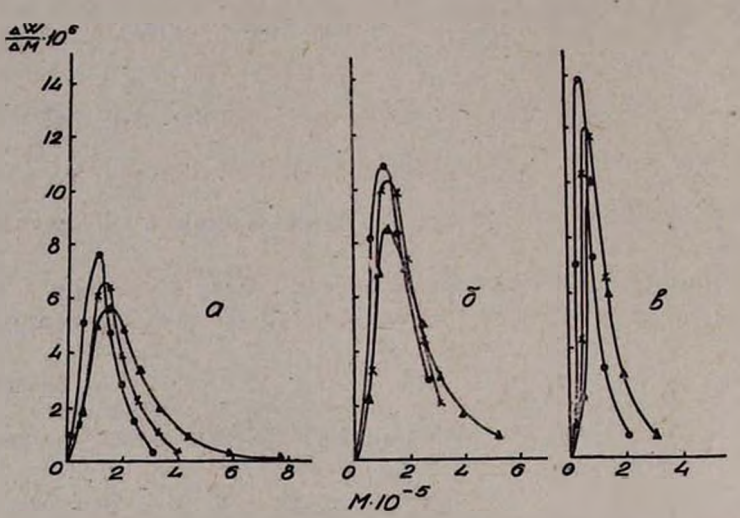


Рис. 4. Зависимость молекулярно-весового состава полихлоропрена от степени конверсии и начальной концентрации и-додецилмеркаптана (НДМ) (инициатор $K_2S_2O_8$). а — НДМ $0.4^0/_0$ по весу хлоропрена, при конверсиях: $\bigcirc -20$, X-55; $\triangle -95^0/_0$. 6 — НДМ $0.6^0/_0$ при конверсиях: $\bigcirc -25$; X-45; $\triangle -95^0/_0$. в — $0.8^0/_0$ при конверсиях: $\bigcirc -36$, X-56; $\triangle -88^0/_0$.

каптан C_{12} и смеси C_7 — C_{11} со средним молекулярным весом 170, C_9 — C_{12} со средним молекулярным весом 190 должны иметь начальную концентрацию соответственно не ниже 0,35, 0,25 и 0,30% по весу мономера. В случае применения третичных меркаптанов их начальные концентрации, по сравнению с соответствующими нормальными, должны быть примерно в 2—2,5 раза больше. Несмотря на это, средние молекулярные веса полученных полимеров значительно (\sim в 2 раза) больше, чем в случае применения соответствующих первичных меркаптанов. Это свидетельствует о том, что значительная часть третичного меркаптана расходуется на вторичные реакции.

Из данных таблицы 1 видно, что до исчезновения капель мономера на одну молекулу полимера расходуется менее одной (от 0,5 до 0,8) молекулы RSH (вернее групп RS), а после исчезновения капель это число быстро растет до 2,5—3 (в среднем). Это свидетельствует о том, что на глубоких стадиях полимеризации с одной молекулой полимера соединяется значительно больше RS групп, чем 3. Несмотря на это, после 60% конверсии начинается крутой подъем среднего молекулярного веса полимера. Можно полагать, что в период миграции мономера и меркаптана из мономерной фазы (капли) в адсорбционный слой (в зону реакции) протекают следующие реакции:

$$R_1M_n + RSH \xrightarrow{K_1} R_1M_nH + RS$$
, (1)

$$RS + M \xrightarrow{K_1} RSM'$$
, (2)

$$2RS \xrightarrow{K_3} RS - SR . \tag{3}$$

При этом $K_1 = K_2 + K_3$. С уменьшением молекулярного веса меркаптана K_3 уменьшается, стремясь к нулю. Для нормальных меркаптанов до C_{13} , K_1 и K_2 , по всей вероятности, должны быть значительно больше, чем для соответствующих третичных.

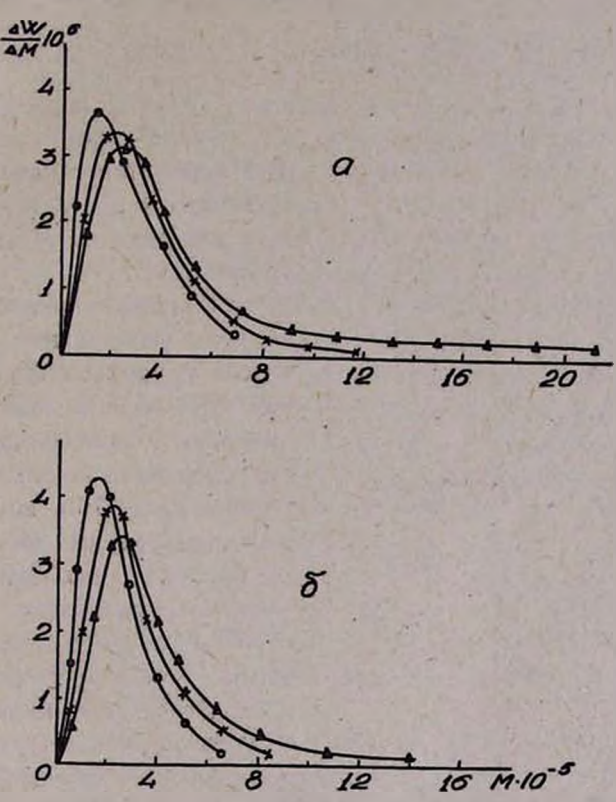


Рис. 5. Зависимость молекулярно-весового состава полихлоропрена от степени конверсии и начальной концентрации третичного додецилмеркаптана ТДМ (инициатор $K_2S_2O_8$). а) ТДМ — $0.7^0/_0$ по весу хлоропрена, при конверсиях: $\bigcirc -15$; X-45; $\triangle -98^0/_0$. 6) ТДМ — $0.9^0/_0$ по весу хлоропрена, при конверсиях: $\bigcirc -36$; X-56; $\triangle -88^0/_0$.

После исчезновения капель мономера весь непрореагировавший мономер, меркаптан (выше С₉) и образовавшийся дисульфид находятся в полимерно-мономерных частицах. Следовательно, как рост, так и передача цепи, протекающие в адсорбционном слое частицы, будут уже лимитироваться скоростью миграции мономера и меркаптана из полимерно-мономерных частиц в зону реакции, что будет сильно замедлено из-за сил набухания (контракционного или энтропийного характера) и внутричастичной вязкости. На этом этапе полимеризации на поверхности частицы реакции (1) и (2) будут продолжаться со значительно меньшей скоростью, что приведет к быстрому росту молекулярного веса полимера.

Внутри же частицы начинается реакция взаимодействия меркаптана с молекулами полимера (возможно, и мономера) по месту двойных связей (4):

$$R_{1}CH_{2}CCI = CHCH_{2} - \cdots - CH_{2}CCI = CHCH_{2} - \cdots + RSH \xrightarrow{K_{4}}$$

$$CI H$$

$$R_{1}CH_{2}CCI = CHCH_{2} - \cdots - CH_{2}C - CCH_{2} - \cdots$$

$$H : SR$$

$$(4)$$

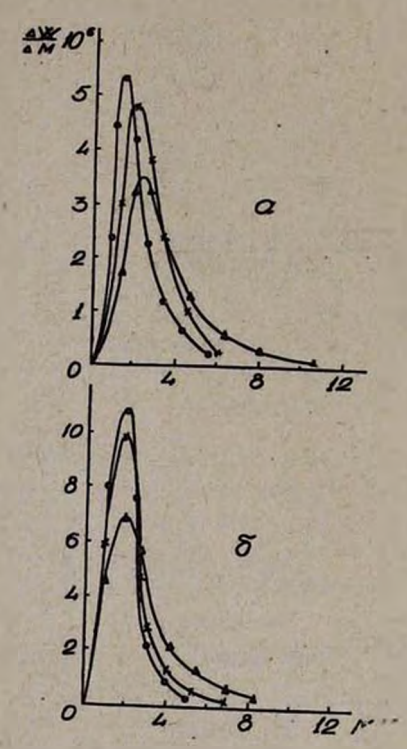


Рис. 6. Зависимость молекулярно-весового состава полихлоропрена от степени конверсии (инициатор $K_2S_2O_8$): а) начальная концентрация третичного додецилмеркаптана $1,3^0/_0$ по весу мономера, при конверсиях: $\bigcirc -15$; X-45; $\triangle -98^0/_0$; б) начальная концентрация смеси нормальных меркаптанов C_7-C_{11} со средним молекулярным весом $170, 0,30^0/_0$ по весу мономера, при конверсиях: $\bigcirc -35$; X-72; $\triangle -98^0/_0$.

средний молекулярный вес, так и молекулярно-весовой состав полихлоропрена на всех этапах полимеризации, вплоть до $98^{\circ}/_{\circ}$ конверсии.

Всесоюзный научно-исследовательский и проектный институт полимерных продуктов

С увеличением молекулярного веса меркаптана (начиная от С₆ для третичных и С₉—для нормальных) скорость реакции (4), по-видимому. увеличится.

Из кривых рисунков 4—6 видно, что с увеличением степени конверсии и уменьшением концентрации RSH вполне закономерно увеличиваются молекулярный вес и полидисперсность полимера: При конверсиях выше 70% появляется высокомолекулярный «хвост», особенно, при третичных меркаптанах.

Смесь нормальных меркаптанов C_7 — C_{11} со средним молекулярным весом 170 по ходу полимеризации расходуется с постоянной относительной скоростью (рис. 1, кривая 6), а выделенные при различных степенях конверсии полимеры имеют почти одинаковые молекулярные веса (рис. 2, кр. 3) и молекулярно-весовые составы (рис. 6, о). Даже при 98% конверсии появление высокомолекулярного «хвоста» не наблюдается.

Из данных исследования следует, что соответствующим подбором состава и концентрации задаваемых в эмульсионную систему смесей меркаптанов в значительных пределах можно регулировать как молекулярно-весовой состав поли-

Поступило 14 II 1966

ՆԱԻՐԻՏԻ ՄՈԼԵԿՈՒԼԱՅԻՆ-ԿՇՌԱՅԻՆ ԿԱԶՄԻ ԿԱՐԳԱՎՈՐՈՒՄԸ ՄԵՐԿԱՊՏԱՆՆԵՐՈՎ

L. Գ. Մելքոնյան, Ռ. Վ. Բաղգասաբյան և Ռ. Ա. Կաբապեսյան

Udhnhnid

Ուսումնասիրված է C₆—C₁₂ մերկապտանների ծախսի կինետիկան և նրանց ազդեցությունը պոլիքլորապրենի մոլեկուլային-կշռային կազմի վրա։ 8ույց է տրված, որ քլորապրենի էմուլսիոն պոլիմերացման ժամանակ 9-ից պակաս ածխածնի ատոմ պարունակող նորմալ կառուցվածքով մերկապտան-ները հիմնականում ծախսվում են մինչև մոնոմերի 60% կոնվերսիան և ի վի-ճակի չեն կարգավորել պրոցեսը նշված կոնվերսիայից հետո։ C₉-ից բարձր և-մերկապտանները, C₇-ից բարձր երրորդայինները և նրանց խառնուրդները պոլիմերման ընթացքում ծախսվում են ավելի համաչափ և կարող են կարգավորել պոլիմերի մոլեկուլային կազմը մինչև 98% կոնվերսիան։

Հաստատուն մոլիկուլային կշռով լուծելի պոլիմեր ստանալու Համար կարելի է գործադրել C₉—C₁₂ մերկապտաններ և նրանց խառնուրդները էմուլսիայում, ըստ մոնոմերի ոչ պակաս 0,2% նախնական կոնցենտրացիայով։ Երրորդային մերկապտանների դեպքում այդ կոնցենտրացիան 0,5%-ից պակաս չպետք է լինի, Ձնայած դրան, այդ դեպքում ստացվում է ավելի բարձր մոլեկուլային կշռով պոլիմեր։

Էմուլսիոն սիստեմին տրվող մերկապտանի կոնցենտրացիայի փոքրացմանը և կոնվերսիայի աստիճանի մեծացմանը զուգընթաց օրինաչափ կերպով մեծանում է պոլիմերի միջին մոլեկուլային կշիռը և պոլիդիսպերսությունը։ Մերկապտանային խառնուրդ օգտագործելիս ստացվում են ավելի ցածր պոլիդիսպերսության պոլիմերներ։

Հետազոտությունների տվյալներից բխում է, որ էմուլսիոն սիստեմի մեջ տրվող մերկապտանների խառնուրդի կազմի և կոնցենտրացիայի համապա-տասխան ընտրության միջոցով կարելի է բավականաչափ մեծ տիրույթում կարգավորել սինթեզվող պոլիջլորապրենի մոլեկուլային կշռային կազմը՝ ընդ-հուպ մինչև մոնոմերի 98% կոնվերսիան։

ЛИТЕРАТУРА

- Flory, J. Am. Chem. Soc., 59, 241 (1937); Mayo, Ibid., 65, 2324 (1943); W. E. Mochel, Nichols, Mighton, Ibid., 70, 2185 (1948).
- Уитби. Синтетический каучук, Госхимиздат, Ленинград, 1957 г., стр. 221—241, 580—589.
- 3. T. M. Kolthoff, W. J. Dale, J. Am. Chem. Soc., 67, 1672 (1945); 69, 441 (1947); W. J. Dale, J. K. Miller, J. Pol. Sci., 5, 669 (1950).
- 4. W. E. Mochel, J. H. Peterson, J. Am. Chem. Soc., 71, 4, 1426 (1949).
- 5. J. M. Kolthoff, J. K. Miller, J. Am. Chem. Soc., 73, 5118 (1951); 74, 4419 (1952).
- 6. G. E. Mayer, W. E. Gibls, F. S. Naples, R. M. Pierrson, W. H. Soltman, R. W. Schrack, J. B. Tewkslury, G. S. Trick, Rubber World, 136, 529, 695 (1957); см. также Химия и технология полимеров, Сб. переводов, № 3. 1958 г., стр. 47.

- 7. M. Morton, J. Pitrma, J. Pol. Sci., 19, 563 (1956).
- 8. J. W. McFarland, R. Pariser, J. Appl. Pol. Sci., 7, 675 (1963).
- 9. Л. Г. Мелконян, Р. В. Багдасарян, Ж. В. Бунятянц, Арм. хнм. ж., 19, 402 (1966).
- 10. Л. Г. Мелконян, Р. В. Багдасарян, Изв. АН АрмССР, ХН, 18. 333 (1965).
- 11. W. D. Harkins, J. Chem. Phys., 13, 381 (1945); 14, 47 (1946); 15, 209, 763 (1947) J. Am. Chem. Soc., 68, 221 (1946); 69, 1428 (1947); J. Pol. Sci., 5, 217 (1950).

XIX, № 10, 1966

НЕОРГАНИЧЕСКАЯ И АНАЛИТИЧЕСКАЯ ХИМИЯ

УДК 543.432+543.847

Колориметрический метод определения фосфора в фосфорорганических соединениях

А. И. Лебедева, И. В. Новожилова и Н. А. Аксёнова

Микроопределение фосфора в фосфорорганических соединениях, в том числе и в полимерных материалах, производится путем сожжения испытуемых образцов в колбе, наполненной кислородом, с последующим колориметрическим окончанием. Ошибка не превышает ±0,3%.

В настоящее время колориметрическое и спектрофотометрическое определение фосфора в самых различных неорганических и органических материалах является весьма распространенным [1—5]. При выборе наиболее простого, надежного и быстрого способа определения фосфора в фосфорорганических соединениях, в том числе и в полимерах, мы остановились на сожжении анализируемых веществ в колбе, наполненной кислородом [6], с последующим колориметрическим определением содержания фосфора в виде синего фосфорномолибденового комплекса. В качестве восстанавливающего агента применяли соль Мора [2, 4]. Количество фосфора в сополимерах диэтилфосфата метакриловой кислоты с метилметакрилатом вычисляли по составу исходного хлорсодержащего сополимера, а в полимерах 1, 2 и 3—по количеству азота, эквивалентного количеству фосфора. Результаты анализов приведены в таблице.

Экспериментальная часть

Реагенты.

Молибденовокислый раствор. 100 г (NH₄) в Мо $_7$ О $_2$ 4·4H $_2$ О растворяют в 1 л воды и выливают в охлажденный раствор 250 мл конц. Н $_2$ SO $_4$ в 700 мл воды. Раствор разбавляют в мерной колбе до двух литров.

Раствор соли Мора. 10 г (NH₄)₂SO₄·FeSO₄·6H₂O растворяют в мерной колбе на 100 мл. Раствор приготовляют непосредственно перед употреблением.

Серная кислота (1:7). 125 мл конц. H_2SO_4 добавляют к 800 мл воды, охлаждают и разбавляют до 1 л в мерном цилиндре.

Стандартный раствор фосфата. 2,197 г КН₂РО₄ (высушенного при 105° до постоянного веса) растворяют в мерной колбе на 500 мл и доводят водой до метки Раствор содержит 1 мг/мл фосфора.

Всю работу проводят с бидестиллатом.

Таблица

	1	P. 0/0	7 .
Вещество	найдено	вычис- лено	разница
Трифенилфосфат (C ₄ H ₅) ₃ PO ₄	9,45 9,60	9,53	-0,08 +0,07
Диэтиловый эфир β -феноксиэтилфосфиновой кислоты $C_0H_3OCH_2CH_3PO(OC_2H_3)_2$	11,92 12,00	12,00	-0,08 0,00
Фенилфосфиновая кислота С _в Н _в РО(ОН) ₂	19,43 19,63	19,59	-0,16 +0,04
Сополимеры диэтилфосфата метакриловой кислоты с метилметакрилатом $ \begin{bmatrix} CH_3 & CH_3 \\ -CH_2-C- & CO-PO(OC_2H_5)_2 \end{bmatrix}_1 \begin{bmatrix} CH_3 & CH_3 \\ -CH_2-C- & COOCH_3 \end{bmatrix}_4 $	4,92 5,12	5,11	-0,19 +0,01
$\begin{bmatrix} -CH_{2} - C - & CH_{3} \\ -CH_{2} - C - & COOCH_{3} \end{bmatrix}_{1} \begin{bmatrix} -CH_{2} - C - \\ -COOCH_{3} \end{bmatrix}_{1}$	7,69 7,80	7,61	+0,08 +0,19
Полимер 1*	4,98 4,84	4,95	+0, 0 3 -0,11
Полимер 2*	5,96 5,83	6,03	-0,07 -0,20
Полимер 3*	9,59 9,77	9,86	-0,27 -0,09

^{*} Элементарный состав полимеров - C, H, O, N, P.

Методика определения

Навеску вещества (3—5 мг), завернутую в беззольный фильтр, закрепляют платиновой проволокой, впаянной в пробку, и сжигают по Шёнигеру в колбе на 250 мл, наполненной кислородом. В качестве поглотительной жидкости применяют 8 мл H₂SO₄ (1:7). После поглощения продуктов сожжения содержимое колбы кипятят 10 минут. Охлажденный раствор количественно переносят в мерную колбу на 100 мл и добавляют туда же 20 мл раствора молибдата аммония, перемешивают и оставляют стоять 5 минут для образования гетерополикислот. Затем добавляют 10 мл свежеприготовленного раствора соли Мора, доводят объем водой до метки, содержимое колбы интенсивно перемешивают и через 20—25 минут измеряют оптическую плотность на фотоколориметре ФЭКН-57 в кювете 10 мм при 610 мр. В качестве раствора сравнения используют бидестиллат. По калибровочной кривой находят количество

фосфора, отвечающего найденной экстинкции, после чего рассчитывают процентное содержание фосфора в пробе. Если интенсивность окраски испытуемого раствора слишком велика или слишком мала, измерение проводят в кюветах на 5 мм или на 20 мм. Результаты анализа вычисляют по калибровочной кривой, построенной для кюветы 10 мм, но полученный результат необходимо соответственно умножить или разделить на 2. Так же можно применять и другие кюветы.

Построение калибровочной кривой

Разбавлением стандартного раствора KH₂PO₄ в 20 раз получают раствор с содержанием фосфора 50γ/мл. Градуированной пипеткой отмеряют 0; 0,5; 1; 2 и т. д. мл этого раствора и помещают последовательно в мерные колбы на 100 мл. К каждой пробе добавляют 8 мл H₂SO₄ (1:7), 20 мл раствора молибдата аммония и 10 мл раствора соли Мора, доводят объем водой до метки и проводят колориметрирование, как указано выше.

Институт высокомолекулярных соединений . АН СССР

Поступило 3 VII 1965

ՖՈՍՖՈՐՕՐԳԱՆԱԿԱՆ ՄԻԱՑՈՒԹՅՈՒՆՆԵՐՈՒՄ ՖՈՍՖՈՐԻ ՈՐՈՇՄԱՆ ԳՈՒՆԱԶԱՓԱԿԱՆ ԵՂԱՆԱԿ

Ա. Ի. Լեբեդևա, Ի. Վ. Նովոժիլովա և Ն. Ա. Ակսյոնովա

Udhnhnid

Մշակված է ֆոսֆորօրդանական միացություններում, այդ թվում և պոլիմերների մեջ, ֆոսֆորի որոշման միկրոեղանակ։ Նյութի կշռանքը (3—5 մգ)
այրում են 250 մլ ծավալ ունեցող թթվածնով լցված կոլրայի մեջ։ Որպես կլանող լուծույթ օգտագործվել է 8 մլ նոսրացած (1:7) H₂SO₄։ Այրման պրոդուկտները կլանելուց հետո կոլրայի պարունակությունը եռացնում են 10 րոպե,
լուծույթը սառելուց հետո քանակապես տեղափոխում 100 մլ ծավալ ունեցող
լափիչ կոլրայի մեջ, ավելացնում 20 մլ ամոնիումի մոլիրդատի 5%-անոց
լուծույթ, 5 րոպե մնալուց հետո ավելացնում 10 մլ Մորի աղի թարմ պատրաստած 10%-անոց լուծույթ և 20—25 րոպեից հետո որոշում ֆոսֆորը 10 մլ-անոց կլուվետում, ФЭКН-67 տիպի դունաչափիչում, 610 մբ-ի
պայմաններում։ Որպես համեմատվող լուծույթ օգտագործել ենք կրկնաթոր ջուր։ Ֆոսֆորի որոշման բացարձակ սխալը ±0,3% է։

ЛИТЕРАТУРА

- 1. M. Rockstein, P. W. Herron, Anal. Chem., 23, 1500 (1951).
- 2. R. A. Chalners, Analyst, 78, 32 (1953).
- .3 L. C. Mokrasch, Anal. Chem., 33, 432 (1961).

- 4 R. A. Chalmers, D. A. Thomson, Anal. Chim. Acta, 18, 575 (1958).
- 5. М. Хр. Кожухаров, ЖАХ, 17, 388 (1962).
- 6. R. Belcher, A. Macdonald, Talanta, 1, 185 (1958); L. E. Cohen, F. W. Czech, Chemist Analyst, 47, 86 (1958). K. D. Fleisher, B. C. Southworth, J. H. Hodecker, M. M. Tuckerman, Anal. Chem., 30, 152 (1958); M. Corner, Analyst, 84, 41 (1959). R. Bennewitz, I. Tanzer, Microchim. Acta, 1959, 835. W. Mezz. Microchim. Acta, 1956, 456. W. J. Kirsten, M. E. Carlsson, Microchem. J., 4, 3 (1960). S. J. Gedansky, J. E. Bowen, O. I. Milner, Anal. Chem., 32, 1447 (1960). H. Э. Гельман, Т. М. Шанина, ЖАХ, 17, 998 (1962). A. И. Лебедева, И. В. Новожилова, Изв. АН АрмССР, ХН, 15, 423 (1962). E. A. Weaver, Analyst, 88, 736 (1963).

XIX, № 10, 1966

ОРГАНИЧЕСКАЯ ХИМИЯ

УДК 541.128.34+541.64+547.314.2

Влияние некоторых факторов на активность катализатора Циглера при полимеризации ацетилена

Г. А. Чухаджян, Н. Ф. Носкова, И. М. Ростомян и Н. Г. Карапетян

В сообщении приводятся данные по исследованию полимеризации ацетилена на катализаторе $Al(u3o-C_4H_9)_3$ - $TiCl_4$ в растворе гептана при температурах от $+60^\circ$ до -75° . Показано, что при температуре $+20^\circ$ выход полимера, начиная с соотношения $Al(u3o-C_4H_9)_3/TiCl_4=3$ и до проверенного соотношения 7, остается практически постоянным. В иптервале температур от $+60^\circ$ до -75° скорость полимеризации растет по мере снижения температуры. Катализатор, модифицированный добавлением аминов, увеличивает выход полимера вдвое. Высказано предположение, что лимитирующей стадией изучаемой реакции является относительно прочная адсорбция ацетилена на поверхности катализатора.

За последние годы значительно возрос интерес к полимерам ацетилена и его производных. Это обусловлено тем, что полиацетилены, как соединения с системой сопряженных связей, обладают повышенной электропроводностью, парамагнитными свойствами и высокой термостой-костью [1, 2]. Полиацетилены могут быть также использованы в смазочных материалах, в качестве наполнителей для пластиков и каучуков, в качестве адсорбентов [3].

После первых в этой области работ Натта [4, 5] опубликованы работы многих. других исследователей [6—11]. Полимеризация ацетилена осуществлялась при помощи катализаторов—алюминий-алкилов с добавками четыреххлористого титана [4, 7], ацетилацетонатов титана или ванадия [2, 8], боргидрида натрия с галогенидом никеля [9] или его фосфорорганическим комплексом [10]. Наиболее детально полимеризация ацетилена и его производных исследована Ватсоном с сотрудниками [6]. В работе приведены оптимальные соотношения компонентов катализатора, влияние характера алкила и различных металл-алкилов на выход полиацетилена.

Целью настоящей работы явилось выяснение влияния на полимеризацию ацетилена некоторых факторов: температуры, времени реакции, соотношения компонентов катализатора, электронодонорных добавок (амины).

Экспериментальная часть*

Очистка исходных компонентов. Очистка ацетилена производилась насыщенным раствором $K_2Cr_2O_7$ в концентрированной H_2SO_4 и щелочным раствором пирогаллола, после чего ацетилен высушивался твердым едким кали и ангидроном. В качестве растворителя применялся игептан, который очищался встряхиванием с концентрированной H_2SO_4 , затем последовательно промывался 20%-ным раствором NaOH и дистиллированной водой. После сушки над хлористым кальцием и металлическим натрием гептан кипятили и перегоняли над натрием в атмосфере аргона. Катализатор во всех опытах состоял из двух компонентов—триизобутилалюминия и четыреххлористого титана, используемых в виде разбавленных растворов в гептане.

Исходная концентрация Al(изо-C₄H₉)₃—0,38 г/мл. TiCl₄—0,08 г/мл. Перед каждой серией опытов концентрацию Al(изо-C₄H₉)₃ определяли по методике, предложенной Циглером [11].

Полимеризацию проводили в стеклянном трехтубусном реакторе. Скорость подачи ацетилена составляла 35—40 мл/мин-

Методика проведения опыта. Реактор в течение 10-15 минут продували аргоном и, не прекращая пропускания аргона, шприцем вводили отмеренные количества триизобутилалюминия и четыреххлористого титана. Затем добавляли 70 мл растворителя, включали мешалку и, спустя 3-4 минуты, начинали подачу ацетилена. В опытах с добавками аминов растворы последних вносили после смешения $A1(изо-C_4H_9)_3$ и $TiCl_4$. Катализатор готовили при той же температуре, при которой проводили опыт и использовали сразу же после приготовления. Продолжительность опыта—1 час.

По окончании опыта к реакционной массе добавляли 40—50 мл метанола, 7—10 мл 10%-ной соляной кислоты и интенсивно перемешивали 3—5 минут. Полимер, полученный в виде черного порошка, отфильтровывали, промывали метанолом, водой, а затем сушили в вакууме в течение 3—4 часов при 80—100°.

Обсуждение результатов

Ввиду отсутствия в литературе подробных данных по полимеризации ацетилена, кроме вышеупомянутой работы [6], мы считали необходимым провести более систематическое изучение реакции полимеризации ацетилена на циглеровских катализаторах и свойств полученных полимеров в их зависимости от условий полимеризации.

На рисунке 1 и в таблице 1 показан выход полиацетилена при 20° в зависимости от молярного соотношения Al/Ti. Выход полимеров (рис. 2) рассчитывали на 1 г TiCl₄. Как видно из рисунка 1, с увеличением соотношения от 1:1 до 3:1 выход полимера растет от 1,4 до 3,0 г/г TiCl₄ и далее, до исследованного нами соотношения 7:1, остается практически

В экспериментальной работе принимала участие В. Григорян.

постоянным. Полученные результаты отличаются от данных работы [6], где катализатор активен только в очень узком интервале соотношений

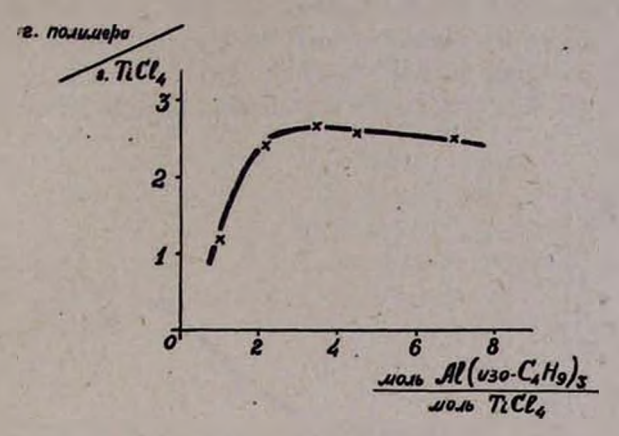


Рис. 1. Влияние молярного соотношения AI/TI на выход полиацетилена при 20° в гептане.

А1/Ті, а именно, от 2,5 до 3,0 с резким спадом активности при больших и меньших соотношениях. Зависимость выхода полимера от температуры при соотношении A1/Ті, равном 3, показана на рисунке 2.

В широком интервале температур от +60° до —75° скорость полимеризации растет по мере снижения температуры, и, особенно резко, при температурах ниже—20°.

Таблица 1
Зависимость выхода полиацетилена
от соотношения компонентов катализатора

			•
TICI4 MMOJH I	(изо-С ₄ Н ₉) ₃ , ммоли II	Молярное соотноше- ние II/I	Выходы полимера, г
0,84	0,9	1,1	0,195
0,84	1,9	2,3	0,386
0,84	2,8	3,4	0,423
0,84	3,8	4,5	0,400
0,84	5,8	7,0	0,388

Условия реакции: температура +20°, растворитель — гептан, время реакции 1 час.

Так, если при $+60^{\circ}$ выход пслиацетилена составлял 1,5 г/г TiCl₄, то при -60° уже 7,0 г.

В процессе полимеризации ацетилена было замечено, что уже с первыми порциями ацетилена каталитический раствор и стенки реактора окрашиваются в темнофиолетовый цвет, в то время как получаемый полиацетилен имеет черный цвет.



Об образовании интенсивно окрашенных комплексов сообщается в ряде работ, в частности [12]. Это явление обычно объясняется возникновением координационных соединений со значительной деформацией электронного облака в координированных группах. Отсутствие подобного явления при полимеризации этилена навело на мысль, что адсорбция ацетилена сопровождается более глубокими изменениями поверхности катализатора.

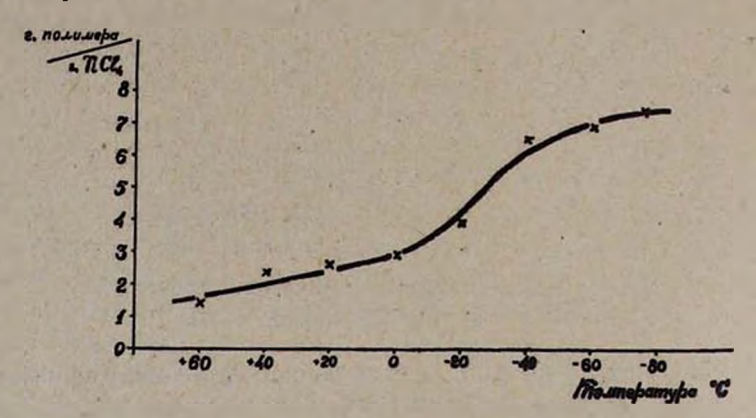


Рис. 2. Влияние температуры на выход полиацетилена при молярном соотношении Al/Ti = 3 (TiCl₄ = 0,84 ммоля).

В таблице 2 приведены результаты полимеризации этилена и ацетилена на катализаторе Al (изо-C₄H₉)₈—TiCl₄.

Таблица 2 Зависимость выхода полимера от природы мономера Условия: Al/Ti = 2,2; $t = 0^{\circ}$, гептан, время полимеризации — 1 час.

Spean	Speak meanachingsin 1 laci								
Мономер	Скорость подачи мл/мин	Выход полимера г/г TiCl ₄	Цвет полимера						
Ацетилен	30-40	3,0	черный						
Этилен	30-40	4,0	белый						
{ Ацетилен (10°/ ₀) + { Этилен (90°/ ₀)	40	1,4	черный						
{ Ацетилен (50/0) + Этилен (950/0)	40	1,0	черный						

Этилен при раздельной полимеризации полимеризуется с большей скоростью, чем ацетилен. При совместной же полимеризации, даже в смеси 5—10% ацетилена и 95—90%: этилена, реагирует, по-видимому, преимущественно ацетилен. Данные позволяют предположить, что ацетилен на поверхности катализатора адсорбируется значительно прочнее, чем этилен.

Измерения, выполненные Миньоле [13, 14], показали, что при хемосорбции этилена и ацетилена на металлах образуются положительные слои поверхности (в случае этилена поверхностный потенциал никеля равеи + 0,836v, ацетилена + 1,0v), т. е. ацетилен является более сильным акцептором электронов, чем этилен. Рассуждения, относящиеся к металлическим катализаторам, в данном случае, можно перенести и на катализатор Циглера, так как он является типичным гетерогенным катализатором, на поверхности которого протекает адсорбция и активация молекул мономера с последующим ее вхождением в растущую цепь.

Если принять, что адсорбция и активация ацетилена происходят на титане, являющемся заряженным концом каталитически активного комплекса [15—17], то добавка электронодонорного вещества должна понижать хемосорбцию ацетилена, и, следовательно, повышать скорость реакции полимеризации. О применении электронодонорных добавок при полимеризации ацетилена на катализаторах Циглера-Натта в литературене имеется указаний.

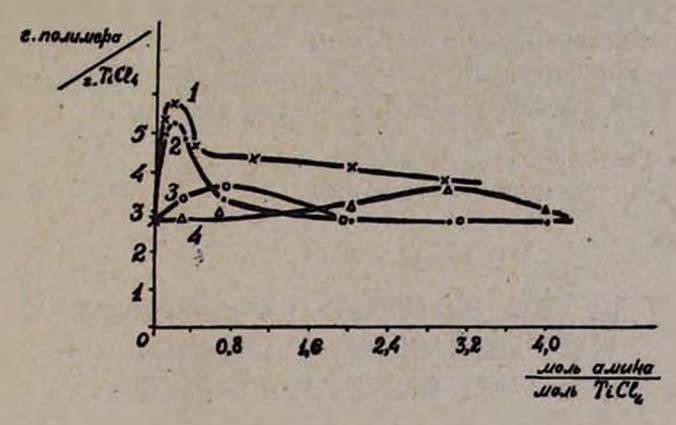


Рис. 3. Влияние добавок аминов на выход полиацетилена при 0°. Растворитель — гептан, молярное соотношение AI/TI = 3 ($TICI_4 = 0.84$ ммоля). I — триэтиламин, 2 — пиридин, 3 — дифениламин, 4 — анилин.

В качестве электронодонорных добавок испытаны амины: анилин, дифениламин, триэтиламин, пиридин. Электронодонорные свойства аминов растут от первичных к третичным [18] и поэтому, исходя из высказанной выше точки зрения, можно ожидать наибольшего эффекта от внесения в реакционную систему третичного амина.

Влияние аминов на активность катализатора Циглера при полимеризации ацетилена при 0° показано на рисунке 3.

Как видно из рисунка 3, добавление пиридина или триэтиламина к катализатору в количестве 0,1—0,2 моля на 1 моль TiCl₄ повышает выход полиацетилена вдвое. Так, при молярном соотношении амин/TiCl₄, равном 0,2, выход полимера составляет в случае пиридина 5,2 г, триэтиламина—5,7 г. При отношении пиридина к TiCl₄—1,0 скорость реакции становится равной скорости без добавки амина и далее до соотношения—4,0 практически не снижается. Добавка 0,4 молей триэтиламина на моль TiCl₄ снижает выход полимера до 4,4 г, последующее его прибав-

ление, вплоть до соотношения 2,0, не влияет на выход, и только при внесении 3-х молей амина на моль TiCl₄ скорость реакции замедляется, оставаясь несколько выше исходной (без амина).

Дифениламин увеличивает скорость полимеризации ацетилена при соотношении—0,7 (выход—3,7 г/г TiCl₄), т. е. максимум на кривой сдвинут в сторону большей концентрации амина.

Наибольший выход полимера при добавке анилина наблюдается при

соотношении амин/TiCl4, равном 3,0.

Таким образом, из полученых результатов вытекает, что катализаторы Циглера, модифицированные прибавлением различных электронодонорных веществ, становятся весьма эффективными для полимеризации ацетилена. Активность аминов, как и следовало ожидать, падает при переходе от третичных к первичным. Увеличение же выхода полиацетилена при низких температурах без добавок амина связано, по-видимому, не с повышением концентрации ацетилена, а, прежде всего, со снижением хемосорбции ацетилена на поверхности катализатора, так как относительно прочная адсорбция ацетилена, по нашему мнению, является лимитирующей стадией изучаемой реакции.

Всесоюзный научно-исследовательский и проектный институт полимерных продуктов

Поступило 6 III 1965

ՄԻ ՔԱՆԻ ՖԱԿՏՈՐՆԵՐԻ ԱԶԴԵՑՈՒԹՑՈՒՆԸ ՑԻԳԼԵՐԻ ԿԱՏԱԼԻԶԱՏՈՐԻ ԱԿՏԻՎՈՒԹՅԱՆ ՎՐԱ ԱՑԵՏԻԼԵՆԻ ՊՈԼԻՄԵՐԱՑՄԱՆ ԺԱՄԱՆԱԿ

Գ. Ա. Ձուխաջյան, Ն. Ֆ. Նոսկովա, Ի. Մ. Ռոստոմյան և Ն. Գ. Կառապետյան

Udhnhnid

Ուսումնասիրվել է ացետիլենի պոլիմերացումը Al(իզո-C₄H₉)₃—TiCl₄ կա-տալիզատորի ներկայությամբ, հեպտանի միջավայրում, +60°-ից—75°-ի ին-տերվալում։ Ցույց է տրվել, որ +20°-ում սկսած Al/Ti=3 հարաբերությունից մինչև Al/Ti=7 հարաբերության սահմաններում պոլիմերի ելջը մնում է ան-փոփոխ։ Ջերմաստիճանի իջեցմանը զուգընթաց (սկսած+60°-ից մինչև—75°C) նկատվում է պոլիմերի ելջի ավելացում։ Ամիններով մոդիֆիկացիայի ենթարկված կատալիզատորի ներկայությամբ պոլիմերի ելջը կրկնապատկը-վում է։

ЛИТЕРАТУРА

1. В. В .Пеньковский, Усп. хим., 33, 1232 (1964).

M. Hatano, S. Kambara, S. Okamoto, J. Pol. Sci., 51, 26 (1961).
 Пат. США, 3057839, 09.10.62; [РЖХим., 18С 160П (1964)].

- 4. Бельг. пат., 546151 16. 3. 56; Н. Гейлорд, Г. Марк «Линейные и стереорегулярные полимеры», ИЛ, Москва, 1962 г., стр. 230.
- 5. G. Natta, G. Mazzanti, P. Corradini, Rend. acad. nazl. Lincel., 8, 25, 3 (1958).
- 6. W. H. Waston, W. C. McMordie, L. G. Lands, J. Pol. Sci., 55, 137 (1961).
- 7. G. Natta, G. Mazzanti, P. Pino, Angew. Chem., 69, 685 (1957).
- 8. К. Сю, Массихиро и др., Хим. и технол. полимеров, № 1, 91 (1963).
- 9. L. B. Luttinger, Chem. and Ind., 1960, 1135.
- 10. M. L. H. Green, M. Nehme, G. W. Wilkinson, Chem. and Ind., 1960, 1136.
- К. Циглер, Г. Геллерт, сб. «Алюминийорганические соединения», ИЛ Москва, 1962 г., стр. 30.
- 12. Д. Натта, Д. Даль-Аста, Хим. и технол. полимеров, № 10, 3 (1965).
- 13. T. C. P. Mignolet, Discuss. Farad. Soc., 8, 105, 326 (1950).
- 14. T. C. P. Mignolet, Bull. soc. chim. Belg., 64, 126 (1955); J. Chem. Phys., 54, 19, 53 (1957).
- 15. Н. Гейлорд, Г. Марк, Линейные и стереорегулярные полимеры ИЛ, Москва, 1962.
- 16. Г. А. Разуваев, Н. С. Минскер, Ф. П. Черновская, Г. И. Бурлакова, Высокомол, соед., 7, 39 (1965).
- 18. Ф. С. Дьячковский, Высокомол. соед, 7, 114 (1965)
- В. И. Веденеев, Л. В. Гурвич и др., Энергия разрыва химических связей. Потенцивлы ионизации и сродство к электрону. Справочник. АН СССР, Москва, 1962.

XIX, № 10, 1966

УДК 541.64+547.281.2

Получение эластичных полимеров катионной полимеризацией ацетальдегида

Н. Г. Карапетян, Г. В. Мовсисян, С. М. Восканян и Г. А. Чухаджян

Изучена полимеризация ацетальдегида на различных катализаторах катионного характера: BF_3 -эфират, H_2SO_4 , $AICI_3$ и SbF_3 при -78° в массе с целью получения эластичных, способных к вулканизации, каучукоподобных материалов.

Процесс полимеризации на указанных катализаторах длителен, получаемые полимеры содержат большое количество низкомолекулярных примесей и результаты опытов плохо воспроизводимы. Впервые для полимеризации ацетальдегида в качестве катализаторов были применены ионообменные смолы, катиониты марки КУ-1, КУ-1 «Г», КУ-5М и КУ-6 «Г». В результате получены эластичные, каучукоподобные полимеры. На ионообменных смолах процесс полимеризации происходит до конца, с приемлемой скоростью (1—2 часа); результаты опытов хорошо воспроизводимы, катализатор не теряет активности после одной операции и легко регенерируется.

Ацетальдегид, в зависимости от механизма полимеризации, образует эластичные, каучукообразные или твердые порошкообразные полимерные материалы [1].

Эластичный полимер ацетальдегида впервые был получен в 1936 г. [2] полимеризацией на границе раздела фаз (—123°) путем многократного перевода его из жидкого состояния в кристаллическое. Работы эти представляли большой теоретический интерес, так как показали принципиальную возможность получения полимерных материалов на базе ацетальдегида.

Позднее, в 1959 году, было установлено [3], что кристаллизация не является единственным условием полимеризации ацетальдегида; если применять некоторые катализаторы, то удается полимеризовать его при температуре—60°,—80°. После опубликования упомянутых работ интерес к полимеризации ацетальдегида возрос. Усилия различных ученых привели к тому, что за короткое время было открыто несколько новых способов получения эластичного полиацетальдегида полимеризацией в присутствии различных активных и активированных окисей, катализаторов типа Льюнсовских кислот и др. Полученному полимеру приписывается метил-полиоксиметиленовая структура [1]:

С целью получения эластичных, способных к вулканизации, каучукоподобных материалов нами была изучена катионная полимеризация ацетальдегида. В первоначальных опытах из большого числа катализаторов, предлагаемых в литературе, были испытаны BF₃'эфират, AICl₂, SbF₃ [4] и H₂SO₄ [5], как наиболее активные для данного процесса. Полимеризацию проводили в массе при температуре—78°С. Опыты показали, что проведение полимеризации ацетальдегида в присутствии указанных катализаторов связано с большими трудностями, и получаемые данные являются весьма невоспроизводимыми. В зависимости от концентрации применяемых катализаторов ацетальдегид либо мгновенно превращался в паральдегид, либо давал полимеры в смеси с большим количеством низкомолекулярных примесей.

Таблица 1
Результаты опытов по полимеризации ацетальдегида в присутствии катионных катализаторов

Катализатор	Кол-во катализа- тора в ⁰ / ₀ от веса мономера	Кол-во ацеталь- дегида, мл	Т-ра полиме- ризации, °С	Время полимери- зации, час	Характер полимера	Выход по-
SbF ₃	0,2	10	—78	4-12	эластичн.	4
SbF ₃	1	10	—78	быстро	паральдегид	
ВГ,-эфират	0,02	10	-78	мгновенно	19 A CONT. 18	1000
ВГ,-эфират	0,002	10	—78	1-2	эластичн.	2
H,SO,	10	10	-78	мгновенно	паральдегид	
H,SO4	1	10	—78	1-2	эластичн.	2
AICI,	0,2	10	78	12—25	эластичн.	3
AICIa	1	10	—78	быстро	паральдегид	- 141

Из данных таблицы 1 видно, что при очень низкой концентрации эфирата и серной кислоты удается получить эластичный полиацетальдегид, однако полимеры очень липкие вследствие наличия в них низкомолекулярных примесей. При более высокой концентрации катализаторов происходит мгновенное и количественное превращение ацетальдегида в паральдегид.

Сравнительно хорошие результаты были получены с AlCl₃ и SbF₃. Полученные на этих катализаторах лучшие образцы полиацетальдегида представляли собой эластичную белую массу с молекулярным весом 150—500 тысяч [6]. Однако, применение указанных катализаторов связано с некоторыми затруднениями. Как известно, эластичный полиацетальдегид является крайне нестабильным и уже при комнатной температуре заметно деполимеризуется [1].

Оставшиеся в полимере следы AlCl₈ и SbF₃ ускоряют этот процесс, и при неосторожном обращении с полимером на поверхности катализатора происходит превращение его в паральдегид.

В качестве катализаторов полимеризации ацетальдегида проверялись ионообменные смолы, катиониты марки КУ-1, КУ-1 «Г», КУ-5М, КУ-6 «Г», в результате чего разработан легко осуществимый в промышленности способ получения эластичного полиацетальдегида с хорошими выходами, с минимальным количеством низкомолекулярных примесей и удовлетворительными скоростями процесса.

Катиониты можно применять многократно, так как после промывки они легко восстанавливают свою активность. Другая отличительная черта катионитов заключается в том, что они дают весьма воспроизводимые результаты.

Экспериментальная часть и обсуждение результатов:

Очистка ацетальдегида. Ацетальдегид-ректификат (по ГОСТ 9585—61), предварительно выдержанный над карбонатом натрия, ректифицировался на лабораторной колонке (30 теоретических тарелок) и высушивался пропусканием паров через колонку, заполненную молекулярными ситами марки 4Å. Высушивать ацетальдегид необходимо в атмосфере инертного газа, иначе имеет место его окисление на поверхности сит. Ректификация ацетальдегида также производилась в атмосфере инертного газа. Такая тщательная очистка исходного ацетальдегида вызвана тем, что находящиеся в нем примеси—спирт, вода, уксусная кислота—заметно влияют на процесс полимеризации.

Полимеризация. Для проведения полимеризации был сконструирован сравнительно простой реактор, состоящий из градуированного цилиндра с доходящим до дна боковым отводом, мешалкой и приспособлением для заполнения и откачки газов. Катиониты заливали дистиллированной водой и выдерживали 10-12 часов, затем переносили в бюретки, залывали 5%-ной серной кислотой и снова выдерживали 10-12 часов. Для освобождения от серной кислоты катиониты тщательно промывали дистиллированной водой до нейтральной реакции и сущили в вакууме прикомнатной температуре до постоянного веса. Опыты показали, что высушивать смолу необходимо тщательно. Взвешенное количество катионита помещали в цилиндрический реактор и дополнительно сушили при температуре 60-70° в течение 30 минут в вакууме (2 мм). Затем реактор продували аргоном и помещали в сосуд Дьюара с температурой—76°. В реактор, через боковую трубку, конденсировали 10 мл ацетальдегида и оставляли на полимеризацию, по окончании которой (длившейся 1-2 часа) к полимеру добавляли ацетон или метанол, содержащий 1% β-нафтиламина или бензидина, и растворяли полимер. Полученный вязкий раствор отфильтровывали от катализатора и осаждали водой. Катализатор промывали ацетоном или метанолом для освобождения от следов полимера, затем дистиллированной водой, после чего высущивали и сно-

Результаты опытов показаны на рисунке 1.

При применении SbF₃, AlCl₃ и других твердых катализаторов взвешенное количество их вносилось в реактор в атмосфере инертного газа и при—78° конденсировалось 10 мл ацетальдегида. Жидкие катализаторы (H₂SO₄ и BF₃-эфират) вводились в реактор при —78° после конденсации ацетальдегида.

Полимеризация длилась от 4 до 25 часов. Обработку полимера проводили аналогично вышеописанному, однако ее в этом случае необходи-

мо вести очень осторожно, во избежание деполимеризации образующегося полиацетальдегида; обработку полимера 1%-ным раствором 3-нафтиламина в ацетоне необходимо проводить при температуре, не выше—10°С.

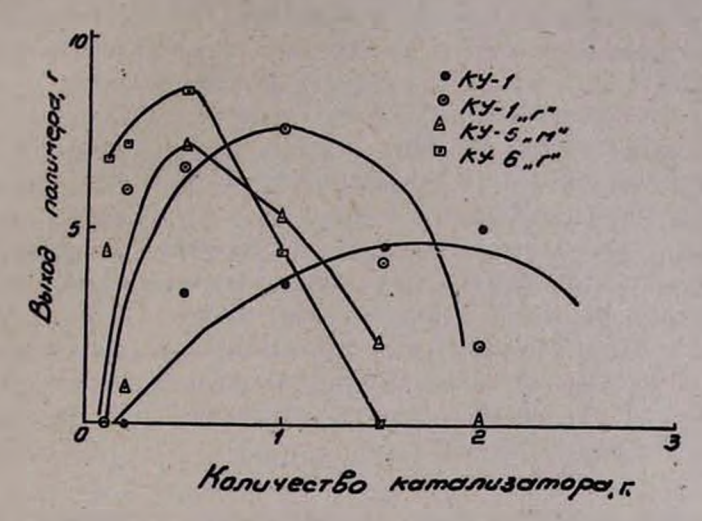


Рис. 1. Зависимость выхода полимера от количества катализатора. Условия полимеризации: температура —78°, количество ацетальдегида 10 мл, время 2 часа.

Из приведенных данных следует, что при полимеризации ацетальдегида на катализаторах с ярко выраженной катионной активностью
трудно получить удовлетворительные результаты. Из других катализаторов полимеризации ацетальдегида в эластичный полимер можно упомянуть γ-окись алюминия. На ее поверхности при—78°С с хорошим
пыходом получается нелипкий полиацетальдегид с высоким молекулярным весом. Недостатком этого катализатора является сравнительно
большая продолжительность полимеризации (50 часов [1]).

Можно было предположить, что катиониты могут служить хорошими катализаторами для полимеризации ацетальдегида, поскольку они в себе сочетают свойства как кислоты, так и развитой поверхности.

Как и следовало ожидать, исходя из характера смол, получаемые полимеры были атактическими, аморфными. Из рисунка 1 видно, что КУ-1 менее интенсивно инициирует полимеризацию ацетальдегида, чем та же марка смолы, но только в гранулированном состоянии (КУ-1 «Г»). Наибольшей каталитической активностью обладает КУ-6 «Г», при применении которого ацетальдегид почти количественно полимеризуется. Получающиеся в его присутствии полимеры совершенно нелипкие и имеют наибольший молекулярный вес. Катионит КУ-5М также инициирует полимеризацию ацетальдегида, однако получаемые полимеры липки вследствие наличия в их низкомолекулярной фракции.

Оптимальное количество применяемого катионита, в зависимости от его марки, колебалось от 5 до 20%, от веса ацетальдегида. В случае при-

менения более низкой концентрации выход полимера уменьшается. То же самое наблюдалось и при увеличении количества катализатора сверх оптимального. По всей вероятности, с увеличением количества катионита кислотность среды увеличивается, что влечет за собой установление равновесия полимеризация—деполимеризация. С дальнейшим повышением количества катионита и, следовательно, кислотности среды, равновесие полностью смещается в сторону деполимеризации.

Для подтверждения высказанного нами предположения о зависимости выхода и качества полимера от кислотности среды были измерены рН системы при различных количествах катионитов. Измерение производили при 15° в атмосфере инертного газа во избежание окисления ацетальдегида кислородом воздуха и искусственного понижения рН среды. Измеренное количество ацетальдегида заливалось в чашку с наружным охлаждением для поддержания температуры (15°) и добавлялось взвешенное количество катионита, соответствующее применяемому при полимеризации. После тщательного перемешинания погружали электролы и измеряли рН системы. Данные измерения, произведенного для КУ-5М, приредены в таблице 2.

Таблица 2
Зависимость выхода полимера и рН среды
от количества катионита

OT NOWINGEEDE RETIONATE									
Кол-во ацетальде- гида, г	Кол-во КУ-5 М, г	pH	Выход полимера, г за 2 часа при —78°						
50		6,17-6,22	1 5 -						
50	0,5	5,8	25						
50 -	2,5	5,3	35,5						
50	4,0	4,9	24,0						
50	10,0	4,6	полимер отсутствовал						

Из данных таблицы 2 видно, что наибольший выход получается при рН=5,3, ксторому соответствует 5% катионита от веса мономера. При понижении рН до 4,6 образования полимера уже не наблюдалось. Для остальных катионитов также наблюдалось равномерное снижение рН по мере повышения их количества. Кислотность среды, при которой были получены максимальные выходы полимера для всех катионитов, колебалась в ингервале рН, равном 5—5,5, при рН в исходном ацетальдегиде, равном 6,20.

Всесоюзный научно-исследовательский и проектный институт полимерных продуктов

ԷԼԱՍՏԻԿ ՊՈԼԻՄԵՐՆԵՐԻ ՍՏԱՑՈՒՄ ԱՑԵՏԱԼԴԵՀԻԴԻ ԿԱՏԻՈՆԱՅԻՆ ՊՈԼԻՄԵՐԱՑՄԱՄԲ

Ն. Գ. Կաrապեսյան, Հ. Վ. Մովսիսյան, Ս. Մ. Ոսկանյան և Գ. Ե. Ձուխաչյան

Udhnhnid

Ուսումնասիրվել է ացհաալդեհիդի պոլիմերացումը կատիոնային բնույթի տարբեր կատալիվել է ացհաալդեհիդի պոլիմերացումը կատիոնային բնույթի տարբեր կատալիվատորների ներկայությամբ—78°-ում, մասսայում։ Ցույց է տրված, որ նշված կատալիվատորների վրա ացետալդեհիդի պոլիմերացումը տևում է 25—50 ժամ, և ստացված պոլիմերներն իրենց մեջ պարունակում են ցածր մոլեկուլային կշիռ ունեցող խառնուրդներ։ Այս կատալիվատորների ներկայությամբ դժվար է ստանալ վերարտադրելի արդյունքներ։ Մշակվել է էլաստիկ պոլիացետալդեհիդի ստացման նոր եղանակ, իբրև պոլիմերացման տիկ պոլիտելով կատիոնափոխանակային խեժեր՝ Ky-1, Ky-1 «Г», Ky-5M և Ky-6 «Г»։ Պոլիմերացումն այս դեպքում տևում է 1—2 ժամ, ստացված արդյունքները վերարտադրելի են։

Կատիոնիտների մյուս դրական հատկությունն այն է, որ լվացումից հետո կարելի է նրանց, առանց ակտիվությունը նվազած լինելու, նորից օգտագործել իբրև կատալիզատոր։

ЛИТЕРАТУРА

- 1. М. В. Чистякова, Усп. хим., 31, 452 (1962).
- 2. M. Letort, C. r., 202. 767 (1936); M. W. Travers, Trans. Faraday Soc., 32, 246 (1936).
- 3. M. Letort, P. Mathis, C. 1., 249, 274 (1959); J. Furukawa, T. Saegusa, T. Tsuruta, H. Fujil, Makromol. Chem., 33, 32 (1959).
- 4. O. Vogl, J. Pol. Sci., 46, 147, 261 (1960).
- 5. J. Dvořak, V. Müller, Z. Zlamal, Патент ЧССР, 100322 от 15.07.61 [РЖХим., 23П 355 (1962)].
- 6. F. Bovey, R. C. Wands, J. Pol. Sci., 14, 113 (1954).
- 7. Н. Г. Карапетян, Г. А. Чухаджян, С. М. Восканян, О. А. Тоноян, Авт. свид. СССР, № 176681.

XIX, № 10, 1966

УДК 541.69+547.461.4

Исследования в области производных двуосновных карбоновых кислот

XXX. Некоторые N-метил-2-алкил- и а-алкилмеркаптосукцинимиды

А. Л. Миджоян, Н. А. Бабиян, Н. Е. Акопян и А. А. Гамбурян

Взаимодействием ангидридов алкил- и алкилтиоянтарных кислот с 30%-ным раствором метиламина и последующим нагреванием образовавшихся сукцинамовых кислот синтезированы две группы N-метилзамещенных а-алкил- и а-алкилмеркаптосукцинимидов.

Испытание противосудорожной активности синтезированных соединений показало, что в отношении коразоловых, никотиновых и ареколиновых судорог обе группы не активны. В отношении электрических судорог некоторую активность проявляют только N-метил-а-бутил- и N-метил-а-амилсукцинимиды.

Литературные данные по синтезу и изысканию новых противоэпилептических препаратов ряда замещенных сукцинимидов свидетельствуют о том, что некоторые из них представляют практический интерес при лечении кратковременной эпилепсии [1]. В продолжение начатых исследований [2] нами осуществлено получение и фармакологическое исследование двух групп замещенных N-метилсукцинимидов:

RCH
$$-CO$$
 NCH₃ R'SCH $-CO$ NCH₃ CH₂ $-CO$ NCH₃ CH₂ $-CO$ NCH₃ R=R'=CH₃, C₂H₅, C₃H₇, C₄H₉, C₅H₁₁, i-C₃H₇, i-C₄H₉, i-C₅H₁₁.

Указанные соединения синтезировались из ангидридов алкил-[3] и алкилтиоянтарных кислот [4] действием на них 30—40%-ным раствором метиламина и затем циклизацией образовавшихся сукцинамовых кислот при 200—220°:

$$\begin{array}{c} \text{R'SCH-COOH} \\ \downarrow \\ \text{CH}_2-\text{CONHCH}_3 \end{array} \longrightarrow \begin{array}{c} \text{R'SCH-CO} \\ \downarrow \\ \text{CH}_2-\text{CO} \end{array} \text{NCH}_3 + \text{H}_2\text{O}.$$

Для испытания противосудорожной активности использовалась методика максимального электрошока и снятия судорог, вызванных никотином, ареколином и коразолом.

Препараты вводились Per os—в 2%-ном масляном растворе за 1,5 часа до введения противосудорожных препаратов. Никотин вводился внутрибрюшинно в дозе 10 мг/кг, ареколин—подкожно в дозе 15 мг/кг и коразол—80 мг/кг. Электрошок вызывался пропусканием переменного тока силой 50 тА, частотой 50 гц через голову животного при помощи корнеозных электродов; продолжительность 0,2 сек. Критерием противосудорожной активности по методике электрошока было отсутствие тонической экстензорной фазы припадка.

R	R R ROXMB		Молекулярная формула	n _D ²⁰	d ₄ ²⁰
*	<u> </u>			91	
CH ₃	60,0	107—8/5	C ₆ H ₉ O ₃ N ⁶	1,4796	1,1456
C ₂ H ₅	71,0	1056/3	C ₇ H ₁₁ O ₂ N**	1,4780	1,1066
C ₃ H ₇	66,0	120-1/3	C ₈ H ₁₃ O ₂ N	1,4740	1,0678
изо-СаН	74,0	106/8	C ₈ H ₁₃ O ₂ N	1,4800	1,0758
C ₄ H ₉	78,0	128—9/7	C ₈ H ₁₅ O ₂ N	1,4730	1,0359
изо-С ₄ Н ₉	80,0	124—6/5	C ₉ H ₁₅ O ₃ N	1,4710	1,0419
C5H11	78,0	132-4/2	C10H17O2N	1,4740	1,0211
нзо-С ₅ Н ₁₁	70,0	139—40/5	C10H17O2N	1,4723	1,0227

^{*} Т. кип. 223° [5]; 115—117°/17,5 мм [1]. ** 118—120/15 мм [5].

NCH,

M	R		A	н а л	н з,	0/0		
EO		C	:	4.1	1	N		
вычислено	найдено	вычис-	найдено	вычис-	найдено	вычис	найдено	
31,540	31,507	56,70	57,01	7,08	7,46	11,02	11,5	
36,158	36,112	59,55	59,87	7,85	7,59	9,92	10,05	
40,920	40,849	61,94	61,63	8,29	8,12	9,03	9,08	
40,920	40,982	61,94	61,85	8,29	8,56	9,03	9,29	
45,394	45,827	63,87	64,00	8,93	9,02	8,28	8,43	
45,394	45,404	63,87	63,90	8,93	9,03	8,28	8,01	
50,012	50,431	65,57	65,55	9,29	9,37	7,65	7,98	
50,012	50,212	65,57	66,00	9,29	9,43	.7,65	8,04	

=		=							
нзо-C ₅ Н ₁₁	C ₅ H ₁₁	30-C4H9	C,H,	C ₃ H ₇	C ₂ H ₅	СН	R		
50,0	62,0	54,0	64,0	60,0	58,0	55,5	Выход в	%	
150—151/1	153-154/4	131-133/2	145-146/2	135—137/1	118-119/1	127/5	Т. кнп. в °С/мм		The second
1	1	41	1	45	88	1	Т. пл.		
C ₁₀ H ₁₇ O ₂ NS	C10H11O2NS	C9H15O2NS	C9H15O2NS	C ₈ H ₁₃ O ₂ NS	C7H11O2NS	C ₆ H ₉ O ₂ NS	Молекулярная формула	No. of the last of	
1,5098	1,5108	1	1,5410	1	1	1,5340	n _D 20	10	The state of
1,1157	1,1104	1	1,1423	1	1	1,2593	d ₄ ²⁰		
57,982	57,982	1	53,364	1	1	39,510	вычисле	но	M
57,706	58,136	1	53,061	1	I	39,299	найдено	- RD	
55,81	55,81	53,73	53,73	51,33	48,55	45,28	вычис-	0	100
55,71	55,63	53,30	53,42	51,55	48,78	45,51	найдено		Ан
7,90	7,90	7,14	7,14	6,95	6,35	5,66	вычис-		алн
8,23	8,02	7,58	7,32	6,87	6,68	5,38	найдено	1	3 B
6,51	6,51	6,96	6,96	7,48	8,09	8,17	вычис-		0/0
7,01	6,89	6,59	7,45	7,34	7,98	8,00	найдено	Z	

R'SCH -CO NCH₃

Результаты исследований показали, что обе группы соединений не оказывают влияния на никотиновые, ареколиновые и коразоловые судороги. На судороги, вызванные электрошоком, некоторую активность проявили N-метил-а-бутил- и -а-вмилмеркаптосукцинимиды; фаза тонической экстензии отсутствовала, и припадок приобретал клонический характер.

Экспериментальная часть

N-Метил-а-алкилсукцинимиды. В колбу Вюрца с высоким отводом помещалось 0,05 моля ангидрида алкилянтарной кислоты. К нему при охлаждении проточной водой приливалось 20 мл 30%-ного раствора метиламина. Смесь оставлялась на ночь, затем почти полностью отгонялась вода, остаток сливался в колбу Кляйзена и нагревался до 220°. По достижении этой температуры продукт реакции отгонялся в вакууме (таблица 1).

N-Метил-а-алкилмеркаптосукцинимиды получены по методу, описанному выше.

Ангидриды алкилянтарных и алкилтиоянтарных кислот синтезированы взаимодействием кислот с хлористым ацетилом (3 моля на 1 молькислоты); 0,05 моля кислоты с 0,15 моля хлористого ацетила оставлялось на ночь. Затем реакционная смесь нагревалась 2—3 часа на водяной бане. После отгонки избытка хлористого ацетила в вакууме водоструйного насоса продукт реакции перегонялся в вакууме.

Институт тонкой органической химии АН АрмССР

Поступило 26 VII 1965.

ՀԵՏԱԶՈՏՈՒ ԹՅՈՒՆՆԵՐ ԵՐԿՀԻՄՆ ԿԱՐԲՈՆԱԹԹՈՒՆԵՐԻ ԱԾԱՆ8ՅԱԼՆԵՐԻ ԲՆԱԳԱՎԱՌՈՒՄ

XXX. Մի թանի N-մեթիլ-ո-ալկիլ- և ո-ալկիլմերկապատասուկցինիմիդներ

<mark>Ա. Լ. Մնջոյան, Ն. Ա. Բաբիյան, Ն. Ե. Հակ</mark>ոբյան և Հ. Հ. Գամբու**ւ**յան

Udhahaid

Գրականության տվյալներով որոշ տեղակալված սուկցինիմիդներ գործնական հետաքրքրություն են ներկայացնում կարճատև էպիլեպսիայի բուժման համար։ Ներկա հաղորդման մեջ նկարագրված են մի քանի տեղակալված N-մեթիլսուկցինիմիդների ստացումը և նրանց ֆարմակալոգիական ուսումնասիրության արդյունքները։ Այդ միացությունները սինթեզել ենք ալկիլ-և ալկիլմերկապտասաթաթթուների անհիդրիդների վրա մեթիլամինի 40%-անոց ջրային լուծույթ ազդելով և ստացված սուկցինամաթթուները 200—220°-ում ցիկլիղացիայի ենթարկելով։ Սինթեզված միացությունների հակացնցումային ակտիվության փորձարկումը ցույց է տվել, որ կորազոլային, նիկոտինային և արեկոլինային ցնցումների նկատմամբ նրանք ակտիվ չեն, իսկ էլեկտրական ցնցումների նկատմամբ որոշ ակտիվություն ցուցաբերում են միայն N-մեթիլ-α-րուտիլ և N-մեթիլ-αամիլսուկցինիմիդները։

ЛИТЕРАТУРА

C. Miller, L. Long, J. Am. Chem. Soc., 75, 373 (1953); там же, 73, 4895 (1951)
 C. Miller, H. School, L. Long, J. Am. Chem. Soc., 73, 5608 (1951); R. Vossen
 Deut. Med. Wochenschrift, 83, 1227 (1958).

 А. Л. Мнджоян, Н. А. Бабиян, Н. Е. Акопян, А. А. Гамбурян, Изв. АН Арм. ССР. ХН, 16, 385 (1963); Н. А. Бабиян, В. А. Мнацаканян, Н. Е. Акопян, Р. А. Арутюн-

ян, О. Л. Миджоян, Изв. АН АрыССР, ХН, 17, 549 (1964).

3. Н. А. Бабиян, Г. А. Медникян, А. А. Гамбурян, Ж. А. Шакарян, О. Л. Миджоян, Армхим. ж., 19, 434 (1966).

 А. Л. Миджоян, Г. А. Медникян, Н. А. Бабиян, А. А. Гамбурян, Ж. А. Шакарян, Изв. АН АрмССР, ХН, 18, 186 (1965).

5. King, Ber., 30, 3039 (1897).

6. R. Lukeš, M. Pergal, Coll., 27, 1387 (1962).

XIX, № 10, 1966

УДК 541.124+542. 956.4

Реакции карбалкоксилирования

V. К вопросу об образовании и превращениях карбоновых кислот в условиях карбалкоксилирования

М. Б. Ордян и Я. Т. Эйдус

Пентен-1, гексен-1, циклогексен и циклогексанол, примененные в качестве акцептогов гидрид-нонов при карбметоксилировании метилциклогексана в условнях сернокислогного катализа, претерпели гидроизомеризации, что указывает на скелетную изомеризвиню образовавшихся карбоний-ионов; 1-этилциклогексен гидроизомеризации не претерпевал.

При растворении жирных карбоновых кислот (и-валериановая, и-капроновая) а концентрированчой серной кислоте при комнатной температуре не происходит скелетной изомеризации, что свидетєльствует о том, что ацилий-поны, образующиеся из этих ислот, не способны к такой изомеризации в этих условиях.

С ростом температуры реакции в первой стадии карбметоксилирования насыщенных углеводородов отношение количеств карбоновых кислот, выделенных в первой и во второй стадии, непрерывно возрастает симбатно росту общего выхода кислот.

Гидрокарбалкоксилирование олефинов в условиях кислотного катализа при помощи муравьиной кислоты и спиртов представляется таким образом [1-4], что молекулы олефинов присоединяют протоны кислоты с образованием карбоний-ионов, которые далее под действием окиси углерода в момент ее выделения из муравьиной кислоты превращаются в ацилий-ионы. Последние, взаимодействуя со спиртами, дают сложные эфиры, а с водой-карбоновые кислоты. При этом происходит регенерация протонов. Конечными продуктами реакции, в основном, являются эфиры и кислоты, содержащие в а- положении к карбалкоксильной и, соответственно, карбоксильной группе либо четвертичный атом углерода с двумя мегильными группами, либо третичный атом углерода с этильной группой, независимо от того, исходят ли из нормального или разветвленного олефина. Это указывает на протекание скелетной изомеризации в процессе реакции. Можно представить две схемы этой изомеризации: на стадии углеводородного карбоний-иона, перед присоедине-IIIIeM CO:

$$CH_3CH_2CH_2CH=CH_3 \xrightarrow{H^+} CH_3CH_2CH_3\overset{+}{C}HCH_3 \xrightarrow{\longrightarrow} CH_3CH_2\overset{+}{C}(CH_3)_2 \xrightarrow{CO} CH_3CH_2C(CH_2)_3\overset{+}{C}O$$

$$(1)$$

или на стадии ацилий-йона, после присоединения СО;

Арыянский химический журнал, XIX, 10-3

$$CH_3CH_2CH_3\overset{\uparrow}{C}HCH_3$$
 \xrightarrow{CO} $CH_3CH_2CH_2CH(CH_3)\overset{\uparrow}{C}O$ $\xrightarrow{CH_3CH_3C(CH_3)_3\overset{\uparrow}{C}O}$.

(2)

Ранее отмечалось [1], что при гидрокарбалкоксилировании олефинов изомеризации углеродного скелета способствуют повышение температуры реакции в первой стадии и увеличение концентрации серной кислоты и ее относительного количества. Это видно из роста выхода форм с четвертичным атомом углерода.

В настоящей работе нами наблюдалась скелетная изомеризация при карбалкоксилировании метилциклогексана муравьиной кислотой в присутствии пентена-1, гексена-1, циклогексена и циклогексанола в качестве акцепторов гидрид-ионов [1—3]. В этих условиях эти соединения превращались в карбоний-ионы, которые соединялись с гидрид-ионом, отрывающимся от метилциклогексана, с образованием смесей соответствующих насыщенных углеводородов, в которых продукт изомеризации составлял 85—97%. Из пентена-1 получена смесь изопентана и и-пентана (12:1), из гексена-1—смесь 2-метилпентана, 3-метилпентана и и-гексана (24:11:1), из циклогексена и циклогексанола—смесь метилциклопентана и циклогексана (5,4:1).

Таким образом показано, что карбоний-ион изомеризуется перед. присоединением СО. Например, гексен-1 изомеризуется по схеме:

$$CH_{3}CH_{2}CH_{2}CH_{2}CH_{2}CH_{2}CH_{3}$$

$$CH_{3}CH_{2}CH_{2}CH_{2}CH_{3}$$

$$CH_{3}CH_{2}CH_{2}CH_{2}CH_{3}$$

$$CH_{3}CH_{2}CH_{2}CH_{2}CH_{2}CH_{3}$$

$$CH_{3}CH_{2}CH_{2}CH_{2}CH_{3}CH_{2}CH_{3}CH_{2}CH_{3}CH_{2}CH_{3}CH_{2}CH_{2}CH_{3}CH_{2}CH_{2}CH_{3}CH_{2}CH_{2}CH_{3}CH_{3}CH_{2}CH_{2}CH_{3}CH_{3}CH_{2}CH_{3}CH_{3}CH_{2}CH_{3}CH_{2}CH_{3}CH_{$$

Отметим, что карбоний-ион из 1-этилциклогексена не изомеризовался и из него получен только этилциклогексан.

Для выяснения возможности изомеризации ацилий-ионов в условиях карбалкоксилирования нами изучалось поведение *н*-валериановой и *н*-капроновой кислот в присутствии концентрированной серной кислоты в этих же условиях.

Майер [5] показал, что карбоновые кислоты, растворенные в избытке серной кислоты, легко реагируют с метиловым спиртом, с образованием сложных эфиров, и высказал предположение, что карбоновые кислоты, растворяясь в серной кислоте, превращаются в смешанные ангидриды—ацилсерные кислоты. В дальнейшем [6] были получены данные, на основании которых можно было принять, что ацилсерные кислоты находятся в равновесии с ацилий- и гидросульфат-ионами:

$$RCOOSO_{!}H \longrightarrow RCO + SO_{4}H^{-}$$
.

Нами найдено, что н-валериановая и н-капроновая кислоты не претерпели скелетной изомеризации при растворении в концентрированной серной кислоте. Интересно отметить, что согласно Коху [7], однородная кристаллическая 2,2,4,4-тетраметилвалериановая кислота, полученная из диизобутилена, под действием серной кислоты и СО при 100 атм и комнатной температуре полностью разложилась с поглощением СО и образованием триметилуксусной кислоты и кислот Св. Ст и Св. Исследование поведения разных олефинов в реакции гидрокарбалкоксилирования показало [1, 2], что их можно в основном разделить на две группы. К первой относятся преимущественно олефины нормального строения, прерращающиеся главным образом в продукты прямого гидрокарбалкоксилирования, сопровождающегося скелетной изомеризацией [1]. Ко второй группе принадлежат такие разветвленные олефины, как изобутилен и изоамилены, которые превращаются с малым выходом в производные мономерной формы и с большим выходом-в производные полимерных форм и продуктов диспропорционирования. Последние, по-видимому, возникают из полимерных форм. Так, из изоамиленов получаются не только кислоты С6 и их эфиры, но и кислоты С5, С7, С9 и С10 и их эфиры [2]. Приведенные выше данные Коха указывают на то, что в условиях карбалкоксилирования не только алкилкарбоний-ионы, но и ацилий-ионы сильно разветвленных кислот способны разлагаться с присоединением СО и образованием кислот меньшего молекулярного веса. При реакции нормальных олефинов карбоний-ионы, соединяющиеся с СО, представляют собой вторичные образования (см. схему 1), в то время как в реакции разветвленных олефинов они образуются сразу присоединением протона. Это обстоятельство, по-видимому, оказывает влияние на их концентрацию и на соотношение кинетики присоединения СО и процессов полимеризации и диспропорционирования, что и приводит к разному поведению олефинов обенх групп в реакции гидрокарбалкоксилирования.

Ранее отмечалось [1,2], что карбоновые кислоты образуются уже в первой стадни реакции взаимодействием ацилий-ионов с водой, вводимой в реакционную среду вместе с серной и муравьиной кислотами. С повышением температуры в первой стадии выход кислот возрастал при гидрокарбметоксилировании олефинов [1] и падал при карбметоксилировании насыщенных углеводородов в присутствии спиртов в качестве

доноров гидрид-ионов [3]. Такое различие, по-видимому, обязано растворению части кислот, образующихся в первой стадии, в слое насыщенных углеводородов, который отделяют от реакционной массы перед добавлением спирта во второй стадии. В отличие от части кислот, растворенных в сернокислотном слое, эти кислоты не подвергаются этерификации спиртами во второй стадии.

Таким образом, распределение карбоновых кислот в обоих слоях реакционной смеси в первой стадии может оказывать влияние на соогношение выходов эфиров и кислот при карбалкоксилировании насыщен-

ных углеводородов в присутствии акцепторов гидрид-ионов.

В настоящей работе определялось распределение карбоновых кислот по обоим слоям (K_1/K_2) при карбметоксилировании насыщенных углеводородов в присутствии олефинов и был найден симбатный ход зависимости этого распределения и зависимости выхода карбоновых кислот от температуры реакции в первой стадии (табл. 1).

Экспериментальная часть

Превращение карбоновых кислот при растворении в серной кислоте исследовалось следующим образом. В четырехгорлую круглодонную колбу, снабженную механической мешалкой, термометром, обратным холодильником и капельной воронкой, загружали 4 моля H₂SO₄ (92 или 96%) и постепенно, при энергетичном перемешивании, прибавляли 0,5 моля карбоновой кислоты (н-валериановой или капроновой) при объемной скорости 0,5 мол/час и постоянной температуре (3 или 25°). Перемешивание продолжали еще 3 часа при той же температуре, и реакционную смесь оставляли на ночь. На следующий день прибавляли 3,75 моля безводного метанола. Метиловые эфиры, полученные после разбавления реакционной смеси водой с добавкой льда, согласно анализу методом газожидкостной хроматографии [8], оказались метиловыми эфирами исходных кислот.

Реакция карбметоксилирования насыщенных углеводородов проводилась по методике, описанной ранее [3], при соотношении H_2SO_4 : $HCOOH:A:J:CH_3OH=10:2:1:2:7,5$, температуре в первой стадии 15° и скорости прибавления акцептора гидрид-ионов A-0,25 мол./час (Д—насыщенный углеводород—донор гидрид ионов). Метилциклогексан в количестве 1 моля загружали в описанную выше реакционную колбу вместе с серной кислотой и при энергичном перемешивании прибавляли одновременно муравьиную кислоту и акцептор гидрид-ионов. В качестве акцепторов гидрид-ионов применены: пентен-1, гексен-1, циклогексен, циклогексанол и 1-этилциклогексен.

По окончании реакции в первой стадии отделяли слой насыщенного углеводорода с растворенной в нем частью образовавшихся карбоновых кислот. Смесь метиловых эфиров, полученная после разбавления отделенного сернокислотного слоя водой с добавкой льда, анализировали методом газожидкостной хроматографии [8]. Слой насыщенных углево-

лородов анализировался методом капиллярной газожидкостной хроматографии.

Полученные результаты приведены в таблице 1. -

Таблица 1
Насыщенные углеводороды, полученные в реакции карбметоксилирования метилциклогексана

Исходный акцептор гидрид-ионов	Углеводороды	Содержание в смеси насыщенных угле-водородов в ⁰ / ₀
Пентен-1	Изопентан <i>н</i> -Пентан	92,5 7,5
Гексен-1	2-Метилпентан 3-Метилпентан и-Гексан	66,3 30,9 2,81
Циклогексен	Метилциклопентан Циклогексан	84,5 15,5
Циклогексанол	.Метилциклопентан Циклогексан	84,3 15,7
1-Этилциклогексен	Этилциклогексан	100

В другой серии опытов при карбметоксилировании метилциклогексана, метилциклопентана и 2-метилбутана в тех же условиях, с применением 1-этилциклогексена в качестве акцептора и при варьировании температуры реакции в первой стадии определялись количества свободных карбоновых кислот, выделенных в первой стадии из слоя насыщенных углеводоров (K_1) и из реакционной смеси второй стадии (K_2). Найдено, что с ростом температуры реакции первой стадии отношение K_1/K_2 возрастает симбатно росту общего выхода кислот (табл. 2).

Таблица 2 Зависимость отношения количеств кислот, выделенных в l и II стадиях и выходы кислот от температуры реакции в первой стадии

		Доно	р гид	рид-ио	нов	396 (1)
Температура реакции в первой	(_сн₃		-CH ₃	СС	C-C
стадин, °С	K ₁ /K ₂	ВЫХОД КИСЛОТ, ⁰ / ₀	K ₁ /K ₂	Выход кислот, ⁰ / ₀	K ₁ /K ₂	Выход кислот, ⁰ / ₀
0	1,8	32,4	2,4	40,8	1,4	39,7
5	1,5	38,4	2,6	42,2	1,4	39,4
15	2,7	41,5	6,7	46,4	2,1	47,1
30	3,7	48,8	9,8	51,6	. 5,3	50,0

Институт органической химин им. Н. Д. Зелинского АН СССР

ԿԱՐԲԱԼԿՕՔՍԻԼՄԱՆ ՌԵԱԿՑԻԱՆԵՐ

V. Կարբալկօթսիլման պայմաններում կարբոնաթթուների առաջացման և փոխարկումների մասին

Մ. R. Օրգյան և Bm. 8. Էյդուս

Udhnhnid

ԾծմրաԲԲվական կատալիզի պայմաններում մեԲիլցիկլոհեքսանը կարբմեթթորհլելիս պենտեն-1-ը, որն օգտագործվում է որպես հիդրիդ-իոնի ակցեպտոր, ենթարկվում է հիդրոիզոմերացման, վերածվելով իզոպենտանի, որը գույց է տայիս CH.CH.CH.CH. հոնի կմախ թային իզոմերանայր։ Սենլակվ

ցուլց է տալիս CH₃CH₃CH₂CHCH₃ իոնի կմախ_ւքային իզոմերանալը։ Սենլակվ ջերմաստիձանում խիստ ծծմբական ԹԹվում ճարպային ԹԹուներ (ն-վալերիա-նաԹԹու և ն-կապրոնաԹԹու) լուծելիս կմախքային իզոմերացում տեղի չի ունենում, որը վկայում է այն մասին, որ ացիլիում-իոնացերը, որոնք առաջանում են այդ ԹԹուներից, այդ պայմաններում ընդունակ չեն իզոմերանալու։ Հագեցած ածխաջրածինների կարբմեԹօքսիլման պրոցեսի առաջին փուլում ջերմաստիձանի բարձրանալուն զուգընթաց մեծանում է ինչպես կարբոնաԹԹուների ընդհանուր ելքը, այնպես էլ առաջին և երկրորդ փուլերում ստացվող կարբոնաԹԹուների քանակական հարաբերությունը։

ЛИТЕРАТУРА

- 1. М. Б. Ордян, Я. Т. Эйдус, Т. А. Каал, Изв. АН АрмССР, ХН, 18, 487 (1965).
- 2. М. Б. Ордян, Т. А. Каал, Я. Т. Эйдус, Изв. АН Арм.ССР, ХН, 18, 578 (1965).
- 3. М. Б. Ордян, Я. Т. Эйдус, Т. А. Калл, Изв. АН Арм.ССР, ХН, 18, 585 (1965).
- 4. М. Б. Ордян, Я. Т. Эйдус, М. А. Каневская, Л. И. Шокина, Арм. XIIM. ж., 19, 280 (1966).
- 5. H. Meyer, Monatsh, 24, 840 (1903); 25, 1201 (1904).
- 6. Я. Т. Эйдус, К. В. Пузицкий, К. Г. Рябова, ДАН СССР, 120, 323 (1958).
- 7. H. Koch, Brennstoff Chem., 36, 321 (1955).
- 8. Я. Т. Эйдус, Т. А. Каал, ЖОХ, 33, 3283 (1963).

XIX, № 10, 1966 -

УДК 547.424.23+632.954

Синтез гербицидов

XVII. Галоидуксусные и арилокснуксусные эфиры бутиндиола-1,4

В. В. Довлатян и К. А. Элиазян

В качестве возможных гербицидов с малой летучестью и высоким кислотным эквивалентном получены хлоруксусный и арилоксиуксусные эфиры бутиндиола-1,4 этерификацией его свободными кислотами под действием каталических количеств л-толуолсульфокислоты в среде дихлорэтана или толуола.

Наличие кратной связи в молекулах гербицидов при сохранении основного скелета их токсофорных группировок зачастую приводит к повышению активности, а иногда и к существенному изменению селективности действия препаратов, особенно, при малых нормах расхода.

Примерами соединений с повышенной активностью могут служить, в частности, N,N-диаллил -а- хлорацетамид [1], 1-метилпропин-2-ил-N-3-хлорфенилкарбамат (препараты Б и ФК), 4-хлорбутин-2-ил-N-3-хлорфенилкарбамат (карбин), причем последние два препарата являются гербицидами узко избирательного действия и рекомендуются для борьбы с овсюгом в посевах пшеницы и ячменя [2].

Несмотря на большое число синтезированных и изученных сложных эфиров арилокси- и галоидуксусных кислот в литературе нет данных относительно гербицидной активности эфиров этих кислот, содержащих в спиртовом радикале ацетиленовую связь.

С целью получения сложных эфиров с высоким кислотным эквивалентом и малой летучестью мы предприняли синтез и изучение некоторых галогенуксусных и арилоксиуксусных эфиров бутиндиола-1,4 следующей общей формулы:

RCOOCH₂C = CCH₂OOCR, rge R=ArOCH₂, CH₂Cl.

Синтез указанных эфиров осуществлен этерификацией бутиндиола-1,4 действием свободных кислот, в присутствии каталитических количеств *n*-толуолсульфокислоты, в среде дихлорэтана или толуола и при азеотропной отгонке выделившейся воды:

 $2RCOOH + HOCH_2C = CCH_2OH \longrightarrow RCOOCH_2C = CCH_2OOCR + 2H_2O.$

Опыты показали, что в указанных условиях феноксиуксусная кислота сравнительно гладко образует ожидаемый эфир только в среде дихлорэтана и при температуре кипящей водяной бани, а при высокой температуре (140—150°) имеет место осмоление реакционной смеси. Между тем галоидарилоксиуксусные кислоты, а также хлоруксусная кислота реагируют с бутиндиолом и образуют соответствующие эфиры только при этой температуре и в среде толуола.

Несмотря на проведение ряда опытов и изменения условий этерификации, нам не удалось получить бутиндиоловый эфир трихлоруксусной кислоты; при попытке получении последнего выделяется почти рассчитанное количество воды, что указывает на протекание этерификации, однако, по окончании реакции продукт не кристаллизируется, а при попытке его очистки перегонкой в вакууме имеет место осмоление. Все полученные бутиндиоловые эфиры представляют собой кристаллические вещества; выходы и данные их элементарного анализа приведены в таблице.

RCOOCH,C=CCH,COOR

Таблица

-	1	-		1	Aus	вли:	3 B	0/0	_
		0/0		(CI	C			1
R	Молекулярная формула	Выход в	Т. пл. в °С	найдено	вычис-	найдено	вычис-	найдено	вычис-
OCH ₂	C ₂₄ H ₁₈ O	80,6	73	-	-	67,50	67,79	5 ,35	5,07
CI OCH,	C24H16O6Cl2	86,5	9697	16,32	16,7	1	-	-	-
CI OCH ₃	C ₂₆ H ₂₀ O ₆ Cl ₂	43,0	89—90	19,02	18,98	1	-	+	-
CI OCH ₂	C ₂₄ H ₂₄ O ₄ Cl ₄	76,7	118—119	29,24	28,8	-	-	-	-
CICH ₃	C ₈ H ₈ O ₄ Cl ₂	85,3	60-61	28,98	29,07	-	-	-	-

Экспериментальная часть

Бутиндиоловый эфир феноксиуксусной кислоты. В трехгорлую круглодонную колбу, снабженную обратным холодильником, водоотделителем и механической мешалкой, помещают 15,2 г (0,1 моля) феноксиуксусной кислоты, 4,3 г (0,05 моля) бутиндиола-1,4, 0,5 г п-толуолсульфокислоты и 25 мл дихлорэтана. Смесь нагревают на кипящей бане в течение 3,5 часов; за это время выделяется около 2 мл воды. По окончании реакции содержимое колбы промывают водой, раствором соды и растворяют в эфире. Эфирный раствор высушивают над безводным сульфатом магния. После удаления эфира остаток закристаллизовывается. Т. пл. 73° (из спирта), выход 12,5 г (80,6%).

Бутиндиоловый эфир 4-хлорфеноксиуксусной кислоты. В трехгорлую круглодонную колбу, снабженную обратным холодильником, водоотделителем и механической мешалкой, помещают 9,33 г (0,05 моля) 4-хлор-

феноксиуксусной кислоты, 2,15 г (0,025 моля) бутиндиола-1,4, 0,25 г птолуолсульфокислоты и 50 мл толуола. Смесь нагревают на масляной бане в течение 5 часов при температуре 140—150°. За это время выделяется 0,8 мл воды. По окончании реакции содержимое колбы промывают водой, раствором соды и растворяют в эфире. После удаления растворителей остаток обрабатывают небольшим количеством эфира, выпавшие кристаллы отсасывают. Выход 9,2 г (86,5%), т. пл. 96—97° (из бензола). Аналогичным путем получают остальные эфиры бутиндиола.

Армянский сельскохозяйственный институт Кафедра общей химии

Поступило 18 VIII 1965

ΖԵՐԲԻՑԻԴՆԵՐԻ ՍԻՆԹԵԶ

XVII. Հալոգեն- և արիլօրսիթացախարթուների բուտին-2-դիոլային էսթերները

Վ. Վ. Դովլաթյան և Կ. Ա. Էլիագյան

Udhnhnid

Հաշվի առնելով եռակի կապ պարունակող մի քանի բարձրակտիվ հերբիցիդների օրինակները և ցածր ցնդելիություն ու բարձր թթվային համարժեքունեցող հերբիցիդներ սինթեղելու փորձը, ստացել և բնութագրել ենք քլորքացախաթթվի և չորս արիլօքսիքացախաթթուների բուտին-2-դիոլ-1,4-ային էսթերներ։

Նշված էսթերները սինթեզված են բուտինդիոլի և Համապատասխան Ներկայությամբ դիքլորէթանի կամ տոլուոլսուլֆոթթվի կատալիտիկ քանակների Ներկայությամբ դիքլորէթանի կամ տոլուոլի միջավայրում։

ЛИТЕРАТУРА

- 1. P. C. Hamm, A. J. Speziale, J. Agr. Food. Chem., 4, 518 (1956).
- 2. T. R. Hopkins, R. P. Neighbors, P. D. Strickler, L. Phillips, J. Org. Chem., 24, 2040 (1959); E. K. Noochford, L. Kasassian, Chem. and Ind., 1960, 1118.

2 Ц 3 Ч Ц Ч Ц Б Р Г Р Ц Ч Ц Б Ц Г И Ц Ч Р Р АРМЯНСКИЙ ХИМИЧЕСКИЙ ЖУРНАЛ

XIX, № 10, 1966

УДК 547.495.2+547.496.3+632.954

Синтез гербицидов

XVIII. N-Диалкиламиноалкил- N'-арилмочевины и N'-арилтиомочевины

В. В. Довлатян и Э. Н. Амбарцумян

С целью установления влияния аминной функции на гербицидную активность некоторых двузамещенных производных мочевины и тиомочевины и в поисках потенциальных водорастворимых почвенных гербицидов, конденсацией арилизоцианатов и изотиоцианатов с диалкиламиновлкиламинами получены N-диалкиламиновлкил-N'-арилмочевины и -тиомочевины.

Физиологическая активность водорастворимых форм почвенных гербицидов изучена сравнительно мало. Между тем, выраженная гидрофильность гербицидных препаратов может не только исключить необходимость их применения в виде эмульсий и суспензий, иногда трудноприготовляемых, но и в известной мере усилить корневое действие соединений в связи с повышением их доступности для растений в почве.

С учетом этих соображений нами ранее были синтезированы диалкиламиноалкил-N-арилкарбаматы ArNHCOO (CH_2) $_{\rm n}$ NR $_{\rm 2}$, которые были испытаны в виде хорошо растворимых в воде солянокислых солей и йодметилатов [1].

В продолжение указанных исследований, в настоящем сообщении, в качестве возможных гербицидов с аминной функцией описываются амидо- и тиоаналоги упомянутых выше соединений N-диалкиламиноалкил-N'-арилмочевины и N'-арилтиомочевины следующей общей формулы:

ArNHCXNH(CH₂)_nNR₂,

где $Ar = C_6H_5$, 3- CIC_6H_4 , 4- CIC_6H_4 : X=O, S; n=2, 3; $R=CH_3$, C_2H_5 .

Синтез этих соединений осуществлен конденсацией арилизоцианатов и -изотиоцианатов с диалкиламиноалкиламинами, которые, в свою очередь, были получены из соответствующих хлоридов способом, основанным на применении фталимидокалия:

$$R_{2}N(CH_{2})_{n}C1 \xrightarrow{KN(CO)_{1}C_{1}H_{1} \text{ HCON}(CH_{3})_{n}} R_{2}N(CH_{2})_{n}NH_{3} \xrightarrow{ArNCX} ArNHCXNH(CH_{2})_{n}NR_{2}.$$

ArNHCONHR

-		Молекулярная	Выход	Т. пл.	Анализ	N B 0/0	Т. пл.	Анализ N в °	
Ar	R	формула	B 0/0	в°С	найдено	вычис- лено	пикрата в °С	найдено	нычис- лено
C ₆ H ₅	CH ₂ CH ₂ N(CH ₃) ₂	C ₁₁ H ₁₇ ON ₃	88,2	134—135	19,76	20,29	156—157	18,97	18,26
3-CIC.H.	CH ₂ CH ₂ N(CH ₃) ₂	C11H16ON3CI	76,0	_	17,66	17,43	165-166	18,06	17,85
C ₆ H ₅	CH ₂ CH ₂ N(C ₂ H ₅) ₂	C ₁₃ H ₂₁ ON ₃	76,0	-	17,79	17,87	132-134	18,30	18,10
C ₆ H ₅	CH ₂ C(CH ₃) ₂ CH ₂ N(CH ₃) ₂	C ₁₄ H ₂₃ ON ₃	85,7	105-106	16,55	16,80	183-184	17,46	17,72
3-CIC.H.	CH ₂ C(CH ₃) ₂ CH ₃ N(CH ₃) ₂	C14H22ON3C1	83,7	7778	14,66	14,80	160—161	16,22	16,50
C ₆ H ₅	CH ₂ C(CH ₃) ₂ CH ₂ N(C ₂ H ₅) ₂	C ₁₆ H ₂₇ ON ₃	80,0	68-70	15,09	15,16	178-179	16,27	16,66
3-CIC.H.	$CH_2C(CH_3)_2CH_2N(C_2H_3)_2$	C ₁₈ H ₂₈ ON ₃ CI	84,2	77-76	13,43	13,89	157158	16,03	15,83
3-CIC.H.	CH(CH ₃)CH ₂ CH ₂ N(C ₂ H ₅) ₂	C ₁₅ H ₂₄ ON ₂ CI	77,7	-	14,45	14,11	153-154	16,14	15,95
4-CIC.H.	CH ₂ CH ₂ N(CH ₃) ₂	C ₁₁ H ₁₆ ON ₃ CI	73,7	122-123	17,69	17,39	204-205	17,37	17,85
4-CIC,H	$CH_2C(CH_3)_2CH_2N(C_2H_5)_2$	C16H26ON3CI	88,5	84—85	13,41	13,89	173-174	16,11	15,83

Таблица 2

Ar	N	н	CS	N	н	R
α	•		U.		4 4	**

C ₆ H ₅	CH ₂ CH ₂ N(CH ₃) ₂	C11H17N3S	91,07	7980	18,58	18,88	164-165	18,21	18,58
3-CIC,H4	CH ₂ CH ₂ N(CH ₃) ₂	C ₁₁ H ₁₀ N ₃ SCI	74,7		16,58	16,31	115116	17,62	17,26
C ₆ H ₅	CH ₂ C(CH ₃) ₂ CH ₂ N(CH ₃) ₂	C14H23N3S	75,0	143—144	16,00	15,81	183—184	-	-
3-CIC.H.	CH ₂ C(CH ₃) ₂ CH ₂ N(CH ₃) ₂	C14H22N3SCI	72,0	116-117	14,25	14,02	152—153	-	-
· C ₆ H ₅	CH ₂ C(CH ₃) ₂ CH ₂ N(C ₂ H ₅) ₂	C16H27N3S	70,8	105-106	14,00	14,30	147-148	-	
4-CIC ₆ H ₄	CH ₂ CH ₂ N(CH ₃) ₂	C11H18N3SCI	66,6	143—144	16,65	16,31	175—176	16,88	17,26
4-CIC ₆ H ₄	CH ₂ C(CH ₃) ₂ CH ₃ N(C ₂ H ₅) ₂	C ₁₆ H ₂₆ N ₃ SCI	67,7	-	12,35	12,82	144—145	14,81	15,09

Некоторые из синтезированных соединений были выделены в виде густых, сиропообразных, разлагающихся при перегонке в вакууме жидкостей, а большинство—в виде кристаллических продуктов.

Выходы, физико-химические константы и данные анализов приведены в таблицах 1 и 2. При попытке переведения их в хлоргидраты и йодметилагы вместо кристаллических солей образовались некристаллизирующиеся, но хорошо растворимые в воде, густые маслообразные продукты; поэтому синтезированные соединения были охарактеризованы в виде легко получаемых пикратов.

Результаты испытания гербицидной активности N-диалкиламиноалкил-N'-арилмочевин и -тиомочевин, а также их солей будут сообщены

отдельно.

Экспериментальная часть

Исходные диалкиламиноалкиламины получены 6—8-ми часовым нагреванием смеси эквимолярных количеств диалкиламиноалкилхлоридов и фталимидокалия в среде диметилформамида при 140—150° и гидролизом образовавшихся диалкиламиноалкилфталимидов концентрированной соляной кислотой. Выходы диалкиламиноалкиламинов составляли 50—55% теории, считая на исходные хлориды.

N-Диалкиламиноалкил-N -арилмочевины. В круглодонную колбу с обратным холодильником с хлоркальциевой трубкой помещают 0,1 моля арилизоцианата, растворенного в 30 мл абсолютного бензола, приливают маленькими порциями 0,1 моля диалкиламиноалкиламина, растворенного в 20 мл абсолютного бензола. Реакционную смесь нагревают на водяной бане в течение 6—8 часов. После удаления бензола остаток закристаллизовывается. N-Диалкиламиноалкил-N'-арилмочевины перекристаллизовывались из *н*-гептана.

N-Диалкиламиноалкил-N'-арилтиомочевины. В круглодонную колбу с обратным холодильником с хлоркальциевой трубкой помещают 0,1 моля арилизотиоцианата, растворенного в 30 мл абсолютного бензола и приливают маленькими порциями 0,1 моля диалкиламиноалкиламина, растворенного в 20 мл абсолютного бензола. Реакционную смесь нагревают на водяной бане в течение 8—10 часов. После удаления бензола остаток закристаллизовывается. Продукты реакции перекристаллизовывались из этилового спирта. Пикраты синтезированных соединений получены обычным способом.

Армянский сельскохозяйственный институт Кафедра общей химии

Поступило 28 VIII 1965

ՀԵՐԲԻՑԻԴՆԵՐԻ ՍԻՆԹԵՉ

XVIII. N-Դիալկիլամինաալկիլ-N'-արիլմիզանյութեր և N'-արիլթիոմիզանյութեր

Վ. Վ. Դովլաթյան և Է. Ն. Համբաrձումյան

Ամփոփում

Միզանյութի և թիոմիզանյութի երկտեղակալված ածանցյալների հերբիցիդային ակտիվության վրա ամինային ֆունկցիայի առկայության ազդեցությունը պարզելու նպատակով սինթեզել ենք N-դիալկիլամինաալկիլ-N'-արիլմիզանյութեր և թիոմիղանյութեր։ Նշված միացությունների սինթեզն իրականացված է արիլիզոցիանատների և -իզոթիոցիանատների վրա ներգործելով դիալկիլամինաալկիլամիններ, որոնք, իրենց հերթին, ստացված են համապատասխան բլորիդներից՝ ֆթալիմիդակալիումի օգտագործմամբ։

Ստացված միացություններն իրենց քլորաջրածնական աղերի ձևով՝ որպես ջրալուծ հողային հերբիցիդներ, հանձնված են փորձարկման։

ЛИТЕРАТУРА

1. В. В. Довлатян, Э. Н. Амбарцумин, Изв. АН АрмССР, ХН, 18, 304 (1965).

XIX, № 10, 1966

УДК 547.269.3+632.951

Эфиры сульфокислот

XIV. Синтез и акарицидные свойства некоторых хлорнафтиловых сульфоэфиров

Г. Т. Есаян, Г. М. Марджанян, Р. М. Хачатрян, А. А. Бабаян и А. Қ. Устян

Показано, что хлорирование α - и β -нафтиловых сульфоэфиров протекает более глубоко, чем хлорирование соответствующих фениловых сульфоэфиров и приводит к образованию трудноразделяемой смеси хлоридов. Хлорнафтиловые сульфоэфиры получены взаимодействием хлорнафтолов с сульфохлоридами в присутствии водной щелочи. Некоторые из синтезированных 2-хлор-1-нафтиловых сульфоэфиров, в отличие от соответствующих 1-хлор-2-нафтиловых, обладают высокой акарицидной активностью, но по продолжительности действия уступают эталону—эфирсульфонату.

Галоиднафтиловые сульфоэфиры, являясь аналогами известного акарицида—эфирсульфоната (n-хлорфениловый эфир n-хлорбензолсульфокислоты), могут представить интерес в деле защиты растений. Несмотря на это, в литературе описаны лишь некоторые представители этого ряда [1].

Синтез хлорнафтиловых сульфоэфиров предполагалось осуществить аналогично n-хлорфениловым сульфоэфирам [2]—хлорированием соответствующих нафтиловых сульфоэфиров в присутствии каталитических количеств йода. С этой целью были получены α - и β -нафтиловые эфиры ряда сульфокислот:

RSO₃

RSO₂CI

$$\alpha$$
-C₁₀H₇OH

RSO₃
 α -C₁₀H₇OH

RSO₃
 α -C₁₀H₇OH

RSO₃
 α -C₁₀H₇OH

RSO₃

Нафтиловые эфиры *п*-хлорбензолсульфокислоты ранее были описаны нами [3]; остальные получены аналогичным путем в присутствии водного раствора едкого натра.

Хлорирование нафтиловых сульфоэфиров, как в условиях хлорирования фениловых эфиров [2], так и в более мягких условиях, не привело к положительным результатам: получены смеси хлоридов, из которых не могли быть выделены и охарактеризованы индивидуальные соединения. Судя по содержанию хлора в продуктах реакции, нафтиловые сульфоэфиры в аналогичных условиях хлорируются глубже, чем соответствующие фениловые эфиры.

Хлорнафтиловые эфиры были получены взаимодействием сульфохлоридов с 2-хлор-1-нафтолом и 1-хлор-2-нафтолом соответственно, в присутствии водного раствора едкого натра:

$$\begin{array}{c|c}
CI & OH \\
RSO_3-OH & RSO_2CI
\end{array}$$

 $R = C_4H_9$, C_6H_{11} , C_6H_5 , $n-CIC_6H_4$, $C_6H_5CH_2$, $3-NO_2-4-(CH_3O)C_6H_3CH_2$.

Из синтезированных сульфоэфиров были испытаны как акарициды (на примере паутинного клещика, Tetranychus urticae Koch) 2-хлор-1-нафтиловые и 1-хлор-2-нафтиловые эфиры бутан-, бензол-, 4-хлорбензол- и бензилсульфокислот. Данные испытаний (см. экспериментальную часть) показывают, что 1-хлор-2-нафтиловые сульфоэфиры малоактивны, 2-хлор-1-нафтиловые сульфоэфиры проявляют высокую начальную активность, но по продолжительности действия уступают эталону—эфирсульфонату. В отличие от последнего, испытуемые соединения не показали овицидной активности. Заметного фотоцидного действия препаратов на растения не наблюдалось.

Экспериментальная часть

Исходные сульфохлориды получены известными способами: бутансульфохлорид—хлорированием в водной среде соответствующего тиоционата [4], бензил-, 3-нитро-4-метоксибензилсульфохлориды—хлорированием в водной среде S-производных изотиомочевины [4, 5], циклогексансульфохлорид—сульфохлорированием циклогексана [6], 4-хлорбензолсульфохлорид—действием олеума и НСІ на бензол [7], 2-хлор-1-нафтол и 1-хлор-2-нафтол—взаимодействием соответствующих нафтолов с гипохлоритом натрия [8].

а- и β-Нафтиловые сульфоэфиры. Смесь 0,01 моля нафтола, 0,01 моля сульфохлорида и 4 г 10%-ного водного раствора едиого натра нагревалась при 50—55° при перемешивании в течение 5—6 часов. После стояния в течение суток при комнатной температуре реакционная смесь экстрагировалась эфиром. Эфирный экстракт промывался 5%-ным водным раствором едкого натра, затем водой и сушился над хлористым кальцием. После удаления эфира отгонкой остаток перекристаллизовывался из этанола или промывался петролейным эфиром. Жидкие суль-

RSO₃C₁₀H,

-						7 1 -		MI	₹ _D	0/0	S
R	€ ₁₀ H ₇	Выход, ⁰ / ₀	Т. пл., °C	Т. кип., °С/мм	Молекулярная формула	n ²⁰	d ₄ ²⁰	найдено	вычис- лено	найдено	вычис- лено
C ₄ H ₉	α-нафтил	71,2	-	186/10	C14H103S	1,5710	1,1980	72,40	70,42	12,41	12,12
C ₆ H ₅		74,0	114	_	C16H12O3S	-	-			10,90	11,28
C.H.CH.		39,3	_*	-	C17H14O3S	-	- 3	-	- L	10,38	10,74
C ₄ H ₉	β-нафтил	58,4		205/12	C14H16O3S	1,5600	1,1805	72,31	70,42	12,52	12,12
C _e H ₅	230.49	100	105**		C16H12O3S	-	_	_	- 3		_
C ₆ H ₅ CH ₂	1	64,0	65	-	C ₁₇ H ₁₄ O ₃ S	-	_	3 -	-	10,23	10,74

^{*} Полужидкая, липкая масса, очищена переосаждением водой из ацетонового раствора. ** По литературным данным т. пл. 105—107° [9].

RSO₂C₁₀H₄Cl

Таблица 2

				1/203/	210.180	•							
P	0.11.01	0/0 7	Т. пл.,	Молекулярная	Aı	талнз,	0/0	0/0 СХ СУТН		ти паути		лещика чо 5 дн	_
R	C ₁₀ H ₆ Cl	Выход	°C	формула	эле- мент	найдено	вычис- лено	личинок	нмаго	личинок	нмаго	личинок	нияго
1	2	3	4	5	6	7	8	9	10	11	12	13	14
C ₄ H,	2-хлор-1-нафтил	92,0	83	C14H15O3SCI	CI S	12,11 10,30	11,89 10,72	94,7	96,7	50,9	52,0	41,8	36,1
(H)-		46,5	3 6—37	C ₁₆ H ₁₇ O ₃ SCI	CI S	11,45 9,30	10,91 9,92	-	7	-			73

-5			100								1	аблица	2 (продо	лжение)
NAHC	1	2	3	4	5	6	7	8	9	10	11	12	13	14
KHH XI		2-хлор-1-нафтил	81,2	91-92	C ₁₆ H ₁₁ O ₃ SCI	CI S	11,52 10,60	11,14 10,05	88,88	98,0	33,0	52,6	66,1	34,1
MMYEC	CI		97,7	90	C ₁₆ H ₁₀ O ₃ SCl ₂	CI S	20,78 9,12	20,11 9,06	98,7	93,0	33,8	88,1	14,3	27,0
химический журнал, хіх,	СН,		97,4	92—93	C ₁₇ H ₁₁ O ₃ SCI	CI S	10,99	10,68 9,62	85,8	85,5	48,0-	87,2	22,8	29,8
нал, хл	CH3OCH3		39,2	80—82	C ₁₈ H ₁₄ O ₃ SNCI	N S	3,64 7,26	3,43 7,85	-	-		-		Surjusy
>	NO,	200		100				10.0	-	*		100		100
10-4	C ₄ H ₉	1-хлор-2-нафтил	97,15	31—33	C14H18O3SCI	CI S	11,91 10,36	11,89 10,72	48,7	66,5	25,0	73,6	26,7	48,8
	(H)-		77,5	57—59	C ₁₆ H ₁₇ O ₃ SCI	C1 S	11,27 10,31	10,91 9,92		_	-	_	-	-
	C ₆ H ₅		81,6	81	C ₁₆ H ₁₁ O ₃ SCI	C1 S	11,86 10,20	11,14 10, 0 5	40,8	63,9	24,4	59,7	29,4	31,3
	CI		90,65	95—97	C ₁₆ H ₁₀ O ₃ SCl ₂	CI S	20,44 9,58	20,11 9,06	18,7	55,4	29,5	54,1	12,1.	39,4
	-СН,		75,15	118—119	C17H13O3SCI	CI S	10,51 9,25	10,68 9,62	8,6	35,3	12,6	29,1	16,4	27,5
	CH30CH3		54,0	106—108	C ₁₈ H ₁₄ O ₆ SNCI	N S	3,83 7,05	3,43 7,85	-	-	-	-	-	-
	NO,	2 1	-2,			1	100			10		777		
		22 6	1			200	07.11	2004	25.0	01.5	00.0	00.	40.0	
	Эталон — "Эфир				о; зеленое масле	o 60º/o	; 011 10-	-20º/ ₀)	75,0	21,5	93,9	62,4	47,9	55,4
	Ког			ло (60°/ ₀ -	+ OΠ·10·40º/ ₀)		2 6	2 1	16,3	45,7	11,8	28,7	17,3	29,6
		пат	ьк						_	-0	11,3	28,2	_	_
			2	2				- 0	-					

фоэфиры перегонялись в вакууме. Выходы и характеристика синтезиро-

ванных эфиров приведены в таблице 1.

Хлорирование нафтиловых сульфоэфиров. Хлорирование велось аналогично хлорированию фениловых сульфоэфиров [2] при 95—100° в присутствии йода и в растворе ледяной уксусной кислоты или четыреххлористого углерода при охлаждении льдом, в присутствии и отсутствии йода. Во всех случаях получены смолообразные, трудноперегоняющиеся продукты с высоким содержанием хлора. Например, при хлорировании анафтилового эфира *п*-хлорбензолсульфокислоты в течение двух часов на кипящей водяной бане в присутствии следов йода продукт реакции (после промывки водой и петролейным эфиром) содержал 32,1% хлора (для моно-, ди-, трихлорнафтиловых сульфоэфиров вычислено соответственно 20,11, 27,48 и 33,64%. С1). В тех же условиях фениловые эфиры *п*-хлорбензол- и других сульфокислот хлорируются в основном до монохлорфенилового эфира [2].

2-Хлор-1-нафтиловые и 1-хлор-2-нафтиловые сульфоэфиры. К эквимолекулярной (по 0,01 моля) смеси хлорнафтола и сульфохлорида постепенно, в течение получаса и при перемешивании прибавлялось эквивалентное количество 5—10%-ного водного раствора едкого натра. Перемешивание продолжалось еще 3—4 часа при комнатной температуре. Образовавшийся осадок сульфоэфира промывался разбавленным раствором едкого натра, затем водой, сушился на воздухе и перекристаллизовывался из этанола. Выходы и характеристика полученных соединений приведены в таблице 2.

Акарицидные свойства хлорнафтиловых сульфоэфиров. Большинство синтезированных эфиров растворяется в минеральных маслах. Они были испытаны в виде минеральномасляного концентрата (20% действующего начала, 60%, зеленого масла, 20% ОП-10), а 1-хлор-2-нафтиловые эфиры *п*-хлорбензол- и бензилсульфокислот в виде 20% дуста на тальке.

Сильно зараженные паутинным клещиком растения опрыскивались ручным опрыскивателем (50 мл 0,2 % по действующему началу водной эмульсии концентрата или суспензией смачивающегося порошка на два растения) или опыливались дустом (1 г на растение). Опыты ставились в двух повторениях. Каждый раз учитывался процент смертности клещика (личинок и имаго) на шести листьях. Результаты этих опытов приведены в таблице 2.

Институт органической химии АН АрмССР Научно-исследовательский институт защиты растений МСХ АрмССР

Поступило 31 VII 1965

ՍՈՒԼՖՈՔՔՈՒՆԵՐԻ ԷՍՔԵՐՆԵՐԸ

XIV. Մի թանի բլորնավթիլային սուլֆոէսթերների սինթեզ և նրանց ակարիցիդային հաակությունները

Հ. 8. Եսալան, Դ. Մ. Մաrջանյան, Ռ. Մ. Խաչաւrյան, Ա. Ա. Բաբայան և Ա. Կ. Ուսօյան

Udhnynid

ցիան ավնլի խորն է ընժանում, քան ֆենալիային սուլֆոէսθերների ժամանակ։ Հայտնի ակարիցեր ներ գլորումը։ Ցույց ենք տվել, որ այս դեպքում ռեակ-Հայտնի ակարիցեր են Հարք սուլֆոԹԹուների գ- և Յ-նավԹիլալին ԷսԹեր-Հայտնի ակարիցիդ՝ է ընժանում, քան ֆենալիային սուլֆոէսԹերների ժամանակ։

1-Քլոր-2-նավԹիլային և 2-բլոր-1-նավԹիլային էսԹերներ սինԹեզել ենք քլորնավԹուների փոխազդեցությամբ, համապատասխան սուլֆոքլորիդների հետ նատրիումի հիդրօքսիդի ջրային լուծույԹի ներկայությամբ։

Փորձարկումները ցույց են տվել, որ 2-քլոր-1-նավԹիլային սուլֆոէսԹերները, ի տարբերուԹյուն 1-քլոր-2-նավԹիլային էսԹերների, օժտված են ակարիցիդային ակտիվուԹյամբ, սակայն ազդեցուԹյան տևողուԹյամբ զիջում են էտալոնին՝ էֆիրսուլֆոնատին։

ЛИТЕРАТУРА

- 1. О. А. Приб, Н. И. Грицай, Укр. хим. ж., 25, 758 (1959); О. А. Приб, И. М. Василькевич, В. И. Галибей, Укр. хим. ж., 26, 750 (1960).
- 2. Л. Г. Вольфсон, С. Д. Володкович, Н. Н. Мельников, И. М. Рублева, ЖОХ, 26, 2579 (1956); В. Д. Азатян, Г. Т. Есаян, Изв. АН АрмССР, ХН, 11, 369 (1958).
- 3. Г. Т. Есаян, Г. М. Марджанян, А. А. Бабаян, А. К. Устян, Изв. АН АрмССР, XH, 15, 285 (1962).
- 4. T, B. Johnson, J. B. Douglass, J. Am. Chem. Soc., 61, 2548 (1939).
- 5. Г. Т. Есаян, А. А. Бабаян, А. В. Мушееян, Арм. хим. ж., 19, 53 (1966).
- 6. С. Т. Агбалян, Г. Т. Есаян, П. О. Магакян, А. О. Ншанян, Изв. АН АрмССР, ХН, 17, 69 (1964).
- 7. F. Ullmann, I. Karselt, Ber., 40, 641 (1907).
- 8. Германский пат., 167458 (1904); [С., 1906, I, 1067].
- 9. M. Georgescu, Ber., 24, 416 (1891).

XIX, № 10, 1966

УДК 541.69+547.415.1

Синтезы некоторых тетразамещенных этилендиаминов

А. А. Ароян и М. А. Ирадян

Взаимодействием анилина с алкоксибензилхлоридами получено 8 4-алкоксибензилфениламинов. С целью испытания антигистаминных свойств взаимодействием алкоксибензилфениламинов с диалкиламиноалкилхлоридами в присутствии амида ватрия синтезировано 16 тетразамещенных этилендиаминов. Цианэтилированием 4-алкоксибензилфениламинов акрилонитрилом в среде уксусной кислоты синтезировано 4 N-β-цианэтил-N-4-алкоксибензиланилина.

В течение последних десятилетий значительно возрос интерес к гистамину. Были проведены многочисленные исследования с целью выяснения его роли в организме. Участие гистамина в патогенезе многих болезней послужило причиной поисков средств, предотвращающих действие гистамина на организм [1].

Впервые антигистаминные свойства были обнаружены у некоторых аминокислот (аргинин, гистидин, цистенн), у провитамина А (каротин), β-ионона, цитраля [2]. Начиная с 1937 года был синтезирован ряд веществ, обладающих антигистаминной активностью, в большинстве являющихся производными этилендиамина.

При изучении литературы по вопросу связи химической структуры с антигистаминной активностью этих соединений выясняется, что все сравнительно активные антигистаминные соединения содержат бензильную группу; так например: антерган (I) (N-бензил-N-фенил-N',N'-диметилэтклендиамин), пирибензамин (II) (N-бензил-N-2-пиридил-N',N'-диметилэтилендиамин); гетерамин (III) (N-бензил-N-2-пиримидил-N',N'-диметилэтилендиамин) [3].

Введение в *п*-положение бензильного радикала метоксильной группы значительно увеличивает антигистаминную активность препаратов. Так, *п*-метоксибензильные аналоги пирибензамина (неоантерган) и гетерамина (неогетерамин) значительно превосходят по своей активности соответствующие бензильные производные [4].

Исходя из этих данных, мы предприняли синтез ряда замещенных этилендиаминов, содержащих алкоксибензильные радикалы с общей формулой:

 $R = CH_3, \ C_2H_5, \ C_3H_7, \ u30 - C_3H_7, \ C_4H_9, \ u30 - C_4H_9, \ C_5H_{11}, \ u30 - C_5H_{11}; \ R' = CH_3, \ C_2H_5.$

Синтез этих соединений проведен взаимодействием соответствующих 4-алкоксибензилфениламинов со свежеприготовленными диалкиламиноэтилхлоридами в присутствии амида натрия в среде абсолютного бензола:

Выходы составляют 50—55 %, причем, очень важно качество амида натрия. В отдельных синтезах амид натрия мы готовили непосредственно перед опытом действием натрия на жидкий аммиак в присутствии нескольких кристаллов нитрата трехвалентного железа; при этом выходы конечных диаминов увеличиваются на 5—6%.

Исходные продукты для синтеза замещенных этилендиаминов 4-алкоксибензилфепиламины синтезированы взаимодействием анилина с 4алкоксибензилхлоридами:

$$RO$$
 $CH_2CI + H_2N$ RO CH_2NH RO CH_2NH

Если при этом использовать эквивалентные количества исходных продуктов, то выходы алкоксибензилфениламинов составляют всего 20—25%. Это объясняется большой реакционной способностью алкоксибензилхлоридов, в результате чего получается также и значительное количество N-бис-n-алкоксибензилзамещенных анилинов. Лучшие результаты получаются, когда анилин и 4-алкоксибензилхлорид применяются в соотношении 4:1; при этом выходы вторичных аминов составляют 60—70%. Получение непрореагировавшего анилина обратно и возможность использовать его вторично делают этот метод более выгодным.

Синтез 4-алкоксибензилфениламинов был проведен нами также по схеме, исключающей возможность получения третичного амина. В среде абсолютного ксилола действием на форманилид натрием получается его натриевое производное. Последнее действием 4-алкоксибензилхлоридов

переводят в N-4-алкоксибензилформанилиды. В этой стадии выход составляет 30%. Гидролиз дизамещенного формамида 30%-ным раствором едкого кали приводит к вторичному амину с выходом 80—82%:

Сравнение физико-химических свойств и ИК-спектров полученных соединений и аминов, синтезированных непосредственным воздействием анилина на 4-алкоксибензилхлориды, показывает идентичность этих соединений.

Интересно отметить, что если первую стадию этой реакции проводить в среде абсолютного спирта или в смеси ксилола с небольшим количеством спирта, то вместо дизамещенного формамида получаются 4-алкоксибензилэтиловые эфиры. Такое поведение 4-алкоксибензилхлоридов в среде этанола в присутствии веществ, создающих даже весьма слабую щелочную реакцию, наблюдается в некоторых других реакциях; в частности при получении нитрилов действием цианистого натрия или калия, в малоновом и ацетоуксусном синтезах и т. д. [5].

Синтезированные этилендиамины представляют собой густые, светложелтые жидкости. Для проведения фармакологических испытаний действием эфирного раствора хлористого водорода получены их хлоргидраты; элементарный анализ этих солей показывает, что они являются монохлоргидратами.

4-Алкоксибензилфениламины использованы нами также в реакции цианэтилирования. Для этой цели они введены во взаимодействие с акрилонитрилом в среде уксусной кислоты:

$$\begin{array}{c|c} & & & & \\ & &$$

Выходы аминонитрилов составляют 55-60%.

Экспериментальная часть

4-Алкоксибензилфениламины. Смесь 74,4 г (0,8 моля) анилина и 0,2 моля 4-алкоксибензилхлорида [6] нагревают на водяной бане в течение 6—8 часов, затем приливают 100 мл 10%-ного раствора едкого награ. Выделившийся маслянистый слой отделяют, а водный экстрагируют

эфиром. Последний присоединяют к основному продукту и высушивают над прокаленным сернокислым натрием. Отгоняют растворитель, и остаток перегоняют в вакууме. Формулы, данные элементарного анализа и некоторые физико-химические константы полученных 4-алкоксибензилфениламинов приведены в таблице 1.

N-4-Метоксибензилформанилид. В трехгорлую колбу, снабженную мешалкой, обратным холодильником и капельной воронкой, помещают 100 мл абсолютного ксилола, 16,5 г (0,135 моля) форманилида и нагревают до его растворения. Затем маленькими кусочками прибавляют 3,7 г (0,16 г-ат) натрия, при перемешивании нагревают на водяной бане до растворения последнего и из капельной воронки приливают 25,7 г (0,16 моля) 4-метоксибензилхлорида. Нагревание на водяной бане и перемешивание продолжают еще 5—6 часов, после чего приливают 50 мл воды, маслянистый слой экстрагируют эфиром, высушивают над прокаленным сульфатом натрия, и после отгонки растворителя остаток перегоняют в вакууме. N-4-Метоксибензилформанилид перегоняется при 193—195°/1 мм. Выход 30,7°/о; d²⁰ 1,1580; п²⁰ 1,5939. МRD найдено 70,52; вычислено 69,23. Найдено °/о: С 74,42; Н 6,10; N 5,62. С₁₃Н₁₃NO₂. Вычислено °/о: С 74,66; Н 6,26; N 5,80.

N-4-Этоксибензилформанилид получен аналогичным образом из форманилида, натрия и 4-этоксибензилжлорида. Т. кип. 206—208/1 мм. Выход $38,2^{\circ}/_{\circ}$; d_{4}^{20} 1,1296; n_{D}^{20} 1,5882. MR_D найдено 76,09, вычислено 73,85. Найдено $^{\circ}/_{\circ}$: С 75,09; Н 6,56; N 5,25. $C_{10}H_{17}NO_{2}$. Вычислено $^{\circ}/_{\circ}$: С 75,26; Н 6,71; N 5,48.

Гидролиз N-4-алкоксибензилформанилидов. Смесь 70 мл 30%-ного раствора едкого кали и 0,12 моля N-4-алкоксибензилформанилида кипятят в течение 15—20 часов. Затем экстрагируют маслянистый слой эфиром, эфирный раствор высушивают над прокаленным сернокислым натрием и после отгонки растворителя остаток перегоняют в вакууме.

4-Метоксибензилфениламин перегоняется при 172—175°/1 мм. Выход 80,1%; т. пл. 56—57°.

4-Этоксибензилфениламин перегоняется при 187—189°/4 мм. Выход 81,3%; т. пл. 63—64°.

N-4-Алкоксибензил-N-фенил-N',N'-диалкилэтилендиамины. В трехгорлую колбу, снабженную мешалкой, капельной воронкой и обратным холодильником с хлоркальциевой трубкой, помещают 60 мл абсолютного бензола, 6,2 г (0,16 моля) измельченного амида натрия, 0,06 моля 4-алкоксибензилфениламина и при перемешивании из капельной воронки приливают 0,1 моля свежеперегнанного диалкиламиноэтилхлорида. Смесь перемешивают и нагревают на водяной бане в течение 10—12 часов. По охлаждении из капельной воронки осторожно приливают 30 мл воды, отделяют бензольный слой, а водный несколько раз экстрагируют бензолом. Бензольные экстракты высушивают над прокаленным сернокислым натрием, отгоняют растворитель в вакууме водоструйного насоса, а остаток перегоняют в вакууме.

							M	$R_{\mathbf{D}}$	1	на	л н	3 В	°/ ₀		
	0/0	3.0 pg	_		100			P. P.	C		H		N		Т. пл.
R	Выход в	Т. кнп. в °С/ <i>жм</i>	Т. пл. в °C	Молекулярная формула	d ²⁰	n ²⁰	найдено	вычислено	найдено	вычис- лено	найдено	вычис-	найдено	вычис- лено	хлор- гидрата в С
CH ₃ *	77,4	175—178/2	59	C ₁₄ H ₁₅ ON	_	_	-	_	79,19	78,83	7,40	7,08	6,87	6,58	.155—156
C ₂ H ₅ **	67,3	180—183/3	65	C ₁₅ H ₁₇ ON		-7.			79,30	79,29	7,42	7,54	6,79	6,21	142—143
C ₃ H ₇	76,4	189—192/3	69	C ₁₈ H ₁₈ ON	-	"	_		79,34	79,64	8,18	7,93	5,98	5,80	148-149
изо-С₃Н₁	63,6	181—182/2	43	C ₁₆ H ₁₉ ON	1,0652	1,5853	75,96	75,22	80,13	79,64	8,37	7,93	5,97	5,80	179—180
C ₄ H ₉	68,3	195—198/3	-	C ₁₇ H ₂₁ ON	1,0630	1,5787	79,58	78,75	79,66	79,96	8,00	8,29	5,23	5,48	1 50 —151
изо-C ₄ H ₉	67,0	190—193/3	47	C ₁₇ H ₂₁ ON	_	_	-	-	80,42	79,96	8,55	8,29	5,81	5,48	146—147
C ₅ H ₁₁	56,4	201-204/3	_~	C ₁₈ H ₂₃ ON	1,0597	1,5720	83,645	83,37	80,57	80,25	8,94	8,60	4,95	5,20	147—148
изо-C ₅ H ₁₁	70,4	197—199/2	= -	C ₁₈ H ₂₃ ON	1,0609	1,5730	83,665	83,37	80,50	80,25	8,37	8,60	5,08	5,20	145—146

По литературным данным [7] т. пл. 64°.
 По литературным данным [8] т. пл. 65°.

							M	R _D		Ана	ли	3 B	0/0		
	100	0/0						운		С	H	1	1	V	Т. пл.
R	R'	Выход в	Т. кип. в °С/мм	Молекулярная формула	d ₄ ²⁰	п _D ²⁰	найдено	вычислено	найдено	вычис-	найдено	вычис- лено	найдено	вычис- лено	хлор- гидрата в "С
CH ₃ *	CH ₃	54,8	198—201/3	C ₁₈ H ₂₄ ON ₂	1,0657	1,5808	88,88	89,16	75,58	76,01	8,59	8,50	9,60	9,85	161-162
C ₂ H ₅	CH ₃	53,4	194—197/2	C19H26ON2	1,0456	1,5740	94,18	93,78	76,61	76,47	9,04	8,78	9,40	9,38	177—178
C ₂ H ₇	CH ₃	64,5	205-208/2	C20H28ON2	1,0374	1,5670	98,39	98,40	76,83	76,88	8,66	9,03	9,01	8,96	169—170
изо-С ₃ Н ₇	CH ₃	51,6	196—198/1	C ₂₀ H ₂₈ ON ₂	1,0376	1,5632	97,85	98,40	76,56	76,88	9,14	9,03	9,17	8,96	160—161
C ₄ H ₉	CH ₃	54,2	219-222/3	Ca1H30ON2	1,0089	1,5600	103,02	103,02	77,09	77,25	9,52	9,26	9,12	8,58	164-165
изо-С4Н,	CH₃	56,2	202-204/1	C21H30ON2	1,0017	1,5532	103,33	103,02	77,41	77,25	9,05	9,26	8,75	8,58	168-169
C5H11	CH ₃	53,4	218-220/1	C ₂₂ H ₃₂ ON ₂	1,0051	1,5572	108,96	107,64	77,88	77,60	9,85	9,47	8.05	8,22	-
изо-С ₅ Н ₁₁	CH ₃	52,3	217-220/3	C22H32ON2	0,9899	1,5506	110,08	107,64	77,45	77,60	9,22	9,47	8,50	8,22	-
CH ₃	C ₂ H ₅	55,1	202-204/3	C ₂₀ H ₂₈ ON ₂	1,0334	1,5640	98,33	98,40	76,85	76,88	8,67	9,03	9,16	8,96	136—137
C ₂ H ₅	C,H5	50,6	209-211/2	Ca1Ha0ONa	1,0239	1,5590	102,95	103,02	76,79	77,25	9,10	9,26	8,35	8,58	170—172
C ₃ H ₇	C ₂ H ₅	55,5	205-207/1	C22H32ON2	1,0122	1,5555	107,90	107,64	77,80	77,60	10,17	9,47	8,56	8,22	141-142
изо-C ₃ H ₇	C ₂ H ₅	53,1	208-209/2	C22H32ON2	1,0207	1,5580	107,55	107,64	77,37	77,60	9,35	9,47	8,49	8,22	131 - 132
C ₄ H ₉	C ₂ H ₅	53,0	223-226/3	C23H,4ON2	1,0046	1,5588	113,91	112,26	77,33	77,91	9,60	9,66	8,35	7,90	138-139
изо-С4Н,	C ₂ H ₅	55,3	202-204/1	C23H34ON2	0,9989	1,5589	113,58	112,26	77,91	77,91	9,29	9,66	8,15	7,90	169-170
C ₅ H ₁₁	C ₂ H ₅	61,8	230-233/1	C24H38ON2	0,9977	1,5510	117,86	116,88	77,95	78,24	10,30	9,84	8,07	7,61	-
нзо-С ₅ Н ₁₁	C ₂ H ₅	58,2	227-230/3	C ₂₄ H ₃₆ ON ₂	0,9941	1,5500	118,11	116,88	78,69	78,24	9,91	9,84	7,67	7,61	153 154

По литературным данным [9] т. кип. 219—221'/12 мм,

213/2011						M	R _D		Ана	л н	3 В	0/0		10
	0/0	Т	M	100	- 12/2		9	(t	1	1	V	Т. пл.
R	B KO	Т. кип. в °С/мм	Молекулярная формула	d_4^{20}	n ²⁰ D	8	числено	9	· ·	NHO HIO	-5	ЭНО	-5	хлор- гидрата
	Выхо			100	- 75-	Ждено	H.F.	найде	вычис-	найде	вычис-	найдено	ычнс	в°С
1000	<u>m</u>					н	27	8	18 Jr.	118	H Pr	¥	B 1.	
CH ₃	64,6	219-222/1	C ₁₇ H ₁₈ ON ₃	1,1290	1,5991	79,73	78,76	76,85	76,66	7,19	6,81	10,35	10,51	124 -125
C ₂ H ₅	56,1	226-229/1	C18H20ON2	1,1005	1,5856	82,41	83,41	77,25	77,11	7,19	7,19	10,30	9,99	126-127
C ₃ H ₇	57,4	228-231/1	C ₁₉ H ₂₂ ON ₂	1,0939	1,5772	89,21	88,06	77,90	77,51	7,88	7,53	9,71	9,51	127-129
1130-C ₃ H ₇	45,2	227230/1	C19H22ON2	1,0865	1,5772	89,79	88,06	77,20	77,51	7,60	7,53	9,61	9,51	122-123
			*						-			1		10,00

При работе со свежеприготовленным амидом натрия поступают следующим образом. Получают амид натрия по известной прописи из 20—25 мл жидкого аммиака и 3,7 г (0,16 г-ат) натрия в присутствии нескольких кристаллов нитрата трехвалентного железа. По испарении при компатной температуре аммиака приливают 60 мл абсолютного бензола и продолжают опыт по вышеприведенной прописи. Выходы, физико-химические константы и данные элементарного анализа приведены в таблице 2.

N-β-Цианэтил-N-4-алкоксибензиланилины. Смесь 0,1 моля 4-алкоксибензилфениламина, 0,2 моля акрилонитрила и 30 мл ледяной уксусной кислоты нагревают на сплаве Вуда, сохраняя температуру бани 125—130° в течение 6—7 часов. Затем отгоняют избыток акрилонитрила и уксусной кислоты и остаток перегоняют в вакууме.

Формулы, некоторые физико-химические константы и данные элементарного анализа полученных N-β-цианэтил-N-4-алкоксибензиланилинов приведены в таблице 3.

Институт тонкой органической химии АН АрмССР

Поступило 7 XI 1965

ՄԻ ՔԱՆԻ ՔԱՌԱՏԵՂԱԿԱԼՎԱԾ ԷԹԻԼԵՆԴԻԱՄԻՆՆԵՐԻ ՍԻՆԹԵՉ

Հ. Ա. Հաւոյան և **Մ. Ա. Ի**ւադյան

l d h n h n i d

Մի շարք հիվանդությունների պաթոգենեզում հիստամինի մասնակցությունը պատճառ դարձավ, որպեսզի սինթեզվեն որոշ հակահիստամինային միացությունների անվան տակ հայտնի դևղամիջոցներ։ Նրանց մի մասն իրենցից ներկայացնում է էթիլէնդիամինի քառատեղակալված ածանցյալներ։

Հիմնվելով օգտագործվող հակահիստամինային միացությունների կառուցվածքի և ակտիվության վերաբերյալ գրականության որոշ տվյալների վրա, մենք նպատակահարմար համարեցինք սինթեզել էթիլէնդիամինի այնպիսի քառատեղակալված ածանցյալներ, որոնք պարունակեն 4-ալկօքսիբենզիլ ռադիկայներ։

Իրրև ելանյութ ծառայող 4-ալկօքսիրենզիլֆենիլամիններ ստացել ենք անիլինի և 4-ալկօքսիլրենզիլքլորիդների անմիջական փոխազդեցությամբ։ Այդ ամինները սինթեզել ենք նաև ֆորմանիլիդի նատրիումական ածանցյալի և ալկօքսիրենզիլքլորիդների փոխազդեցությամբ ու ստացված 4-ալկօքսիրենղիլֆենիլֆորմամիդների հիդրոլիգով։

Քառատեղակալված էթիլէնդիամինները 51,2—55% ալքերով սինթեղել ննք 4-ալկօքսիբենդիլանիլինների և դիալկիլամինաէթիլքարիդների փոխազդեցությամբ, բենզոլի միջավայրում, նատրիումի ամիդի ներկայությամբ, Ուսումնասիրել ենք նաև ակրիլանիտրիլի միջոցով քացախաթթվի միջավայրում 4-ալկօքսիբենդիլանիլինների ցիանէթիլումը։ Այսպիսով սինթեզել ենք 8 4-ալկօքսիբենզիլանիլիններ, 16 քառատեղակալված էթիլենդիամիններ և 4 ցիանէթիլ ալկօքսիբենզիլանիլիններ, որոնց ֆորմուլաները բերված են աղյուսակում։

ЛИТЕРАТУРА

- 1. C. A. Drogstodt, Am. J. Physiol., 102, 512 (1932); J. Pharmacol., 57, 419 (1936).
- S. Edlbaher, P. Jucker, Z. physiol. Chem., 247, 63 (1937); С. Д. Балаховский, Клиническая медицина, 13, 392 (1935); 1, 3 (1941); Бюлл. экспер. биологии и мед., т. 19 (1945).
- 3. P. Chauchard, Rev. sci., 1943, 466; S. Fridleander, Proc. Soc. Exp. Biol. Med., 62, 65 (1946); W. H. Felstone, Proc. Soc. Exp. Biol. Med., 63, 159 (1946).
- 4. D. Bovet, Compt. rend. soc. biol., 138, 99 (1944); D. Reinhard, Proc. Soc. Exp. Biol. Med., 66, 512 (1947).
- 5. А. Л. Миджоян, В. В. Довлатян, Изв. АН АрмССР, ХН, 8, 37 (1955). А. Л. Миджоян, А. А. Ароян, Т. Р. Овсепян, Изв. АН АрмССР, ХН, 14, 157 (1961).
- 6. А. Л. Миджоян, А. А. Ароян, Научные труды ЕГУ, 36, 21 (1952); А. Л. Множоян, А. А. Ароян, Т. Р. Овсепян, Изв. АН АрмССР, ХН, 13, 275 (1960).
- 7. L. Zechmelster, J. Truka, Ber., 63, 2883 (1930).
- 8. A. Fritsch, Lieb. Ann., 315, 140 (1901).
- 9. Английский пат., 604.363 (1948), [С. А., 43, 683с (1949)].

2 U 3 4 U 4 U 5 P F F F U 4 U 5 U F U U 4 F F АРМЯНСКИЙ ХИМИЧЕСКИЙ ЖУРНАЛ

XIX, № 10, 1966

УДК 541.69+547.288.3+547.298.61+547.72+547.82

Исследования в области производных фурана

XXXI. Некоторые гидразидо-гидразоны и N,N'-днацилгидразины как возможные противотуберкулезные вещества

А. Л. Миджоян, В. Г. Африкян, Э. А. Маркарян, А. Н. Оганесян, Г. А. Хоренян, А. Г. Калайджян, Л. А. Колотян, А. А. Санасарян, Л. Д. Журули, С. Г. Карагезян и В. Г. Сарафян

С целью исследования противотуберкулезных свойств получено 42 гидразидогидразона изомерных а, β и γ -пиридинкарбоновых кислот и 5 и 4,5-замещенных 2-ацетил, 2-формилфуранов. Получен также ряд диацилгидразонов α , β и γ -пиридинкарбоновых и 5- и 4,5-замещенных фуранкарбоновых кислот и N,N'-диацилгидразинов симметричного и несимметричного строения, не описанных в литературе.

Изучение in vitro противотуберкулезных свойств гидразидо-гидразонов показало, что наиболее активны производные изоникотиновой кислоты, пиколиноилпроизводные действуют несколько слабее, а гидразидо-гидразоны никотиновой кислоты почти не активны. Удлинение углеродной цепи алкоксирадикала бензольного кольца в 5-ом положении фуранового цикла повышает противотуберкулостатическую активность соединений. Введение фуранового кольца в строение гидразидов а, 3 и у-пиридинкарбононых кислот не вносит заметных изменений в активность последних. В N,N'-диацилгидразинах наиболее активны также изоникотиноилпроизводные. Замена в них фуранового кольца пиридиновым не приводит к повышению активности. Противотуберкулезное действие в ряду производных а, 3 и у-пиридинкарбоновых кислот меняется с закономерностью, присущей предыдущим группам.

Среди производных фурана встречаются соединения, обладающие способностью тормозить развитие микроорганизмов.

Исследования зарубежных [1] и советских авторов [2], в том числе и работы, проведенные в нашем институте [3, 4], показали, что препараты, содержащие фурановое кольцо, проявляют значительную активность в отношении возбудителя туберкулеза. Наши исследования по изучению противотуберкулезной активности гидразидо-гидразонов изомерных α , β и γ -пиридинкарбоновых кислот и 5- и 4,5-замещенных фурфурола и 2-ацетилфурана выявили соединения с высокой противотуберкулезной активностью, действующие в разведениях 1/5-1/10 млн. Токсичность этих препаратов незначительная. Одно из активных соединений этого ряда, названное армазидом, в настоящее время подробно исследуется для передачи на клинические испытания.

Настоящая работа является продолжением исследований по изысканию новых противотуберкулезных соединений в ряду производных фурана. Получены гидразидо-гидразоны с общей формулой 1:

$$\begin{array}{c|c} R' - & -C = N - NH - C - \\ R'' & 0 \end{array}$$

Взаимодействием п-алкоксибензилхлоридов с метиловым фуран-2-карбоновой кислоты в среде сероуглерода в присутствии безводного хлористого цинка получены промежуточные 5-замещенные эфиры (табл. 1), которые после щелочного омыления (табл. 2) декарбоксилировались до соответствующих 2-п-алкоксибензилфуранов (табл. 3). Из дизамещенных фурана получено 4-бензил-5-метилпроизводное [5], которое также подвергалось декарбоксилированию. 5- и 4,5-Замещенные фураны формилировались и ацетилировались (табл. 4,5) и вводились в реакцию с гидразидами а-, 3- и ү-пиридинкарбоновых кислот. Взаимодействием хлорбензола с метиловым эфиром 5-хлорметилфуран-2-карбоновой кислоты в присутствии безводного хлористого алюминия получено 5-п-хлорбензилпроизводное. Последнее таким же путем переводилось в гидразидо-гидразоны.

Синтезировано 42 конечных продукта, формулы которых и некоторые характеризующие их данные сведены в таблицу 6.

Кроме гидразидо-гидразонов получен ряд N,N'-диацилгидразинов α- β- и γ-пиридинкарбоновых и 5- и 4,5-замещенных фуран-2-карбоновых кислот II:

Вещества получены действием хлорангидридов соответствующих фуран-2-карбоновых кислот [3] на гидразиды изомерных α-, β- и γ-пиридинкарбоновых кислот (табл. 7).

С целью исследования влияния второго пиридильного остатка на противотуберкулезную активность гидразидов получена небольшая группа N.N'-диацилгидразинов симметричного и несимметричного строения III:

Этот ряд веществ получен действием хлорангидридов пиридинкарбоновых кислот на гидразиды этих же кислот (табл. 8).

В экспериментальной части из гидразидо-гидразонов описывается способ получения 5-п-этоксибензилпроизводного; по тому же методу получены все остальные соединения этого ряда. Из N,N'-диацилгидразинов приводятся описания получения 5-метил-4-бензилпроизводного и N,N'-бис-пиколиноилгидразида.

Туберкулостатическая активность всех указанных групп соединений изучалась in vitro на 3-х штаммах туберкулезных микобактерий и на одном штамме БЦЖ (шт. 67).

					Молекулярная формула	15.5		M	R _D	I	Анал		3	В	0/0
R	R'	Выход в 9/6	Т. кип. в °С/ <i>мм</i>	Т. пл. в °С		n ²⁰	d ₄ 20	вычислено	найдено	вычис-	пайдено	вычис-	найдено	зено	онайден С
n-CIC ₆ H ₄ CH ₂	Н	61,3	178—179/3	36-37	C ₁₃ H ₁₁ O ₃ CI				_	62,28	62,13	4,40	4,51	11,16	11,01
n-CH,OC,H,CH2	Н	50,5	176—178/3		C14H14O4	1,1704	1,5588	65,05			68,18				-
n-C2H5OC6H4CH2	Н	46,8	183—185/3	_	C ₁₅ H ₁₆ O ₄	1,1475	1,5475	69,68	71,99	69,21	69,43	6,19	6,38	tions.	_
n-C ₃ H ₇ OC ₆ H ₄ CH ₂	Н	50,2	189—190/3		C18H18O4	1,1232	1,5435	74,29	77,03	70,05	70,19	6,61	6,40	de-sa	-
n-C4H,OC6H4CH2	Н	51,5	196—198/3	_	C17H20O4	1,1184	1,5420	78,91	81,14	70,82	70,60	6,94	7,06	-	-
n-C ₅ H ₁₁ OC ₆ H ₄ CH ₂	H	49,2	210-211/3	_	C18H22O4	1,0992	1,5368	83,53	85,88	71,56	71,43	7,33	7,12	-	_
CH ₃	C ₅ H ₅ CH ₂	85,2	161—162/2	-	C14H14O3	1,4110	1,5542	63,41	64,68	73,02	73,11	6,13	5,75	-	

Таблица 2

	21	0/0	1000	Молекулярная	Анализ и °/о						
R	R'	8 4	Т. пл.		C		Н		CI		
	IÇ.	Выхо	в °C	формула	вычис- лено	найдено	вычис- лено	найдено	вычис- лено	найдено	
n-CIC ₈ H ₄ CH ₂	Н	90,3	98-99	C ₁₂ H ₀ O ₃ Cl	60,89	60,71	3,83	3,81	15,00	15,11	
n-CH3OC4H4CH2	Н	83,4	124-125	C13H12O4	67.24	67,45	5,20	5,09		_	
n-C,H,OC,H,CH,	Н	85,3	148-149	C14H14O4	68,27	68,17	5,73	5,85	_	Druho	
n-C ₃ H ₁ OC ₄ H ₄ CH ₂	Н	82,3	111-112	C15H16O4	69,21	69,35	6,19	6,32		-	
n-C4H,OC4H4CH2	Н	83,5	125-126	C16H18O4	70,06	69,96	6,61	6,74	Plants		
n-C,H,OC,H,CH,	н	81,4	117—118	C17H20O4	70,82	70,69	6,99	6,77		-	
CH ₃	C.H.CH.	90,3	134-135	C13H12O3	72,21	72,38	5,59	5,49	_		

R	R'	Выход в 0/0	Т. кип. в °С/мм	Молекулярная формула
n-CIC ₆ H ₄ CH ₂	н	93,9	119—120/3	C ₁₁ H _e OCl
n-CH ₃ OC ₆ H ₄ CH ₂	Н	81,5	122—123/2	C12H12O2
n-C ₂ H ₅ OC ₆ H ₄ CH ₂	Н	90,4	123-125/2	C13H14O2
n-C ₃ H ₇ OC ₆ H ₄ CH ₂	Н	92,8	135—136/2	C14H16O2
n-C ₄ H ₉ OC ₆ H ₄ CH ₂	Н	94,5	142-144/2	C15H18O2
n-C ₅ H ₁₁ OC ₆ H ₄ CH ₂	Н	90,5	151-153/2	C16H30O3
CH₃	C ₆ H ₅ CH ₂	89,5	122—124/15	C ₁₂ H ₁₂ O
35	- /			



- 3		MR	D	Аналнз в ⁰ / ₀						
100		9	50 C	(Н		CI		
d ₄ ²⁰	n ²⁰	вычислено	пайдено	вычис- лено	найдено	вычис- лено напдено		лено	найдено	
1,1189	1,4482	52,72	52,02	68,58	68,45	4,70	4,83	18,42	18,50	
1,1065	1,5484	54,06	54,17	76,58	76,82	6,42	6,44	_	_	
1,0683	1,5400	58,78	59,38	77,18	77,09	6,98	6,84		-	
1,0519	1,5330	63,40	63,81	77,73	77,74	7,45	7,25	_	-	
1,0355	1,5278	68,02	68,45	78,23	78,30	7,87	7,73	-	-	
1,0239	1,5238	72,64	72,99	78,66	78,55	8,24	8,31	dravel .		
0,9871	1,5415	52,52	54,86	83,68	83,60	7,02	7,06			
									11111	

Ω.						
ский химический	R	R'	Выход в 0/0	Т. кип. в °С/мм	Т. пл. в °С	Молекулярная формула
журнал	n-CIC ₅ H ₄ CH ₂	н	73,4	176—178/3	39-40	C ₁₂ H ₉ O ₂ CI
RJI,	n-CH ₃ OC ₆ H ₄ CH ₂	Н	72,5	190-192/3	_	C ₁₃ H ₁₂ O ₃
X	n-C ₂ H ₅ OC ₆ H ₄ CH ₂	Н	81,5	196—188/3	_	C14H14O3
Ŗ	n-C ₃ H ₄ OC ₆ H ₄ CH ₃	Н	79,7	208-210/3	37—38	C ₁₅ H ₁₆ O ₃
Ö	n-C4H9OC9H4CH2	Н	81,2	190—192/3	42-43	C ₁₆ H ₁₈ O ₃
2	n-C ₅ H ₁₁ OC ₆ H ₄ CH ₂	Н	80,7	198—199/3	44-46	C17H20O3
	CH ₃	C ₆ H ₅ CH ₂	87,5	171-172/5	_	C13H12O3
		-				A CONTRACTOR

n-CIC ₆ H ₄ CH ₂	н	70,3	171—172/2	34-35	C13H11O2CI
n-CH ₃ OC ₆ C ₄ CH ₂	Н	50,3	191—192/2	_	C14H14O3
n-C ₂ H ₅ OC ₈ H ₄ CH ₂	Н	51,8	175—178/2	-	C ₁₅ H ₁₆ O ₃
n-C ₃ H ₁ OC ₆ H ₄ CH ₂	' Н	63,2	185-187/2	_	C16H18O3
n-C4H9OC6H4CH2	Н	65,5	189—190/2		C17H20O3
n-C ₅ H ₁₁ OC ₆ H ₄ CH ₂	Н	67,1	193—195/2	48-50	C18H22O3
CH ₃	C.H.CH.	40,7	163—165/2	2-3	C14H14O2
			J. S	-	

	11	0	
-C	2		
100	1	H	
		11	

	n _D ²⁰	MI	R_{D}	A	u a	<i>J</i> I 1	1 3	В	0/0
d ₄ ²⁰		2			C	1	l	CI	
		вычислено	найдено	HC-	найдено	HC-	найдено	MC-	найдено
- *		BMd	найу	вычис- лено	найу	Вычис	най,	вычис-	Hah
			_	65,34	65,63	4,11	4,30	16,07	15,94
1,1767	1.5904	58,79	62,04	72,22	72,32	5,59	5,53	_	- Common of the
1,1930	1,5768	63,41	63.94	73,01	73,16	6,13	5,95	_	7
_	- 1-	_	_	73,75	73,35	6,60	6,75	_	_
			_	74,40	74,54	7,03	7,21	-	-
_	· -	_	-	74,98	75,12	7,40	7,26		_
1,1182	1,5869	57,15	60,17	77,98	77,73	6,03	6,20	_	-
-								1	

CH₃

Таблица 5

		_	400	66,52	66,39	4,72	4,88	15,12	15,30
1,1405	1,5750	63,71	66,71	73,04	73,45	6,08	6,09	-	****
1,1283	1,6502	68,03	70,01	73,75	73,58	6,60	6,49		-
1,1177	1,5558	72,65	74,27	74,40	74,58	7,02	7,15	_	-
1,0909	1,5508	77,63	79,63	74,98	74,94	7,40	7,58	-	
	_	1-1	_	75,50	75,14	7,75	7,72	_	_
1,1011	1,5720	61,77	61,02	78,48	78,29	6,58	6,72	5"	
	- 60			1				1	

7-CC, H, CH, A-CIC, H, CH, A-CIC, H, CH, A-CIC, H, CH, A-CIC, H, CH, A-CCH, OC, H, CH, A-CCH, A-C	20 20 20 20 20 20 20 20 20 20 20 20 20 2
	r zą
666666	I 74
	C.H.N.
0 0 0 1 0 0 0 0 0 0 0 0 0 0 0 0 0 0 0 0	Выход в 0/0
186 1156 1156 1156 1156 1156 1156 1167 1168 1168 1168 1168 1168 1168 116	T. m B *C
	С Н Н Молекулярная формула
77777777777777777777777777777777777777	вычис- лено
	ба наплено



Таблица б

N-NH-C-R'''

	C			100		14.7	1101111			N. F.
a	л и		B 0/c	0/0	CI	Бактег	оностатиче в разведен		ность	10 LAS IMUL
лено	папаено	зено	нандено	вычис-	пайдено	шт. Akademia	шт. Н ₃₇ Rv	шт. Воv 8	Б.Ц.Ж 67	Однократно переносимая доза в ме/мыш
4,15		12,36	12,20	10,43	10,25	500 000	500 000	500 000	500 000	50
4,15		12,36	12,28	10,43	10.63	. 10 000	10 000	10 000	10 000	10
4,15		12,36	12,53	10,43	10,21	500 000	500 000	500 000	500 000	50
4,55		11,87	11,75	_	10,05	500 000	500 000	500 000	500 000	2
4,55		11,87	11,66	10,02	10,04	10 000	10 000	10 000	10 000	10
4,55		11,87	11,96	10,02	10,10	200 000	200 000	200 000	200 000	100
5,11		12,53 12,53	12,46		0.37	500 000	500 000	500 000	500 000	25
5,11		12,53	12,73		-	5 000	5 000	5 000	5 000	5
5,48		12,03	12,02		-	1 000000 500 000	1 000000 500 000	1 000 000		200
5,48		12,03	12,00		200	10 000	10 000	500 000 10 000	10 000	10 5
5,48		12,03	11,90	- +	- 1	1 000000	1 000 000	1 000 000		50
5,48		12,03	12,06			1 000000	1 000 000			5-
5,48			11,89	*	100	10 000	10 000	10 000	10 000	20
5,48		12,03	11,97		-	5 000000	5 000 000		5 000 000	20
5,82		11,56	11,38		93	1 000000	1 000 000			5
5,82		11,56	11,67		100	10 000	10 000	10 000	5 000	20
5,82	_		11,76	-		5 000 000	5 000 000			20
5,82		11,56	11,76			5 000 000	5 000 000	_		5
5,82		11.56	11,68			20 000	20 000	20 000	10 000	20
5,82	5,78	11,56	11,44	100		5 000 000	5 000 000		5 000 000	20
6,14	6,06	11,13	11,35		-	5 000 000	5 000 000	5 000 000	5 000 000	20
6, 14	6,42	11,13	11,20		1000	20 000	20 000	20 000	10 000	20
6,14		11,13	11,08			5 000 000	5 000 000	5 000 000	5 000 000	50
6,14	6,11		10,87		100	500 000	500 000	500 000	500 000	10
6,14	6,13	11,13	10,87	7.	-	10 000	10 000	10 000	10 000	20
6,14		11,13	11,40		100	5 000000	5 000 000	5 000 000	2 000 000	5
6,44			10,95		-	500 000	500 000	500 000	100 000	20
6,44		10,73	10,57	100	71.70	10 000	10 000	10 000	10 000	20
6,44			10,79	1000		2 000000	2 000 000		2 000 000	20
5,44	_		10,79	11 %	2011	1 000000	1 000 000	7 1 1 1 1 1		20
5,44			11,00	1	200	50 000	50 000	50 000	50 000	5
5,44		10,73	10,99		- 23	5 000000	5 000 000		5 000 000	20
5,71			10,16		100	200 000	200 000	200 000	200 000	2
3,71			10,17		120	20 000	20 000	20 000	20 000	20
		10,36		100	100	5 000000		5 000 000 1 000 000		20
5,36 5,36			13,50	5	-	1 000000	10 000	10 000		25 20
,36			13,16 13,09	1		5 000000		5 000 000	10 000	200
,74			12,60	100		2 000000		2 000 000		200
,74		12,60	12,95	1 -	-	2 000	2 000	2 000	2 000	10
,74		12,60	12,24		-	5 000000		5 000 000		200
	3, .5	12,00		- 1	13	5,00000	0 000 000	0 000 000	2 000 000	200

			-1-1		A	на	л н	3	B 0/0
100		0/0				С		H	
R	R'	Выход в	Т. пл. в °C	Молекулярная формула	вычис-	найдено	вычис- лено	найдено	вычис-
a-C ₅ H ₄ N	α-C ₅ H ₄ N	37,1	127-129	C12H10N4O2	59,49	59,61	4,16	4,46	23,13
α-C ₅ H ₄ N	β-C ₅ H ₄ N	35,2	215—116	C ₁₂ H ₁₀ N ₄ O ₂	59,49	59,54	4,16	4,03	23,13
α-C ₅ H ₄ N	γ-C ₅ H ₄ N	16,9	208—209	C12H10N4O2	59,49	59,26	4,16	4,35	23,13
β-C ₅ H ₄ N	β-C ₅ H ₄ N	25,6	208—210	C ₁₂ H ₁₀ N ₄ O ₂	59,49	59,13	4,16	4,42	23,13
β-C ₅ H ₄ N	7-C5H4N	20,2	185—187	C ₁₂ H ₁₀ N ₄ O ₂	59,49	59,41	4,16	4,28	23,13
η-C ₅ H ₄ N	γ-C ₅ H ₄ N	17,5	196—198	C ₁₂ H ₁₀ N ₄ O ₂	59,49	59,83	4,16	4,32	23,13

² / ₀	Бактег	WEHIIO WATE			
найлено	шт. Akademia	шт. Н _а Rv	шт. Bov 8	Б.Ц.Ж. 67	Одноврежиере доза в же
23,40	200000	200000	200000	200000	2
23,27	200000	200000	200000	200000	10
22,96	500000	500000	500010	1000000	10
23,10	10000	10000	10000	10000	50
23,25	200000	200000	200000	200000	50
23,32	1000000	1000000	1000000	1000000	5

	24.00	1000	-			A	на.	ЛИ	3	в 0/	0/0		ностатиче			MAS ANIMA
The second second		7 77	0/0	Т	Молоительная		<u> </u>	ŀ	<u> </u>	1	7		в разведе	нии 1 × 1	0	300
R	R'	R"	Выход в	Т. пл. в °C	Молекулярная формула .	вычис-	найдено	вычис- лено	найдено	вычис- лено	найдено	Acad.	H ₃₇ Rv	Bov 8	БЦЖ 67	Одновремения: переносимая доза в .иг/мыш
CH ₃	н	α-C ₅ H ₄ N	90,8	225-226	C12H11N3O3	58,78	58,77	4,51	4,59	17,13	17,37	200 000	200 000	200 000	200 000	2
CH ₃	Н	β-C ₅ H ₄ N	72,1	220—221	C12H11N3O3	58,78	58,68	4,51	4,47	17,13	17,23	50 000	50 C00	50 000	20 000	5
CH ₃	Н	Y-CsH4N	26,6	222-223	C1,H11N3O3	58,78	58,94	4,51	4,76	17,13	17,32	1 000000	1 000000	1 000000	1 000000	5
C ₂ H ₅	Н	α -C ₅ H ₄ N	64,6	175 - 176	C ₁₃ H ₁₃ N ₃ O ₃	60,22	60,25	5,05	5,35	16,20	16,42	1 000000	1 000000	1 000000	1 000000	5
C ₂ H ₅	Н	β-C _B H ₄ N	55,7	188-189	C13H13N3O3	60,22	60,36	5,05	5,29	16,20	16,31	10 000	10 000	10 000	10 000	5
C ₂ H ₅	Н	T-C5H4N	43,2	170—171	C ₁₃ H ₁₃ N ₃ O ₃	60,22	60,42	5,05	5,25	16,20	16,02	1 000000	1 000000	1 000000	1 000000	5
C ₆ H ₆ CH ₂	Н	a-C ₅ H ₄ N	73,6	191-193	C ₁₈ H ₁₅ N ₃ O ₃	67.28	67,05	4,70	4,91	13,07	13,20	1 000000	1 000000	1 000000	1 000000	20
C,H,CH,	Н	β-C ₅ H ₄ N	59,3	205—207	C ₁₈ H ₁₅ N ₃ O ₃	67,28	67,41	4,70	4,59	13,07	13,16	10 000	10 000	10 000	10 000	20
C ₆ H ₅ CH ₂	Н	T-C5H4N	37,2	149—150	C ₁₈ H ₁₅ N ₃ O ₃	67,28	67,42	4,70	4,53	13,07	12,96	1 000000	1 000000	1 000000	1 000000	5
CH ₃ C ₄ H ₄ CH ₂	Н	a-C ₅ H ₄ N	81,0	189—190	C19H11N3O3	68,05	68,22	5,10	5.42	12,53	12,56	500 000	500 000	500 000	500 000	100
CH3C4H4CH2	Н	β-C ₅ H ₄ N	71,8	180—182	C19H17N3O3	68,05	67,94	5,10	5,39	12,53	12,66	10 000	10 000	10 000	10 000	20
CH3C4H4CH2	Н	7-C5H4N	54,5	111—113	C ₁₉ H ₁₇ N ₃ O ₃	68,05	68,17	5,10	5,24	12,53	12,25	2 000000	2 000000	2 000000	1 000000	5
CH3OC,H4CH3	н	a-C ₅ H ₄ N	68,2	133-134	C19H17N3O4	64,94	64,72	4,87	5,07	11,96	11,73	1 000000	1 000000	1 000000	1 000000	100
CH3OC.H4CH2	- н	β-C ₅ H ₄ N	57,2	187—188	C19H17N3O4	64,94	64,87	4,87	5,18	11,96	11,60	20 000	20 000	20 000	10 000	20
CH3OC4H4CH2	Н	7-C5H4N	22,7	165—166	C19H17N3O4	64,94	64,81	4,87	5,10	11,96	11,66	1 000000	1 000000	1 000000	1 000000	100
CH ₃	C ₆ H ₅ CH ₂	a-C ₅ H ₄ N	83,8	176-177	C19H17N3O3	68,02	67,97	5,11	5,24	12,53	12,68	1 000000	1 000000	1 000000	1 000000	20
CH ₃	C.H.CH.	β-C ₅ H ₄ N	55,5	184-186	C19H17N3O3	68,02	68,21	5,11	5,36	12,53	12,66	20 000	20 000	20 000	20 000	20
CH ₃	C.H.CH.	7-C3H4N	43,8	116-118	C19H17N3O3	68,02	68,24	5,11	5,20	12,53	12,68	1 000000	1 000000	1 000000	1 000000	5
CH ₃	CH ₃	a-C ₅ H ₄ N	67,7	228—230	C ₁₃ H ₁₃ N ₃ O ₃	60,22	60,24	5,05	5,27	16,20	16,21	500 000	500 000	500 000	200 000	5
CH ₃	CH ₃			244-245	C ₁₃ H ₁₃ N ₃ O ₃	60,22	60,42	5,05	5,17	16,20	16,32	10 000	10 000	10 000	10 000	20
CH ₃	CH ₃	7-C5H4N	33,3	238-239	C13H13N3O3	60,22	60,34	5,05	5,28	16,20	16,25	1 000000	1 000000	1 000000	1 000000	5

	R'	Выход в °/о	Т. пл. в °C	Молекулярная формула	Аналнз в ⁰ / ₀ ⁰ / ₀ С Н N						Вактерностатическая активность в разведении 1 × 10				
R					вычис-	найдено	вычис-	найдено	вычис-	тено	шт. Akademia	шт. Н _э Rv	шт. Bov 8	Б.Ц.Ж. 67	Одновременно переносимая доза в ж мышь
α-C ₅ H ₄ N	a-C ₅ H ₄ N	37,1	127-129	C ₁₂ H ₁₀ N ₄ O ₂	59,49	59,61	4,16	4,46	23,13	23,40	200000	200000	200000	200000	2
α-C ₅ H ₄ N	β-C ₅ H ₄ N	35,2	215—116	C12H10N4O2	59,49	59,54	4,16	4,03	23,13	23,27	200000	200000	200000	200000	10
a-C ₅ H ₄ N	γ-C₅H₄N	16,9	208-209	C12H10N4O2	59,49	59,26	4,16	4,35	23,13	22,96	500000	500000	500000	1000000	10
β-C ₅ H ₄ N	β-C ₅ H ₄ N	25,6	208-210	C12H10N4O2	59,49	59,13	4,16	4,42	23,13	23,10	10000	10000	10000	10000	50
β-C ₅ H ₄ N	T-C5H4N	20,2	185—187	C12H10N4O2	59,49	59,41	4,16	4,28	23,13	23,25	200000	200000	200000	200000	50
T-C5H4N	γ-C ₅ H ₄ N	17,5	196—198	C12H10N4O2	59,49	59,83	4,16	4,32	23,13	23,32	1000000	1000000	1000000	1000000	5
					- (-			100		-			- 10	5.5	

Опыты ставились на яично-агаровой среде Герольда, состав которой и методика проведения опытов описаны ранее [3, 4]. Острая токсичность препаратов изучалась на белых мышах. Результаты биологических исследований по каждой группе препаратов приведены в таблицах 6, 7 и 8.

В таблице 6 представлены гидразидо-гидразоны, среди которых выявлены соединения со значительной противотуберкулезной активностью. Наиболее высокая активность присуща, как показано в предыдущих работах, изоникотиноилгидразонам; пиколиноилпроизводные действуют несколько слабее, инкотиноилгидразоны обладают незначительной активностью.

Изменения в структуре I проведены за счет радикала R, значение которого меняется от метила, хлорбензила до алкоксибензилов (C_1 — C_5), R' же соответствует бензилу и метилу. Разбор этих структур показывает, что утяжеление молекулы препаратов в положение 5 фуранового кольца ведет к усилению противотуберкулезиой активности. Так, изоникотиноплидразоны 5-n-бутокси- и n- амилоксибензилироизводных подавляют рост БК в разведении 1/2—1/5 мли, тогда как вещества с метокси- u этоксибензильными остатками действуют в концентрации 1/500.000—1/1 мли. В последней графе таблицы приведены однократно переносимые дозы препаратов в mz/мышь, однако нет определенной связи между строением и их токсичностью для животных. Можно только отметить, что вещества с утяжеленной молекулой более токсичны, по сравнению с метоксизмещенными производными.

В таблице 7 представлены N,N'-диацилгидразины пиридии- α-, β- и γ-карбоновых- и 5-, а также 4,5-замещенных фуран-2-карбоновых кислот. В этом случае введение фуранового кольца в строение гидразидов пиридинкарбоновых кислот не вносит заметных изменений в активность препаратов. В этой группе также активность зависит от положения карбоксила в пиридиновом кольце и изоникотиноилпроизводные наиболее активны; пиколиноилгидразиды по своему дейстивию приближаются к изоникотиноилпроизводным, а никотиноилпроизводные, как правило, почти лишены противотуберкулезных свойств. Изменение строения радикалов в фурановом кольце не влияет на туберкулостатическую активность препаратов.

Разбор таблицы 8, где приведены N,N'-диацилгидразины симметричного и несимметричного строения, показывает, что этой группе также присуща закономерность, наблюдаемая в ряду изоникотиноил-, пиколиноил- и никотиноилпроизводных. Выраженным противотуберкулезным действием (разведение 1/1 млн) обладает N,N'-бис-изоникотиноилгидразид и вещество, объединяющее пиколиноиловый и изоникотиноиловый остатки. В целом противотуберкулезное действие этих соединений не отличается от актизности предыдущих групп, и замена фуранового кольца пиридиновым не приводит к полышению активности.

Экспериментальная часть

4-Этоксибензилхлорид. Получен хлорметилированием фенетола в бензоле при температуре 0— $(+2^\circ)$ [6]. Выход 67—70%, т. кип. 102—105°/1 мм.

Метиловый эфир 5-п-этоксибензилфуран-2-карбоновой кислоты, 40,0 г метилового эфира фуран-2-карбоновой кислоты в 50 мл сухого сероуглерода, в присутствии 0,025 моля безводного хлористого цинка охлаждают до 0° и при перемешивании по каплям приливают 10 мл раствора 0,1 моля 4-этоксибензилхлорида в 50 мл сероуглерода при температуре не выше 2°. Когда реакция заканчивается и смесь окрашивается в бурый цвет, приливают остальное количество раствора. Оставляют стоять при 0° 30 минут, удаляют охлаждающую баню и, когда температура повышается до комнатной, оставляют стоять еще 30 минут. Обрабаты-

вают льдом, разбавленной соляной кислотой, отделяют маслянистый слой и промывают его водой. Высушивают прокаленным сульфатом натрия, отгоняют растворитель и остаток перегоняют в вакууме.

5-*п-Этоксибензилфуран-2-карбоновая кислота.* 0,1 моля метилового эфира 5-*п*-этоксибензилфуран-2-карбоновой кислоты при нагревании и перемешиваниии омыляют 10%-ным раствором едкой щелочи, взятым с избытком. По охлаждении осаждают соляной кислотой.

2-п-Этоксибензилфуран. Декарбоксилирование проводят по описанию, данному для 5-бензилфурана [7], при температуре 190—200° в течение 2—3 часов. Нагревают еще 30—35 минут при температуре 230—240°, и образовавшуюся жидкость перегоняют в вакууме.

Декарбоксилирование всех остальных соединений проводят в тех же условиях при температуре, не выше 250°.

5-п-Этоксибензилфурфурол. Формилирование 5-п-этоксибензилфурана проводят методом, описанным для 5-бензилфурана [3]. 0,15 моля диметилформамида охлаждают до 0° и при перемешивании медленно приливают 0,15 моля хлорокиси фосфора так, чтобы температура не повышалась выше 10°. По окончании смесь при 0° перемешивают 30 минут и приливают в течение получаса при температуре 10° 0,1 моля свежеперетнанного 2-этоксибензилфурана. Оставляют стоять в ледяной бане 30 минут и столько же при комнатной температуре. Сливают в 200 мл ледяной воды, нейтрализуют углекислым натрием и оставляют на ночь. Экстрагируют эфиром, высушивают прокаленным сульфатом натрия, отгоняют растворитель и остаток перегоняют в вакууме.

5-п-Этоксибензил-2-ацетилфуран. 5-п-Этоксибензилфуран ацетилируют методом, данным для 5-бензил-2-ацетилфурана [3]. 0,1 моля свежеперегнанного 5-п-этоксибензилфурана и 0,2 моля уксусного ангидрида охлаждают до 0° и при перемешивании вносят 0,8 г кристаллической орто-фосфорной кислоты. Смесь при этой температуре перемешивают 30 минут, дают принять комнатную температуру и нагревают на кипящей водяной бане 3 часа. После охлаждения приливают 100 мл воды и экстрагируют эфиром. Экстракт промывают водой, 10%-ным раствором углекислого натрия, высушивают прокаленным сульфатом натрия, отгоняют эфир и остаток перегоняют в вакууме.

Гидразидо-гидразоны α-, β-, и γ-пиридинкарбоновых кислот и 5-п-этоксибензилфурфурола и 5-п-этоксибензил-2-ацетилфурана. Гидразидо-гидразоны получены действием гидразидов соответствующих пиридинкарбоновых кислот на 5 п-этоксибензилфурфурол и 5-п-этоксибензил-2-ацетилфуран в спиртовой среде [4]. Перекристаллизация проводилась из этанола или водного этанола.

5-Метил-4-бензилфуроил-2-пиколиноилгидразид. Эквимолекулярные количества (0,05 моля) хлорангидрида 5-метил-4-бензилфуран-2-карбоновой кислоты [5] и гидразида пиколиновой кислоты в 60 мл сухого пиридина нагревают при температуре 120° в течение 10 часов. После охлаждения сливают в горячую воду, растирают палочкой образовавшуюся

массу, декантируют, повторив промывание несколько раз, высушивают, растирают в порошок и перекристаллизовывают из этанола.

Бис-пиколиноилгидразид. К эквимолекулярным количествам моля) хлоргидрата хлорангидрида и гидразида пиколиновой кислоты при нагревании и перемешивании приливают раствор 7,0 г едкого кали

в 200 мл абсолютного этанола. Нагревание продолжают 10 часов, фильтруют, из фильтрата досуха отгоняют спирт, и остаток многократно экстрагируют горячим этилацетатом. Фильтр несколько раз промывают горячей водой, фильтруют и осадок экстрагируют этилацетатом. Соединенные растворы высушивают над прокаленным сульфатом натрия, отгоняют растворитель, фильтруют, и осадок высушивают на воздухе.

Институт тонкой органической химин AH ADMCCP

Поступило 18 IX 1965.

ՀեՏԱԶՈՏՈՒ₽ՅՈՒՆՆԵՐ ՖՈՒՐԱՆԲ ԱԾԱՆ8**Յ**ԱԼՆԵՐԻ **FULL HALL COLOR**

XXXI. Մի քանի նիդրազիդա-նիդրագոններ և N,N'-դիացիլնիդրազիններ՝ որպես հակապալարախտային միացություններ

B. L. Մնջոյան, Վ. Գ. Աֆրիկյան, Է. Ա. Մաrqurjus, Ա. Ն. Հովհաննիսյան, Գ. Ա. Խոբենյան, Ա. Գ. Ղալաջյան, Լ. Ա. Կոլոսյան, Հ. Ա. Սանասաբյան, L. Դ, Ժուrուլի, Ս. Գ. Ղաբագլոգյան և Վ. Գ. Սառաֆյան

Udhnhnid

Այս աշխատանքը հակապալարախտային միացությունների ուսումնասիրության ուղղությամբ կատարվող հետազոտությունների շարունակությունն է։ Ստացված են α-, β- և γ- պիրիդինկարբոնաթթուների և 5- ու 4,5-տեղակալված ֆուրֆուրոլի և 2-ացետիլֆուրանի 42 հիդրազիդա-հիդրազոններ (աղյուսակ 6)։ Ստացված են նաև α-,β- և γ- պիրիդինկարբոնաββուների տեղակալված ֆուրան-2-կարբոնաթթուների N,N'-դիացիլհիդրազիններ (21 միացություն, աղյուսակ 7)։ Երկրորդ՝ պիրիդինային օղակի հակապալարախտային ագրեցությունը հետագոտելու նպատակով սինթեզված են սիմետրիկ կառուցվածքով N, N'-դիացիլհիդրազիններ (աղյուսակ 8)։

Ինչպես ցույց են տալիս 6,7 և 8 աղյուսակներում տվյալները, միացությունների մեջ կան պրեպարատներ՝ օժտված 1/2-1/5 մյն. թյամբ, ինչպես օրինակ, իզոնիկոտինոիլհիդրազիդի 5-պ-բոստօքսի-և 5-պ ամիլօքսիրենզիլային ածանցյալները։ Համապատասխան պիկոլինոլային ածանցչալները համեմատաբար Թույլ են ազդում, իսկ նիկոտինոիլի շարքի հիդրազիդա-հիդրագոնները զուրկ են հակապալարախտային ազդեցությունից։

N,N'-Դիցիլհիդրագինների շարքում (աղյուսակ 7) ակտիվությունը նույնպես փոխվում է պիրիդինի օղակում կարթօքսիլ խմբի դիրքի փոփոխման հետ մեկտեղ, և իզոնիկոտինոիլային ածանցյալները դարձյալ ավելի ակտիվ են։.

N.N'-Դիացիլային սիմետրիկ և ոչսիմետրիկ հիդրազիններից ամենից ակտիվը դիիզոնիկոտինոիլհիդրազինն է և այն, որը միավորում է 2-և --պիրիդիլային մնացորդները։

ЛИТЕРАТУРА

- 1. Y. Bernstein, W. P. lambor, Am. rew. tuberc., 67, 366 (1953).
- 2. Э. И. Черткова, Проблемы туберкулеза, 3, 92 (1957).
- 3. А. Л. Миджоян, В. Г. Африкян, А. А. Дохикян, Л. Д. Журули, Изв. АН Арм.ССР, ХН, 15, 291 (1962).
- 4. А. Л. Мнджоян, В. Г. Африкян, Г. А. Хоренян, Т. Н. Васильева, Л. Д. Журули, С. Г. Карагезян, Изв. АН АрмССР, ХН 15, 391 (1962).
- А. Л. Миджоян, В. Г. Африкян, А. Е. Калайджян, Л. З. Казарян, Э. А. Маркарян,.
 Изв. АН АрмССР, ХН, 16, 175 (1963).
- 6. А.Л. Миджоян, А. А. Ароян, Научные труды ЕГУ (хим. серия), 36, 21 (1952).
- 7. А. Л. Миджоян, В. Г. Африкян, ДАН АрмССР, 25, 201 (1957).

XIX, № 10, 1966

КРАТКИЕ СООБЩЕНИЯ

УДК 542.955+547.233+547, 316.4

Присоединение аминов к винилацетиленовым 1,3-диоксанам

С. А. Вартанян, С. К. Вардапетян и Ш. О. Баданян

Известно, что амины [1] и литийалкиламины [2] присоединяются к различным винилацетиленовым системам в положении 1,4 с образованием алленовых аминов. Интересно было изучить реакцию аминов с винилацетиленовыми диоксанами (I).

Найдено, что при нагревании смеси аминов и винилацетиленовых 1,3-диоксанов в запаянной ампуле при 110—115° в течение 20 часов образуются алленовые амины (II).

R = A, CH_3 ; $R_1 = H$, CH_3 , C_2H_5 ; $R_2 = CH_3$, C_2H_5 R_1 u $R_2 = neumanemunen$

Полученные соединения (II), аналогично бисдиалкиламино-2,3-пентадиенам [3], в условиях эксперимента не изомеризуются в ацетиленовые амины.

В ИК-спектрах аминов (II) найдена характеристическая частота алленовой группировки при 1950—1955 см⁻¹ с сильной интенсивностью. Частоты, характерные для тройной связи, не обнаружены. При гидрировании аминов (II) в спиртовом растворе в присутствии платинового

катализатора (по Адамсу) получаются насыщенные амино-1,3-диоксаны (III).

Гидратацией алленового амина (II, R=H, $R_1=R_2=CH_3$) в растворе 10%-ной серной кислоты в присутствии сернокислой ртути получен 3-диалкиламинокетон (IV).

Экспериментальная часть

Присоединение аминов к винилацетиленовым диоксанам. Смесь 0,1 моля винилацетиленового 1,3-диоксана (1) [4] и 0,2—0,4 моля 25%-ного водного амина нагревалась в закрытой ампуле при 110—115° в течение 15—20 часов. Затем избыток амина удалялся в умеренном вакууме, остаток подкислялся соляной кислотой, а непрореагировавший диоксан экстрагировался эфиром. Водный раствор солей органических оснований высаливался поташом, экстрагировался эфиром, высушивался сульфатом магния и после отгонки эфира перегонялся в вакууме. Константы полученных алленовых амино-1,3-диоксанов (II) приведены в таблице.

Гидрирование 6-метил-6-[4'-диметиламино-1',2'-бутадиенил]-1,3-диоксана. 2 г алленового амина (II, R=H, $R_1=R_2=CH_3$) гидрировалось в 10 мл этилового спирта в присутствии платинового катализатора. Получено 1,3 г (63,72%) 6-метил-6-[4'-диметиламинобутил]-1,3-диоксана (III, R=H, $R_1=R_2=CH_3$), т. кип. 90—92° при 2 мм; n_D^{20} 1,4586; d_4^{20} 0,9401; MRD найдено 58,41; вычислено 58,03. Найдено %: N 7,11. $C_{11}H_{22}O_2N$. Вычислено %: N 6,96.

Гидрирование 5,6-диметил-6-[4'-диметиламино-1',2'-бутадиенил]-1,3-диоксана. 1,8 г амина (II, $R=R_1=R_2=CH_3$) гидрировалось аналогично вышеописанному. Получено 1,2 г (65,57%) 5,6-диметил-6-[4'-диметиламинобутил]-1,3-диоксана (III, $R=R_1=R_2=CH_3$), т. кип. $104-105^2$ при 3 мм; n_D^{20} 1,4795; d_D^{20} 0,9683. MR_D найдено 61,84; вычислено 62,64. Найдено %: N 6,39. $C_{18}H_{25}O_2N$. Вычислено %: N 6,51.

Гидрирование 6-метил-6-[4'-пиперидинил-1',2'-бутадиенил]-1,3-диоксана. Аналогично описанному выше, из 1,2 г амина (II, R=H, $R_1=R_2=$ пентаметилен) получено 0,7 г 6-метил-6-[4'-пиперидинилбутил]-1,3-диоксана; т. кип. 105° при 2 мм; Π_D^{20} 1,4791; d_4^{40} 0,9754; М R_D найдено 70,06; вычислено 69,77. Найдено 0 /₀: N 6,3. $C_{14}H_{27}O_{2}N$. Вычислено 0 /₀: N 5,81.

Гидратация 6-метил-6-[4'-диметиламино-1',2'-бутадиенил]-1,3-диоксана. Смесь 2,5 г аминодиоксана (II, R=H, $R_1=R_2=CH_3$), 15 мл $10^0/_0$ -ной серной кислоты и 0,5 г сернокислой ртути нагревалась при 65° в течение 10 часов. После обработки выделено 1,7 г 6-метил-6-[4'-диметиламино-2'-бутанонил]-1,3-диоксана (IV); т. кип. $105-108^\circ$ при 2 мм; n_D^{20} 1,4812; d_4^{20} 1,0451; MR_D найдено 58,56; вычислено 58,03. Найдено $0/_0$: N 7,19. $C_{11}H_{31}O_3$ N. Вычислено $0/_0$: N 6,51.

Институт органической химии АН АрмССР

$$\begin{array}{c|c} R & CH_3 \\ \hline \\ CH = C = CHCH_2N \\ \hline \\ R_3 \end{array}$$

1			Количе исходных п			- 19 20				М	R _D	Анализ, N º/o	
R	R ₁	R ₂	винилаце- тиленовый 1,3-диоксан, г	амин, мл 25°/ _о ра- створа	Выход, 0/0	Т. кип. в °C/ <i>мм</i>	Молекулярная формула	n ²⁰ D	d ₄ 20	найдено	вычис- лено	найдено	лено
Н	CH ₃	CH ₃	15,2	60	34,5	95—98/2	C11H19O2N	1,4798	0,9673	57,85	57,09	6,85	7,10
Н	C ₂ H ₅	C ₂ H ₅	15,2	70	20,1	111-112/4	C ₁₃ H ₂₃ O ₂ N	1,4872	0,9705	66,70	66,32	7,07	6,22
Н	пентам	етилен	7,6	50	21,8	130—133/2	C14H24O3N	1,4972	1,0087	68,82	68,74	6,22	5,90
Н	Н	СН	7,6	40	34,9	73-75/2	C10H17O2N	1,4840	0,9792	53,48	52,13	7,42	7,65
CH ₃	CH ₃	CH ₃	7,5	50	53,2	110-111/3	C12H21O2N	1,4802	0,9639	62,22	61,70	7,30	6,63
CH ₃	C,H,	C,H,	6,5	40	22,5	118—120/3	C14H25O2N	1,4813	0,9632	70,65	70,94	5,60	5,85
CH ₃	н	CH3	8,0	50	31,9	112—115/10	C ₁₁ H ₁₉ O ₃ N	1,4880	0,9748	58,21	56,75	7,73	7,10

ЛИТЕРАТУРА

- 1. С. А. Вартанян, Ш. О. Баданян, Изв. АН АрмССР, ХН, 9, 107 (1956); 10, 347 (1957); 12, 37 (1959); 13, 133 (1960); V. A. Engelhardt, J. Am. Chem. Soc., 78, 107 (1957).
- 2. А. А. Петров, В. А. Кормер, ДАН СССР, 126, 1278 (1959); ЖОХ, 30, 918 (1960).
- 3. С. А. Вартанян, Ш. О. Баданян, Р. Г. Агабабян, Изв. АН АрмССР, ХН, 17, 407 (1964).
- 4. С. А. Вартанян, С. К. Пиренян, Л. О. Аветян, Р. В. Токмаджян, Изв. АН АрмССР, XH, 17, 672 (1964), С. Г. Мацоян, А. А. Саакян, ЖОХ, 33, 3795 (1963).

XIX, № 10, 1966

УДК 547.473.2+547.584

Получение офталимидо-т-лактонов

С. В. Аракелян, Ж. Г. Бояджян, М. С. Крамер и М. Т. Дангян

Ранее было показано [1], что ү-замещенные 6-бром-ү-валеролактоны реагируют с различными алкоголятами, фенолятами и с фталимидом калия.

Так как полученные фталимидолактоны могут быть хорошими исходными веществами для синтеза аминолактонов, мы расширили реакцию 7-замещенных 6-бром-7-валеролактонов с фталимидом калия.

Реакцию проводили в среде сухого диметилформамида:

 $R = CH_3$, C_2H_8 , C_3H_7 , H_9

Кристаллические фталимидолактоны получались с хорошими выходами. Проводилось титрование вышеуказаных лактонов как на холоду, так и при нагревании. Исследования в этом направлении продолжаются.

Экспериментальная часть

2-Алкил-д-фталимидо-ү-валеролактоны. В двухгорлую колбу, снабженную механической мешалкой и обратным холодильником с клоркальциевой трубкой, помещают 0,03 моля фталимида калия, 40 мл абсолютного диметилформамида и 0,031 моля 2-алкил-д-бром-ү-валеролактона, смесь нагревают при температуре кипения диметилформамида (150°) в течение 4—5 часов. После охлаждения раствор фильтруют для удаления бромистого калия и непрореагировавшего фталимида калия. Диметилформамид удаляют из фильтрата перегонкой под уменьшенным давлением. После отгонки растворителя остаток закристаллизовывается. Кристаллы растворяют в абсолютном ацетоне и раствор фильтруют. После отгонки ацетона получают кристаллическое соединение, которое перекристаллизовывают из этилового спирта.

Данные о полученных соединениях приведены в таблице.

Таблица

		100	A	н а	а и	0	Титрование (фенол-					
	0/0			C	ŀ	1	I	1	фталенн) 0,1 н NaOH			
R	Выход в	Т. пл. в °С	пайдено	вычис-	пайдено	вычис-	найдено вычис- лено		Навеска В 2	при на- гревании найдено в жа	BLATIC.	
СН	62,5	118—120	64,38	64,86	5,12	5,01	5,48	5,40	0,0751	3,00	2,90	
C ₂ H ₅	66,0	101-102	65,67	65,93	5,27	5,49	5,36	5,12	0,1002	3,80	3,65	
C ₃ H ₇	50,5	124-126	67,10	66,89	6,20	5,92	4,80	4,87	0,1002	3,50	3,47	
изо-СаН	74,0	109	66,50	66,89	6,32	5,92	4,97	4,87	0,0149	0,58	0,50	
C ₄ H ₉	61,0	85	67,92	66,77	6,18	6,31	4,24	4,65	0,0984	3,50	3,25	
изо-C ₄ H ₉	62,5	118	68,08	67,77	6,57	6,31	4,64	4,65	0,0452	1,61	1,50	
изо-С ₅ Н ₁₁	63,5	87	68,31	68,57	6,45	6,66	4,74	4,44	0,0573	1,82	1,80	
-			100	1200	200						-	

Ереванский государственный университет

Поступило 9 II 1965

ЛИТЕРАТУРА

1. С. В. Аракелян, М. Т. Дангян, М. Г. Залинян, С. А. Саркисян, Изв. АН АрмССР, XH, 15, 439 (1962). XIX, № 10, 1966

письма в РЕДАКЦИЮ

УДК 541.124

О перегруппировке дихлорвиниловых соединений в а-хлоркарбоновые кислоты при окислении перекисью водорода в уксусном ангидриде

Нами установлено, что при окислении органических соединений, содержащих $-CH=CCl_2$ группировку, $30^0/_0$ -ной перекисью водорода в уксусной кислоте или в уксусном ангидриде основными, а иногда и единственными продуктами реакции являются α -хлоркарбоновые кислоты. Образование последних зависит от строения исходного соединения (RCH=CCl₂, I). Так например, если при окислении замещенных γ , γ -дихлораллилуксусных кислот $Cl_2C=CHCH_2CHR'COOH$ образуются α -замещенные γ -бутиролактон- γ -карбоновые кислоты [1], то при окислении соединений с $R=CICH_2$, $CICH_2CH_2CH_3$, $CH_3(CH_2)_4$, $C_2H_5OOCCHR'CH_2$, $HOOC(CH_2)_4$ получаются α -хлоркарбоновые кислоты.

Образование «-хлоркарбоновых кислот из этих соединений мы рассматриваем как результат перегруппировки первоначально образующихся эпоксидных производных. Можно предположить два механизма с возможным раскрытием окисного кольца.

А. Имеет место раскрытие кольца окиси RCH — CCI. (II) под действием растворителя (уксусная кислота), с образованием иона карбония с последующей миграцией атома хлора.

По этому механизму, который подобен мономолекулярному нуклеофильному замещению, реакция проходит через стадию раскрытия окисного кольца с промеужточным образованием иона карбония, который далее может сразу подвергаться как атаке атома хлора, находящегося

при соседнем углеродном атоме, так и взаимодействовать с уксусной кислотой или водой, находящимися в реакционной среде. Кроме того, при такой трактовке вероятнее всего предполагать, что из (IV) выделяется хлористый водород, который также может взаимодействовать с ионом карбония.

Б. Первоначально образующееся эпоксидное соединение подвергается внутримолекулярной атаке хлором, с последующим раскрытием окисного кольца, т. е. замещение и раскрытие происходят синхронно. При такой трактовке исключается возможность образования побочных продуктов.

Таким образом, первичным актом раскрытия окисного кольца, понидимому, является внутримолекулярная атака атома хлора с превращением в (V), из которого удаляется H⁺ с гидролизом и образованием (VI).

Окисление замещенных γ, γ -дихлораллилуксусных кислот, приводящее к образованию α -замещенных γ -бутиролактон- γ -карбоновых кислот, нами объясняется следующим образом.

Естественно ожидать, что углеродный атом (2) будет подвергаться внутримолекулярной атаке анионной частью молекулы гораздо легче, чем атомом хлора. Можно было также предполагать, что сначала происходит перегруппировка, а затем лактонизация. Однако тот факт, что ү-хлоркарбоновые кислоты в таких условиях не превращаются количественно в лактоны, дает основание предпочесть первое соображение.

Выходы а-хлоркарбоновых кислот достигают 70%. Константы α, β -дихлорпропионовой, α, δ -дихлорвалериановой. а-хлорэнантовой. а-хлорпимелиновой и а-замещенных ү-бутиролактон-ү-карбоновых кислот идентичны с приведенными для них в литературе [1].

γ-Моноэтиловый эфир α-хлор-ү-этилглутаровой кислоты — выход 56%; п20 1,4545; d20 1,1870; найдено MRD 51,14; С. Н,5СІО. Вычислено

51,71; найдено ⁰/₀: С1 15,42; вычислено ⁰/₀: С1 15,80.

Работа по изучению свойств и стереохимических особенностей данной перегруппировки продолжается.

В. А. ГАРИБЯН

Г. М. ШАХНАЗАРЯН

Л. А. СААКЯН

Л. А. ВОСКАНЯН м. т. дангян

Ереванский государственный университет

Поступило 15 XI 1965

ЛИТЕРАТУРА

1. М. Т. Дангян, Г. М. Шахназарян, Изв. АН АрмССР, ХН, 12, 353 (1959); ЖОХ. 31. 1643 (1961); А. Н. Несмеянов, В. Н. Кост, Р. Х. Фрейдлина, ДАН СССР, 103. 1029 (1955).

XIX, Nº 10, 1966

УДК 541.124+546.14+547.413.13

О реакции брома с замещенными 7,7-дихлораллилуксусными кислотами в серной кислоте

Вопрос о взаимодействии брома с ненасыщенными соединениями в растворителях различной полярности исследован довольно хорошо [1].

Известно, что протеканию процессов по ионному механизму благоприпятствует применение растворителей с большой диэлектрической постоянной. При этом учитывается возможность образования галоидгидринов и их эфиров, так как ж-комплексный катион, наряду с присоединением галоид-аниона, может присоединить также и молекулу растворителя, имеющую неподеленную электронную пару [2].

Известно также, что добавление веществ, повышающих концентрацию галоид-анионов (например, КВг), приводит к более полному присоединению брома [3], а добавление веществ, связывающих галоид-анион (напр. Ag⁺), ведет к повышению выхода галоидгидринов.

Нами исследована реакция присоединения брома к замещенным γ, γ -дихлораллилуксусным кислотам в среде концентрированной серной кислоты. Предполагалось, что промежуточно образовавшееся карбкатионное соединение Cl₂CCHBrCH₂CHRCOOH должно стабилизоваться присоединением аниона $\overline{OSO_3H}$, а анион брома — взаимодействовать с серной кислотой и удаляться из реакционной среды в виде бромистого водорода:

$$Cl_{2}C = CHCH_{2}CHRCOOH \xrightarrow{Br_{3}} Cl_{2}\overset{+}{C}CHBrCH_{2}CHRCOOH + Br^{-},$$

$$I \qquad \qquad II$$

$$Br^{-} + H_{2}SO_{4} \longrightarrow HBr + \overline{O}SO_{3}H, \qquad II + \overline{O}SO_{3}H \longrightarrow Cl_{2}CCHBrCH_{2}CHRCOOH.$$

$$OSO_{3}H \qquad III$$

Как известно [4], III может гидролизоваться или, отщепляя хлорсульфоновую кислоту, превращаться в карбонилсодержащее соединение:

Действительно, установлено, что при этой реакции, проводимой в 90-96%-ной серной кислоте при охлаждении, получаются α -заме-

щенные ү-бутиролактон-ү-карбоновые кислоты [5] с выходами 80-90%.

Таким образом, с высокими выходами получены синтезированные нами ранее α -этил-, α -пропил-, α -бутил- и α -изоамил- γ -карбоксибутиролактоны.

Константы идентичны с приведенными нами ранее [5].

Г. М. ШАХНАЗАРЯН Л. А. СААКЯН В. А. ГАРИБЯН

Ереванский государственный университет

Поступило 15 XI 1965

м. т. дангян

ЛИТЕРАТУРА

- H. P. Rothbaum, J. Ting, P. W. Robertson, J. Am. Chem. Soc., 1948, 980; P. B. D. de La Mare. P. W. Robertson, J. Chem. Soc., 1945, 888.
- 2. Е. Мюллер, Новые воззрения в органической химии, ИЛ, Москва, 1960 г., стр. 233; К. Nozaki, R. A. Ogg, J. Am. Chem. Soc., 64, 697 (1942).
- 3. К. К. Ингольд, Механизм реакций и строение органических соединений, ИЛ, Москва, 1959 г., стр. 532.
- 4. Г. Т. Татевосян, А. Г. Терзян, М. О. Меликян, Изв. АН АрмССР, ХН, 18, 282 (1965).
- 5. М. Т. Дангян, Г. М. Шахназарян, Изв. АН АрмССР, ХН, 12, 353 (1959); ЖОХ, 31, 1643 (1961).

ዞበՎԱՆԴԱԿበՒԹՑՈՒՆ

	69
Ընդհանուr և ֆիզիկական քիմիա	
Լ. Գ. Մելթոնյան, Ռ. Վ. Բաղդասարյան, Ռ. Ա. Կարապետյան — <i>Նաիրիաի մոլեկու</i> - լային-կշռային փազմի կարգավորումը մերկապոաններով	733
Անօրգանական և անալիսիկ քիմիա	
Coordinanding it manifested that ha	
Ս. Ի. Լնբեղևա, Ի. վ. Նովոժիլովա, Ն. Ա. Ակսյոնովա — Ֆոոֆորօրդանական միա- ցություններում ֆոսֆորի որոշման գունաչափական եղանակ	743
Օբգանական Բիմքիա	
Գ. Ա. Չուխաջյան, Ն. Ֆ. Նոսկովա, Þ. Մ. Ռոստոմյան, Ն. Գ. Կարապետյան — Մի ջանի ֆակտորների աղդեցությունը Ցիգլերի կատալիդատորի ակտիվության վրա ացետիլենի պոլիմերացման ժամանակ	747
Ն. Գ. Կարապետյան, Հ. Վ. Մովսիսյան, Ս. Մ. Ոսկանյան. Գ. Ա. Չուկանչյան — Էլաստիկ սլոլիժերևերի ստացում ացետալդենիդի կատիռնային պոլիժերաց-	
մամբ	754
XXX. Մի ջանի N-մենիլ, α-ալկիլ- և α-ալկիլմերկապատասուկցինիմիդներ . Մ. Բ. Օրդյան, Ցա. Տ. Էյդուս — Կարրալկօջսիլման ռեակցիաներ։ V. Կարրալկօջ- որլման պայմաններում կարբոնանների առաջացման և փոխարկումների	760
մաշին	765
արիլօբոիջ ացախաթթուների բուտին-2-դիոլային Էսթերները	771
գիլաժ ինսարկիլ-N'-արիլժ իզանյութեր և N'-արիլթիոժիզանյութեր	774
ֆոէսթերծերի սիծթեղ և նրանց ակարիցիդային հատկությունները	778
սին թեղ	784
Ա. Լ. Մնջոյան. Վ. Գ. Աֆրիկյան, Է. Ա. Մարգարյան, Ա. Ն. Հովճաննիոյան, Գ. Ա. Խորենյան, Ա. Գ. Ղալաջյան, Լ. Ա. Կոլոայան, Հ. Ա. Սանասարյան, Լ. Դ. Ժուրուլի, Ս. Գ. Ղարագյագյան, Վ. Գ. Սառաֆյան — Հետազոտություններ ֆուրանի ածանցյալների ընադավառում։ XXXI. Մի ջանի հիղբադիդա-հիղբո-	
գոններ և N,N'-դիացիլնիգրազիններ՝ որպես հակապալարախատյին միացու- թյուններ	793
Կաrն հաղուդումներ	
Ս. Հ. Վարդանյան, Ս. Կ. Վարդապետյան, Շ. Հ. Բադանյան — <i>Աժինների ժիացուժը</i>	
վինիլացետիլենային 1,3-դիօցսաններին	808
Ս. Վ. Առաքիլյան, Ժ. Գ. Բոյաջյան, Մ. Ս. Կրամեր, Մ. Տ. Դանդյան — Շ- <i>Ֆթալիմիդա</i> -	810

Քաղակնիւ խղետձւուհ**ա**նն

4.	u.	Ղարիբյան, Գ. Մ. Շաննազարյան, Լ. Ա. Սաճակյան, Լ. Ա. Ոսկանյան, Մ. 8. Դանղյան — Քացախաթթվական անչիգրիդի մեջ ջրածնի պերօբսիդով օբսի- դացնելիս դիբլորվինիլային միացությունների «-թլորկարբոնական թթեուների	
٩.	Մ.	վերախմրավորման մասին Շաննազարյան, Լ. Ա. Սանակյան, Վ. Ա. Ղարիբյան, Մ. Տ. Դանդյան — Բրոմի ռեակցիան անդակալված 7,7-դիբլորալլիլբացախաթթուների հետ ծծմրական	812
		ppined	815
		СОДЕРЖАНИЕ	
			Стр.
		Общая и физическая химия	
Л.	Γ.	<i>Мелконян</i> , Р. В. Багдасарян, Р. А. Карапетян — Регулирование моле- кулярно-весового состава наирита меркаптанами	733
		Неорганическая и аналитическая химия	
A.	И.	Лебедева, И. В. Новожилова, Н. А. Аксёнова — Колориметрический метод определения фосфора в фосфорорганических соединениях	743
		Органическая химия	
Γ.	A.	Чухаджян, Н. Ф. Носкова, И. М. Ростомян, Н. Г. Карапетян — Влия-	
		ние некоторых факторов на активность катализатора Циглера при полимеризации ацетилена	747
H	Γ.	Карапетян, Г. В. Мовсисян, С. М. Восканян, Г. А. Чухаджян — Полу-	1-21
A.	JI.	чение эластичных полимеров катионной полимеризацией ацетальдегида Миджоян, Н. А. Бабиян, Н. Е. Акопян, А. А. Гамбурян — Исследова-	754
44	r	ния в области производных двуосновных карбоновых кислот. XXX. Некоторые N-метил- α -алкил- и α -алкилмеркаптосукцинимиды	760
271	. Б.	образовании и превращениях карбоновых кислот в условиях карбалкок-	
R.	B.	силирования	76 5
		и арилоксиуксусные эфиры бутиндиола-1,4	771
В.	В.	Довлатян, Э. Н. Амбарцумян — Синтез гербицидов. XVIII. а-Диалкиламиноалкил-N'-арилмочевины и N'-арилтиомочевины	774
Γ.	T.	Есаян, Г. М. Марджанян, Р. М. Хачатрян, А. А. Бабаян, А. К. Устян— Эфиры сульфокислот. XIV. Синтез и акарицидные свойства некоторых	
		хлорнафтиловых сульфоэфиров	778
A.	A.	Ароян, М. А. Ирадян — Синтезы некоторых тетразамещенных этилен-	784
<i>A</i> .	Л.	Миджоян, В. Г. Африкян, Э. А. Маркарян, А. Н. Оганесян, Г. А. Хоренян, А. Г. Калайджян, Л. А. Колотян, А. А. Санасарян, Л. Д. Жу-	707
		рули, С. Г. Карагезян, В. Г. Сарафян — Исследования в области производных фурана. XXXI. Некоторые гидразидо-гидразоны и N,N'-диацил-	
		гидразины как возможные противотуберкулезные вещества	793
		Краткие сообщения	
C.	A.	Вартанян, С. К. Вардапетян, Ш. О. Баданян — Присоединение аминов	
		к винилацетиленовым 1.3-диоксанам	806-

C.	В.	Аракелян, Ж. Г. Бояджян, М. С. Крамер, М. Т. Дангян — Получение з-фталимидо-у-лактонов	810
		Письма в редакцию	
В.	Α.	Гарибян, Г. М. Шахназарян, Л. А. Саакян, Л. А. Восканян, М. Т. Дангян — О перегруппировке дихлорвиналовых соединений в 2-хлоркар- боновые кислоты при окислении перекисью водорода в уксусном ангидриде	812
<i>r</i> .	М.	ППахназарян, Л. А. Саакян, В. А. Гарибян, М. Т. Дангян — О реакции брома с замещенными т.т-дихлораллилуксусными кислотами в серной кислоте.	815

